

МИНИСТЕРСТВО СТРОИТЕЛЬНОГО, ДОРОЖНОГО
И КОММУНАЛЬНОГО МАШИНОСТРОЕНИЯ

РУКОВОДЯЩИЙ НОРМАТИВНЫЙ ДОКУМЕНТ

МЕТОДИКА РАСЧЕТА НАДЕЖНОСТИ МАШИН
ПРИ ПРОЕКТИРОВАНИИ.
РАСЧЕТ ДЕТАЛЕЙ МАШИН
НА ДОЛГОВЕЧНОСТЬ.
ЭТАП РАЗРАБОТКИ РАБОЧЕЙ ДОКУМЕНТАЦИИ

РД 22-127—85

МОСКВА 1985

УТВЕРЖДЕН Генеральным директором НПО «ВНИИстройдормаш»
Э. Н. Кузиным 23 мая 1985 г.

ИСПОЛНИТЕЛИ: к. т. н. Б. Ф. Хазов,
Р. А. Краснощекова

РУКОВОДЯЩИЙ НОРМАТИВНЫЙ ДОКУМЕНТ

Строительные, дорожные,
коммунальные машины и
оборудование

МЕТОДИКА РАСЧЕТА НАДЕЖНОСТИ
МАШИН ПРИ ПРОЕКТИРОВАНИИ.
РАСЧЕТ ДЕТАЛЕЙ МАШИН НА
ДОЛГОВЕЧНОСТЬ.
ЭТАП РАЗРАБОТКИ РАБОЧЕЙ
ДОКУМЕНТАЦИИ

РД 22-127-85

Взамен РД 22-62-81

Срок введения с 01.07.1986

Настоящий руководящий документ (РД) устанавливает методы расчета вероятности неразрушения деталей машин в течение заданного ресурса и распространяется на изделия основной номенклатуры отрасли строительного, дорожного и коммунального машиностроения.

1. ОБЩИЕ ПОЛОЖЕНИЯ

1.1. Требования к ресурсным показателям деталей и соответствующим вероятностям принимаются по данным расчетов, выполненных по РД 22-61-81 на стадиях технического задания и технического проекта, и являются исходными данными при расчете ресурса деталей машин в вероятностном аспекте.

I.2. Геометрические размеры деталей (диаметры валов, радиусы галтелей и т.д.) твердость, качество поверхности и другие характеристики рассчитываемых деталей принимаются из рабочих чертежей деталей.

I.3. Механические характеристики (предел прочности материала и др. рассчитываемых деталей определяются по марочникам сталей в зависимости от твердости деталей, указываемой на рабочих чертежах.

I.4. Действующие на детали нагрузки (крутящие и изгибающие моменты в рассчитываемых сечениях) принимаются по данным традиционных (детерминистских) прочностных расчетов.

I.5. Определение вероятности обеспечения заданного ресурса базируется на прочностном расчете при циклическом воздействии внешних нагрузок.

I.6. Необходимые для расчета коэффициенты и другие справочные данные выбираются по чертежам и таблицам, приведенным в приложении I.

I.7. Для существенного упрощения процесса расчета и сокращения времени на его выполнение в приложении 2 приводится алгоритм расчета в табличной форме, удобной для практического применения.

I.8. В приложении 3 даны примеры расчета.

I.9. Расчетные формулы и величины, входящие в них, даны в размерности СИ.

2. РАСЧЕТ ЗУБЧАТЫХ ПЕРЕДАЧ НА ДОЛГОВЕЧНОСТЬ

Расчет зубчатых передач на долговечность предусматривает определение долговечности зубчатых колес и шестерен, находящихся в зацеплении и составляющих зубчатую передачу. Расчет включает в себя уточнение исходных данных, вычисление геометрических параметров зубчатых передач в удобной для расчета форме и определение вероятности обеспечения заданного ресурса зубчатой передачи по принятому критерию. Методикой предусматривается расчет ресурса зубчатых колес (шестерен) по двум критериям: по усталостному выкрашиванию поверхности зубьев и по усталостной поломке зуба от изгиба.

2.1. Расчет цилиндрических зубчатых передач на долговечность

2.1.1. Определение вероятности обеспечения заданного ресурса по критерию усталостного выкрашивания

Основное расчетное условие

$$Y_N \geq Y,$$

где Y - заданная вероятность обеспечения ресурса, %;

Y_N - расчетная вероятность неразрушения зуба по критерию усталостного выкрашивания, %.

Y_N определяется по табл. II приложения I в зависимости от величины квантили u_N распределения разности напряжений:

$$u_N = \frac{\sigma_{ND} - \sigma_N}{\sqrt{D\sigma_{ND} + D\sigma_N}} > 0,$$

где $\bar{\sigma}_{HP}$ - средняя величина предела контактной выносливости, МПа;

$\bar{\sigma}_H$ - расчетное контактное напряжение, МПа;

$D_{\bar{\sigma}_{HP}}$ - дисперсия предела контактной выносливости, МПа²;

$D_{\bar{\sigma}_H}$ - дисперсия контактного напряжения, МПа².

Определение $\bar{\sigma}_H$ и $\bar{\sigma}_{HP}$ производится в соответствии с ГОСТ 21354-75 "Передачи зубчатые цилиндрические эвольвентные. Расчет на прочность".

Расчетная формула;

$$\bar{\sigma}_H = Z_N \cdot Z_M \cdot Z_\varepsilon \cdot \sqrt{\frac{W_{Ht}}{d_{\omega 1}} \cdot \frac{(u \pm 1)}{u}}, \quad (I)$$

где Z_N - коэффициент формы поверхности (приложение I, черт.6);

Z_M - коэффициент свойств материалов, МПа^{1/2} (для стальных зубчатых колес $Z_M = 275$);

Z_ε - коэффициент длины контактных линий (приложение I, черт.7);

$d_{\omega 1}$ - начальный диаметр шестерни, мм;

u - передаточное число;

W_{Ht} - удельная расчетная окружная сила, Н/мм.

В формуле (I) и далее в аналогичных случаях знак плюс соответствует внешнему зацеплению, знак минус - внутреннему.

Величина W_{Ht} определяется по формуле

$$W_{Ht} = \frac{2000 \cdot T_{H1}}{b_{\omega} \cdot d_{\omega 1}} \cdot K_{H\alpha} \cdot K_{H\beta} \cdot K_{H\sigma},$$

где T_{H1} - расчетный крутящий момент на валу шестерни, Н·м;

b_{ω} - рабочая ширина венца, мм;

$K_{H\alpha}$ - коэффициент распределения нагрузки между зубьями (приложение I, черт.8);

$K_{H\beta}$ - коэффициент распределения нагрузки по ширине венца (приложение I, черт.9);

$K_{H\sigma}$ - коэффициент динамичности.

Коэффициент динамичности

$$K_{H\sigma} = 1 + \gamma_H,$$

где γ_H - динамическая добавка, определяемая по формуле

$$\gamma_H = \frac{W_{H\sigma} \cdot v \omega \cdot a \omega_1}{200 \cdot T_{H1} \cdot K_{H\alpha} \cdot K_{H\beta}} \quad (2)$$

В формуле (2) $W_{H\sigma}$ - удельная окружная динамическая сила, Н/мм,

$$W_{H\sigma} = \delta_H \cdot g_0 \cdot v \sqrt{\frac{a \omega}{u}},$$

где δ_H - коэффициент вида зубчатой передачи (приложение I, табл. I);

g_0 - коэффициент разности шагов шестерни и колеса (приложение I, табл. 2);

v - окружная скорость, м/с;

$a \omega$ - межосевое расстояние, мм.

Среднюю величину предела контактной выносливости ($\bar{\sigma}_{HP}$) определяют отдельно для шестерни и колеса с учетом разных чисел циклов нагружений, твердости рабочих поверхностей зубьев и т.п.

$$\bar{\sigma}_{HP} = \bar{\sigma}_{H\epsilon mb} \cdot Z_R \cdot Z_V \cdot K_{xH} \cdot K_{HL},$$

где $\bar{\sigma}_{H\epsilon mb}$ - средняя величина базового предела контактной выносливости, МПа (приложение I, табл. 3);

Z_R - коэффициент шероховатости (приложение I, табл. 4):

Z_V - скоростной коэффициент (при $v \leq 5$ м/с, $Z_V = 1$; при $v > 5$ м/с, Z_V определяется по черт. 10 приложения I):

K_{xH} - коэффициент размеров (приложение I, черт. II);

K_{HL} - коэффициент среднего ресурса, значение которого

K_{HL} определяется по формуле: $K_{HL} = \sqrt{\frac{N_{HO}}{N_{HE}}}$. (3)

Предельные значения K_{HL} ограничиваются: $K_{HL} \leq 2,6$ при объемном упрочнении, $K_{HL} \leq 1,8$ при поверхностном упрочнении. При $N_{HE} > N_{HO}$ коэффициент среднего ресурса $K_{HL} = 1$.

В формуле (3) :

N_{HO} - базовое число циклов перемены напряжений, соответствующее длительному пределу выносливости (приложение I, черт. I2) ;

N_{HE} - эквивалентное число циклов перемены напряжений, определяемое в зависимости от циклограммы напряжения.

Для постоянной нагрузки N_{HE} равно суммарному числу циклов перемены напряжений и выражается зависимостью

$$N_{HE} = 60 n \cdot T_{p\gamma} ,$$

где n - частота вращения, мин^{-1} ;

$T_{p\gamma}$ - гамма-процентный ресурс, ч.

При ступенчатой циклограмме нагружения

$$N_{HE} = \sum_i \left[\left(\frac{T_{ii}}{T_{i1}} \right)^3 \cdot N_{ii} \right] \cdot \frac{1}{K_{\gamma}} ,$$

где T_{ii} - крутящий момент на валу шестерни, соответствующий i -ой ступени циклограммы нагружения;

T_{i1} - крутящий момент на валу шестерни, соответствующий I-й ступени циклограммы нагружения (наибольший);

N_{ii} - число циклов перемены напряжений за время действия нагрузки T_{ii} .

K_{γ} - отношение среднего к гамма-процентному ресурсу при заданном законе распределения ресурса.

Дисперсия предела контактной выносливости ($D_{G_{HP}}$) определяется зависимостью

$$D_{G_{HP}} = \sigma_{HP}^2 \cdot U_{G_{HP}}^2 ,$$

где $U_{бнр}$ - коэффициент вариации предела контактной выносливости, определяемый по формуле

$$U_{бнр}^2 = U_{бнлмб}^2 + U_{кнл}^2$$

Здесь

$U_{бнлмб}$ - коэффициент вариации базового предела контактной выносливости (приложение I, табл.5);

$U_{кнл}$ - коэффициент вариации коэффициента среднего ресурса (при $K_{нл} < 1$, $U_{кнл} = 0$, при $K_{нл} > 1$ $U_{кнл} = 0,05$).

Дисперсия контактного напряжения ($D_{бн}$) определяется зависимостью

$$D_{бн} = \tilde{G}_N^2 \cdot U_{бн}^2,$$

где $U_{бн}$ - коэффициент вариации контактного напряжения из зависимости $U_{бн}^2 = \frac{1}{4} (U_{тнл}^2 + U_{кнл}^2 + U_{кнб}^2 + U_{кнлг}^2 + U_{кнл} \cdot U_{кнб} + U_{кнл} \cdot U_{кнлг} + U_{кнб} \cdot U_{кнлг})$.

Входящие в эту зависимость коэффициенты вариации определяются в следующем порядке: коэффициент вариации нагрузки ($U_{тнл}$) находится по табл.6 приложения I; коэффициент вариации коэффициента распределения нагрузки между зубьями - по формуле

$$U_{кнл} = \frac{K_{нл} - 1}{3K_{нл}};$$

коэффициент вариации коэффициента распределения нагрузки по ширине венца - по формуле

$$U_{кнб} = \frac{S+1}{10} \cdot \frac{K_{нб} - 1,05}{3K_{нб}},$$

в которой S - степень точности; коэффициент вариации динамического коэффициента - по формуле

$$U_{кнлг} = \frac{K_{нлг} - 1}{3K_{нлг}}.$$

2.1.2. Определение вероятности обеспечения заданного ресурса по критерию усталостной поломки зуба от изгиба

Основное расчетное усилие $\mathcal{Y}_F \geq \mathcal{Y}$,

где \mathcal{Y}_F – расчетная вероятность неразрушения зуба по критерию усталости от изгиба, %.

Значение \mathcal{Y}_F определяется отдельно для шестерни и колеса по табл. II приложения I в зависимости от величины квантили u_F распределения разности напряжений

$$u_{F1} = \frac{\sigma_{FP1} - \sigma_{F1}}{\sqrt{D_{\sigma_{FP1}} + D_{\sigma_{F1}}}} \quad - \text{ для шестерни;}$$

$$u_{F2} = \frac{\sigma_{FP2} - \sigma_{F2}}{\sqrt{D_{\sigma_{FP2}} + D_{\sigma_{F2}}}} \quad - \text{ для колеса,}$$

где σ_{F1} и σ_{F2} – среднее напряжение изгиба соответственно для шестерни и колеса, МПа;

σ_{FP1} и σ_{FP2} – средняя величина предела выносливости материала соответственно шестерни и колеса, МПа;

$D_{\sigma_{F1}}$ и $D_{\sigma_{F2}}$ – дисперсия напряжения изгиба соответственно шестерни и колеса, МПа²;

$D_{\sigma_{FP1}}$ и $D_{\sigma_{FP2}}$ – дисперсия предела выносливости соответственно шестерни и колеса, МПа².

Среднее напряжение изгиба на переходной поверхности шестерни определяется по формуле

$$\sigma_{F1} = \frac{2000 \cdot T_{F1} \cdot K_{F\alpha} \cdot K_{FB} \cdot K_{F\beta}}{b \omega \cdot d_{w1} \cdot m} \cdot Y_{F1} \cdot Y_{\beta} \quad (4)$$

Напряжение изгиба на переходной поверхности колеса определяется по формуле

$$\tilde{\sigma}_{F2} = \frac{\tilde{\sigma}_{F1} \cdot Y_{F2}}{Y_{F1}}. \quad (5)$$

Величины, входящие в формулы (4) и (5):

T_{F1} - расчетный крутящий момент на валу шестерни, Н·м (за расчетный момент принимается наибольший из тех подводимых к передаче моментов, число циклов действия которых превышает $5 \cdot 10^4$);

$K_{F\alpha}$ - коэффициент распределения нагрузки между зубьями;

$K_{F\beta}$ - коэффициент распределения нагрузки по ширине венца (приложение I, черт. I3);

K_{Fv} - коэффициент динамичности;

Y_{β} - коэффициент наклона зуба (для прямозубых $Y_{\beta} = 1$, для косозубых $Y_{\beta} = 1 - \frac{\beta}{140^\circ}$);

m - модуль, мм;

b_w - рабочая ширина венца, мм;

Y_{F1} - коэффициент формы зуба шестерни (приложение I, черт. I4);

Y_{F2} - коэффициент формы зуба колеса (для передач с внешним зацеплением по черт. I4, для передач с внутренним зацеплением по черт. I5 приложения I).

Коэффициент формы зуба выбирается от эквивалентного числа зубьев Z_v ; для прямозубого колеса $Z_v = Z$, для косозубого -

$$Z_v = \frac{Z}{\cos^3 \beta}.$$

Коэффициент $K_{F\alpha}$ для прямозубых передач $K_{F\alpha} = 1$; для косозубых: при $\varepsilon_{\beta} \leq 1$ $K_{F\alpha} = 1$, при $\varepsilon_{\beta} > 1$ - по формуле

$$K_{F\alpha} = \frac{4 + (\varepsilon_{\alpha} - 1)(\delta - 5)}{4 \cdot \varepsilon_{\alpha}}.$$

Здесь ε_{α} - коэффициент торцевого перекрытия;

ε_{β} - коэффициент осевого перекрытия;

S - степень точности по ГОСТ 1643-81

Коэффициенты ε_α и ε_β выражаются зависимостями

$$\varepsilon_\alpha = \left[1,88 - 3,2 \left(\frac{1}{Z_1} \pm \frac{1}{Z_2} \right) \right] \cos \beta ;$$

$$\varepsilon_\beta = \frac{b \cdot \sin \beta}{\pi \cdot m}$$

где Z - число зубьев;

β - угол наклона, градус.

Коэффициент K_{FV} определяется по формуле

$$K_{FV} = 1 + \nu_F ,$$

где ν_F - динамическая добавка.

$$\nu_F = \frac{W_{FV} \cdot \ell_\omega \cdot d_{\omega 1}}{2000 \cdot T_{F1} \cdot K_{Fa} \cdot K_{F\beta}} . \quad (6)$$

В формуле (6)

W_{FV} - удельная окружная динамическая сила, Н/мм, определяемая по формуле

$$W_{FV} = \frac{\delta_F}{\delta_H} W_{HV} ,$$

где δ_F - коэффициент вида зубчатой передачи:

для косозубых передач $\delta_F = 0,006$,

для прямозубых передач $\delta_F = 0,016$.

Величины δ_H и W_{HV} берутся из расчета по критерию усталостного выкрашивания (см. 2.1.1.).

Средняя величина предела выносливости σ_{Fp} , МПа, определяется раздельно для шестерни и колеса по формуле

$$\sigma_{Fp} = \sigma_{F\ell m\sigma} \cdot K_{Fc} \cdot K_{FL} \cdot Y_S \cdot K_{XF} ,$$

где $\sigma_{F\ell m\sigma}$ - средняя величина базового предела выносливости, МПа (приложение I, табл.7);

K_{Fc} - коэффициент реверсивности;

K_{FL} - коэффициент среднего ресурса;

γ_s - коэффициент чувствительности материала (приложение I, черт. I.6);

$K_{\text{эф}}$ - коэффициент размеров (приложение I, черт. I.7).

Коэффициент K_{FC} определяется по формуле

$$K_{FC} = 1 - R_{FC} \frac{T_1' \cdot t'}{T_{F1} \cdot t},$$

где R_{FC} - коэффициент влияния амплитуд напряжений противоположного знака (приложение I, табл.8);

T_1' - расчетный крутящий момент на реверсируемом валу шестерни, Н·м;

t' - время работы передачи при реверсе,

Коэффициент K_{FL} определяется по формуле $K_{FL} = \sqrt{\frac{N_{FO}}{N_{FE}}}$,

где m_F - показатель кривой усталости (приложение I, табл.9);

$N_{FO} = 4 \cdot 10^6$ - базовое число циклов перемены напряжений;

N_{FE} - эквивалентное число циклов, определяемое согласно циклограмме нагружения. При постоянной нагрузке

$N_{FE} = 60 n \cdot T_{\text{пр}}$; при ступенчатой циклограмме нагружения

$$N_{FE} = \sum \left[\left(\frac{T_{i1}}{T_H} \right)^{m_F} \cdot N_i \right] \cdot \frac{1}{K_{\gamma}}$$

При $\frac{N_{FO}}{N_{FE}} < 1$ принимать $K_{FL} = 1$.

Максимальные значения K_{FL} ограничены: при $m_F = 9$ $K_{FL} \leq 1,63$;

при $m_F = 6$ $K_{FL} \leq 2$.

Дисперсия предела выносливости $D_{\sigma_{FP}}$ определяется зависимостью

$$D_{\sigma_{FP}} = \sigma_{FP}^2 \cdot U_{\sigma_{FP}}^2,$$

где $U_{\sigma_{FP}}$ - коэффициент вариации предела выносливости, определяемый по формуле

$$U_{\sigma_{FP}}^2 = U_{\sigma_{FLm\delta}}^2 + U_{K_{FL}}^2.$$

Здесь $U_{\sigma_{FLm\delta}}$ - коэффициент вариации базового предела выносли-

ности (приложение I, табл.10);

$U_{K_{FL}}$ - коэффициент вариации коэффициента среднего ресурса (при $K_{FL} \leq 1$, $U_{K_{FL}} = 0$; при $K_{FL} > 1$, $U_{K_{FL}} = 0,05$).

Дисперсия напряжения изгиба D_{GF} определяется зависимостью

$$D_{GF} = \sigma_f^2 \cdot U_{GF}^2,$$

где U_{GF} - коэффициент вариации напряжения изгиба, определяемый из зависимости

$$U_{GF}^2 = \frac{1}{4} (U_{TF1}^2 + U_{K_{FK}}^2 + U_{K_{FB}}^2 + U_{K_{FV}}^2 + U_{K_{FK}} \cdot U_{K_{FB}} + U_{K_{FK}} \cdot U_{K_{FV}} + U_{K_{FB}} \cdot U_{K_{FV}}).$$

Входящие в эту зависимость коэффициенты определяются в следующем порядке:

коэффициент вариации нагрузки $U_{TF1} = U_{TH1}$;

коэффициент вариации коэффициента распределения нагрузки между зубьями - по формуле

$$U_{K_{FK}} = \frac{K_{FK} - 1}{3K_{FK}} ;$$

коэффициент вариации коэффициента распределения нагрузки по ширине венца - по формуле

$$U_{K_{FB}} = \frac{S+1}{10} \cdot \frac{K_{FB} - 1,05}{3K_{FB}} ;$$

коэффициент вариации динамического коэффициента - по формуле

$$U_{K_{FV}} = \frac{K_{FV} - 1}{3K_{FV}} .$$

2.2. Расчет конических зубчатых передач на долговечность

Расчет конических передач на долговечность аналогичен расчету цилиндрических передач. Различие состоит в определении расчетного контактного напряжения и напряжения изгиба.

Расчетное контактное напряжение определяется по формуле

$$\sigma_H = z_H \cdot z_M \cdot z_\varepsilon \sqrt{\frac{W_{Ht} \sqrt{u^2 + 1}}{0,85 \cdot d_{m1} \cdot u}} \quad (7)$$

напряжение изгиба на шестерне по формуле

$$\sigma_{F1} = \frac{2000 \cdot T_{F1} \cdot K_{F\alpha} \cdot K_{F\beta} \cdot Y_B \cdot Y_{Fa}}{0,85 \cdot d_{m1} \cdot b \cdot m_{nm}} \quad (8)$$

В формулах (7) и (8)

d_{m1} — средний делительный диаметр шестерни, мм;

m_{nm} — средний нормальный модуль, мм.

Остальные величины определяются так же, как для цилиндрических передач.

3. РАСЧЕТ ВАЛОВ НА ДОЛГОВЕЧНОСТЬ

Расчет вала на долговечность предусматривает определение вероятности обеспечения заданного ресурса по критерию усталости.

Расчет включает в себя составление расчетной схемы вала, построение эпюр изгибающих и крутящих моментов и определение значения этих моментов в опасных сечениях вала.

При расчете учитывают все основные факторы, влияющие на долговечность, а именно: напряженное состояние, статические и усталостные характеристики материала вала, изменение предела выносливости вследствие концентрации напряжений и влияния абсолютных размеров вала, качество поверхности и поверхностное упрочнение.

Основное расчетное условие:

$$\gamma_F \geq \gamma,$$

где γ - заданная вероятность обеспечения ресурса, %;

γ_F - расчетная вероятность обеспечения ресурса, %;

γ_F определяется на основании статических данных по табл. II приложения I в зависимости от величины квантиля распределения разности напряжений u_F :

$$u_F = \frac{(\sigma_{-1})_g - \tilde{\sigma}_{экв}}{\sqrt{D_{(\sigma_{-1})_g} + D_{\tilde{\sigma}_{экв}}}} > 0, \quad (9)$$

где $(\sigma_{-1})_g$ - предел выносливости вала при изгибе, МПа;

$\tilde{\sigma}_{экв}$ - эквивалентное напряжение, МПа;

$D_{(\sigma_{-1})_g}$ - дисперсия предела выносливости, МПа²;

$D_{\tilde{\sigma}_{экв}}$ - дисперсия эквивалентного напряжения, МПа².

Предел выносливости вала при изгибе $(\sigma_{-1})_g$ определяется по формуле

$$(\sigma_{-1})_g = \frac{\sigma_{-1}}{(K_\sigma)_g} \cdot K_V \cdot K_{FL},$$

где σ_{-1} - предел выносливости при изгибе, МПа (приложение I, табл.14);

K_V - коэффициент влияния поверхностного упрочнения (приложение I, табл.22);

$(K_\sigma)_g$ - коэффициент концентрации напряжений при изгибе;

K_{FL} - коэффициент среднего ресурса.

Коэффициент концентрации напряжений при изгибе $(K_\sigma)_g$ определяется для сечений с посаженными деталями по табл.21 приложения I, а для остальных видов концентраторов напряжений (галтель, выточка, шпонка, шлицы и др.) - по зависимости

$$(K_\sigma)_g = \frac{K_\sigma}{K_{d\sigma}} + \frac{1}{K_{нб}} - 1,$$

где K_σ - эффективный коэффициент концентрации напряжений при изгибе (приложение I, табл.16, 17 и 18);

$K_{d\sigma}$ - коэффициент влияния абсолютных размеров поперечного сечения при изгибе (приложение I, табл.19);

$K_{нб}$ - коэффициент влияния шероховатости при изгибе (приложение I, табл.20).

Коэффициент среднего ресурса K_{FL} определяется по формуле

$$K_{FL} = \sqrt[9]{\frac{N_{FO}}{N_{FE}}},$$

где N_{FO} - базовое число циклов переменн напряжений (обычно $N_{FO} = 10^7$);

N_{FE} - эквивалентное число циклов, определяемое согласно циклограмме нагружения.

При постоянной нагрузке

$$N_{FE} = 60 \cdot n \cdot T_{p\gamma} ;$$

при ступенчатой циклограмме нагружения

$$N_{FE} = \sum^i \left[\left(\frac{T_i}{T_1} \right)^3 \cdot N_i \right] \cdot \frac{1}{K_{\gamma}} ,$$

где n - частота вращения, мин⁻¹;

$T_{p\gamma}$ - гамма-процентный ресурс, ч;

T_i - крутящий момент, соответствующий i -ой ступени циклограммы нагружения, Н·м;

T_1 - крутящий момент, соответствующий I-й ступени циклограммы нагружения (наибольший), Н·м;

N_i - число циклов перемены напряжений за время действия нагрузки T_i .

При $N_{FE} > N_{FD}$ коэффициент среднего ресурса $K_{FL} = 1$.

Предельное значение $K_{FL} \leq 1,6$.

Величина эквивалентного напряжения $\sigma_{экв}$, входящая в формулу (9), определяется из условия:

$$\sigma_{экв} = \sigma \sqrt{1 + \left(\frac{n_{\sigma}}{n_{\tau}} \right)^2} ,$$

где σ - нормальные напряжения в опасных сечениях, МПа;

n_{σ} и n_{τ} - запасы прочности соответственно при изгибе и кручении.

Нормальные напряжения определяются по формуле

$$\sigma = \frac{M_{FE}}{W_u} ,$$

где W_u - момент сопротивления изгибу, см³ (приложение I, табл.15);

M_{FE} - изгибающий момент в опасных сечениях, найденный по расчетному крутящему моменту T_{FE} (за момент T_{FE}

принимается наибольший из числа подводимых к валу моментов, число циклов действия которого превышает $5 \cdot 10^4$).

Запасы прочности определяются из выражений;

$$n_{\sigma} = \frac{(\sigma_{-1})_g}{\sigma} \quad - \text{при изгибе};$$

$$n_{\tau} = \frac{2(\tau_{-1})_g}{\tau \left[1 + \frac{\psi_{\tau}}{(K_{\tau})_g} \right]} \quad - \text{при кручении}.$$

Здесь $(\sigma_{-1})_g$ - предел выносливости вала при кручении, МПа;
 τ - касательные напряжения в опасных сечениях, МПа;
 $(K_{\tau})_g$ - коэффициент концентрации напряжений при кручении;
 ψ_{τ} - коэффициент чувствительности к асимметрии напряжений

$$\psi_{\tau} = 0,01 + 10^{-4} \sigma_g$$

Предел выносливости вала при кручении $(\tau_{-1})_g$ определяется по формуле

$$(\tau_{-1})_g = \frac{\tau_{-1}}{(K_{\tau})_g} \cdot K_{\psi} \cdot K_{FL},$$

где τ_{-1} - предел выносливости материала при кручении, МПа
 (приложение I6 табл. I4);

$(K_{\tau})_g$ - коэффициент концентрации напряжений при кручении.

Значение коэффициента $(K_{\tau})_g$ определяется: для сечений с посаженными деталями - по табл. 2I приложения I, для сечений с остальными видами концентраторов - по зависимости

$$(K_{\tau})_g = \frac{K_{\tau}}{K_{d\tau}} + \frac{1}{K_{n\tau}} - 1,$$

где K_{τ} - эффективный коэффициент концентрации напряжений при кручении (приложение I, табл. I6, I7 и I8);

$K_{d\tau}$ - коэффициент влияния абсолютных размеров поперечного сечения при кручении (приложение I, табл. I9);

$K_{n\tau}$ - коэффициент влияния шероховатости при кручении

$$K_{n\tau} = 0,575 \cdot K_{n\sigma} + 0,425.$$

Касательные напряжения определяются по формуле

$$\tau = \frac{T_{FE}}{W_K},$$

где W_K - момент сопротивления кручению, см³ (приложение I, табл. I5).

Входящие в выражение (9) дисперсия предела выносливости $D_{(\sigma_{-1})_g}$ и дисперсия эквивалентного напряжения $D_{\sigma_{экв}}$ определяются по формулам:

$$D_{(\sigma_{-1})_g} = (\sigma_{-1})_g^2 \cdot V_{(\sigma_{-1})_g}^2,$$

$$D_{\sigma_{экв}} = \sigma_{экв}^2 \cdot V_{\sigma_{экв}}^2.$$

В этих формулах

$V_{\sigma_{экв}}$ - коэффициент вариации эквивалентного напряжения (приложение I, табл. 6);

$V_{(\sigma_{-1})_g}$ - коэффициент вариации коэффициента выносливости вала

$$V_{(\sigma_{-1})_g}^2 = V_{\sigma_{-1}}^2 + V_{(\kappa\sigma)_g}^2 + V_{\kappa\tau}^2 + V_{\sigma_{-1}} \cdot V_{(\kappa\sigma)_g} + V_{(\kappa\sigma)_g} \cdot V_{\kappa\tau},$$

где $V_{\sigma_{-1}}$ - коэффициент вариации предела выносливости материала ($V_{\sigma_{-1}} = 0,09 \dots 0,11$ в зависимости от качества материала);

$V_{(\kappa\sigma)_g}$ - коэффициент вариации коэффициента концентрации напряжений (от надрессовки $V_{(\kappa\sigma)_g} = 0,04$; от других видов концентраторов $V_{(\kappa\sigma)_g} = 0,02$);

$V_{\kappa\tau}$ - коэффициент вариации коэффициента упрочнения ($V_{\kappa\tau} = 0,12$; а при отсутствии упрочнения $V_{\kappa\tau} = 0$).

4. РАСЧЕТ ПОДШИПНИКОВ НА ДОЛГОВЕЧНОСТЬ

Расчетная вероятность неразрушения подшипника K_p определяется по графику (приложение I, черт. I8) в зависимости от соотношения девяностопроцентного ресурса T_{p90} и гамма-процентного ресурса $T_{p\gamma}$. Значение $T_{p\gamma}$ дается в задании на расчет подшипника. Значение T_{p90} определяется по формуле

$$T_{p90} = \frac{10^6 \left(\frac{C}{P}\right)^\rho}{60 n}$$

где C - динамическая грузоподъемность подшипника, Н;

P - эквивалентная динамическая нагрузка, Н;

n - частота вращения подшипника, мин^{-1} ;

ρ - степенной показатель ($\rho = 3$ - для шарикоподшипников;
 $\rho = 10/3$ - для роликоподшипников).

Динамическая грузоподъемность C является основной характеристикой подшипника. Она зависит от размеров и конструкции подшипника и приводится в таблицах каталогов для всех стандартных подшипников.

Эквивалентная динамическая нагрузка P определяется по формуле

$$P = (X \cdot U \cdot F_r + Y \cdot F_a) K_\delta \cdot K_T,$$

где F_r и F_a - соответственно радиальная и осевая нагрузка, Н;

U - коэффициент вращения ($U = 1$ - если вращается внутреннее кольцо подшипника; $U = 1,2$ - если вращается наружное);

X и Y - соответственно коэффициенты радиальной и осевой нагрузок, зависящие от типа подшипника (даны в справочнике-каталоге);

K_T - коэффициент, учитывающий влияние температурного режи-

ма работы на долговечность подшипника (приложение I, табл.24);

K_B - коэффициент безопасности в зависимости от характера нагрузки (приложение I, табл.23).

Если нагрузка переменная (изменяется по величине и времени действия), то определение эквивалентной динамической нагрузки ведется по средней радиальной F_{rm} и средней осевой нагрузке F_{am} , которые определяются по формулам:

$$F_{rm} = \left(\sum_i F_{ri}^{10/3} \cdot \frac{q_i}{100} \cdot \frac{n_i}{n_m} \right)^{3/10}$$

$$F_{am} = \left(\sum_i F_{ai}^{10/3} \cdot \frac{q_i}{100} \cdot \frac{n_i}{n_m} \right)^{3/10},$$

где F_{ri} и F_{ai} - радиальные и осевые нагрузки, воспринимаемые подшипником при каждом i -ом режиме, Н;

q_i - продолжительность работы при каждом i -ом режиме относительно общей продолжительности, %;

n_i - частота вращения при каждом i -ом режиме работы, мин^{-1} ;

n_m - средняя частота вращения, мин^{-1} , определяемая по формуле

$$n_m = \sum_i \frac{q_i}{100} \cdot n_i.$$

Особенности расчета радиально-упорных подшипников обусловлены наличием радиальной и осевой составляющих внешней нагрузки.

Для восприятия такой нагрузки конструкция радиально-упорных подшипников предусматривает отклонение нормалей в точках контакта тел качения с кольцами на угол α от торцевой плоскости подшипника. Вследствие этого от действия радиальных нагрузок F_r возникают внутренние осевые силы S , значение которых необходимо учитывать при определении расчетных осевых нагрузок

F_{apI} и F_{apII} (приложение I, табл.25).

При расчете принимается, что радиальные нагрузки F_{r1} и F_{r2} приложены в точках пересечения контактных нормалей с осью вала.

5. РАСЧЕТ ПРИВОДНОЙ РОЛИКОВОЙ ЦЕПИ НА ДОЛГОВЕЧНОСТЬ

Ресурс роликовой цепи устанавливается по критерию усталостной прочности пластин.

Расчетная вероятность обеспечения ресурса определяется в зависимости от отношения среднего ресурса цепи T_{pcp} к гамма-процентному ресурсу T_{pg} по графику (приложение I, черт.20). Значение гамма-процентного ресурса T_{pg} дается в задании на расчет цепи. Средний ресурс цепи T_{pcp} находится по формуле

$$T_{pcp} = \frac{m_u \cdot t_u \cdot N_\varepsilon}{3,6 \cdot 10^6 \cdot U} , \quad (10)$$

где m_u - число звеньев в цепи;

t_u - шаг цепи, мм;

N_ε - эквивалентное число циклов нагружения;

U - скорость движения цепи, м/с.

Значение N_ε находится по графику (приложение I, черт.19) в зависимости от коэффициента K_{pH} , который определяется по формуле

$$K_{pH} = \frac{F_t \cdot K_\varepsilon}{S} . \quad (11)$$

В формуле (II):

F_t - окружная сила, Н (для практических расчетов натяжение в ведущей ветви цепи $F_t = F_1$);

S - статическая разрушающая нагрузка, Н (приводится в обозначении типоразмера цепи по ГОСТ 13568-75);

$K_э$ - коэффициент эксплуатации

$$K_э = K_д \cdot K_а \cdot K_н \cdot K_p \cdot K_c \cdot K_n \quad (I2)$$

Коэффициенты, входящие в формулу (I2), даны в табл.26 приложения I.

Скорость движения цепи, входящая в формулу (I0) определяется по зависимости

$$v = \frac{z_1 \cdot n_1 \cdot t_ц}{60000},$$

где z_1 - число зубьев ведущей звездочки;

n_1 - частота вращения ведущей звездочки, мин^{-1} .

6. РАСЧЕТ ЦИЛИНДРИЧЕСКИХ ВИНТОВЫХ ПРУЖИН СЖАТИЯ НА ДОЛГОВЕЧНОСТЬ

Данный расчет предназначен для стальных цилиндрических пружин сжатия из прутка круглого сечения диаметром от 0,5 до 30 мм, в которых при работе отсутствует инерционное соударение витков. Проверка пружин на отсутствие инерционного соударения витков производится по ГОСТ 13765-68.

Основное расчетное условие

$$\gamma_p \geq \gamma$$

где \mathcal{Y}_p – расчетная вероятность обеспечения заданного ресурса, %;
 \mathcal{Y} – заданная вероятность обеспечения ресурса, %.

Расчетная вероятность обеспечения заданного ресурса определяется по номограмме (приложение I, черт.22) в зависимости от коэффициента вариации \mathcal{V} и отношения среднего ресурса пружины T_{cp} к гамма-процентному ресурсу $T_{p\gamma}$.

Значение гамма-процентного ресурса дается в задании на расчет пружины и выражается количеством циклов нагружения. Коэффициент вариации выбирается в зависимости от условий производства и характера нагрузок по таблице 28 приложения I.

Средний ресурс пружины определяется по графику (приложение I, черт.21) в зависимости от коэффициента уменьшения условного допускаемого напряжения Q и коэффициента асимметрии r , значения которых находятся по формулам

$$Q = \frac{\sigma_{max}}{0,75 \cdot \sigma_{усл}} ; r = \frac{\rho_{min}}{\rho_{max}} ,$$

где σ_{max} – максимальное напряжение цикла, МПа;

$\sigma_{усл}$ – условное допускаемое напряжение, МПа (приложение I, табл.27);

ρ_{min} – нагрузка в начале рабочего хода пружины, Н (обычно усилие предварительного поджатия пружины);

ρ_{max} – нагрузка в конце рабочего хода пружины, Н.

Максимальное напряжение цикла определяется по формуле

$$\sigma_{max} = \frac{2,55 \cdot K \cdot \rho_{max} \cdot c}{d^2} ,$$

где d – диаметр проволоки (прутка), мм;

K – коэффициент кривизны

$$K = 1 + \frac{1,5}{c}$$

c - индекс пружины

$$c = \frac{D}{d}$$

D - средний диаметр витка пружины, мм.

7. РАСЧЕТ КАНАТОВ НА ДОЛГОВЕЧНОСТЬ

Расчет предусматривает определение вероятности недостижения стальным канатом норм браковки по количеству оборванных проволок в течение заданного срока.

Основное расчетное условие

$$\mathcal{Y}_p \geq \mathcal{Y} ,$$

где \mathcal{Y}_p - расчетная вероятность недостижения норм браковки каната, %;

\mathcal{Y} - заданная вероятность обеспечения ресурса каната, %.

Расчетная вероятность \mathcal{Y}_p определяется по номограмме (приложение I, черт.23) в зависимости от коэффициента вариации \mathcal{V} и отношения среднего ресурса каната $T_{p\text{ср}}$ к гамма-процентному ресурсу $T_{p\gamma}$.

Значение гамма-процентного ресурса дается в задании на расчет каната и выражается количеством часов наработки. Коэффициент вариации принимается $\mathcal{V} = 0,6$.

Средний ресурс каната определяется по формуле

$$T_{p\text{ср}} = 0,75 \cdot T_r \cdot T_{cl.\text{ср}} ,$$

где T_r - средняя продолжительность работы техники за год в часах фактической работы;

$T_{ср.}$ - средний срок службы каната, лет.

$$T_r = 8760 \cdot K_u ; \quad (I3)$$

$$T_{ср.} = \frac{y}{\sum z \cdot K_t} \quad (I4)$$

В формулах (I3) и (I4)

K_u - средний коэффициент использования астрономического времени (задается в задании на расчет);

$\sum z$ - число перегибов каната на блоках в эксплуатации в течение года (задается в задании на расчет);

K_t - температурный коэффициент (если температура окружающего воздуха до -40°C , то $K_t = 1$; если ниже, то $K_t = 1,5 \dots 2,5$);

y - число перегибов, которое выдерживает канат до норм браковки.

$$y = y_H \cdot K_{прив} . \quad (I5)$$

В формуле (I5)

y_H - число перегибов, которое выдерживает эталонный канат до норм браковки;

$K_{прив}$ - суммарный коэффициент приведения каната.

$$y_H = 30 \left(\frac{D_1}{d} \right)^2 (K - 1,7) ,$$

где D_1 - диаметр наибольшего блока (барабана), мм;

d - диаметр каната, мм;

K - коэффициент запаса прочности, принимаемый по "Правилам устройства и безопасной эксплуатации грузоподъемных кранов".

Суммарный коэффициент приведения каната определяется по формуле

$$K_{прив} = K_H \cdot K_K \cdot K_B \cdot C ,$$

где K_H - коэффициент режима работы;
 K_K - коэффициент приведения каната;
 K_{δ} - коэффициент приведения блоков;
 C - коэффициент условий работы (при расчете канатов на долговечность $C = 0,4$).

Коэффициент режима работы находится из зависимости

$$K_H = 1,25 \frac{Q_{max}}{Q_{cp}},$$

где Q_{max} - максимальная нагрузка на крюке, Н;
 Q_{cp} - среднеарифметическая нагрузка на крюке, Н.
Коэффициент приведения каната определяется по формуле

$$K_{прив} = K_K' \cdot K_K'' \cdot K_K''',$$

где K_K' - коэффициент, учитывающий влияние диаметра каната (приложение I, табл.29);
 K_K'' - коэффициент, учитывающий предел прочности проволоки (приложение I, табл.30);
 K_K''' - коэффициент, учитывающий тип и конструкцию каната (приложение I, табл.31).

Коэффициент приведения блоков в случае, если блоки имеют одинаковые диаметры $K_{\delta} = 1$, если разные, то

$$K_{\delta} = \frac{\sum D_i^2}{i \cdot D_1^2},$$

где D_i - диаметры блоков (барабанов), измеряемые по средней линии, мм;

D_1 - диаметр наибольшего барабана, мм;

i - количество барабанов.

8. РАСЧЕТ КЛИНОВОГО РЕМНЯ НА ДОЛГОВЕЧНОСТЬ

Расчет передачи сводится к подбору типа и числа ремней по методике, изложенной в ГОСТ 1284.3-80.

Расчетная вероятность обеспечения заданного ресурса определяется по номограмме (приложение I, черт.23) в зависимости от коэффициента вариации v (принимается $v = 0,5$) и отношения среднего ресурса наработки $T_{p\text{cp}}$ к гамма-процентному ресурсу $T_{p\gamma}$.

Значение $T_{p\gamma}$ дается в задании на расчет клиновых ремней и выражается в часах, а средний ресурс наработки $T_{p\text{cp}}$ принимается по ГОСТ 1284.2-80. Для случая эксплуатации при среднем режиме нагрузки (умеренные колебания)

$$T_{p\text{cp}} = 2000 \text{ ч}$$

При других условиях

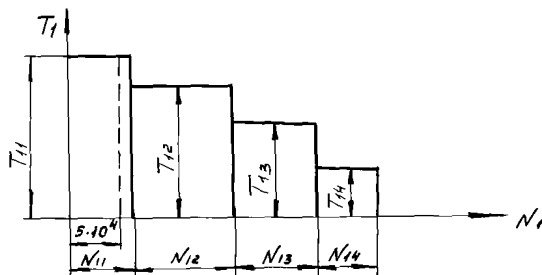
$$T_{p\text{cp}} = 2000 \cdot K_1 \cdot K_2,$$

где K_1 - коэффициент режима нагрузки (приложение I, табл.32);

K_2 - коэффициент климатических условий (для центральных зон $K_2 = 1$; для зон с холодным климатом $K_2 = 0,75$).

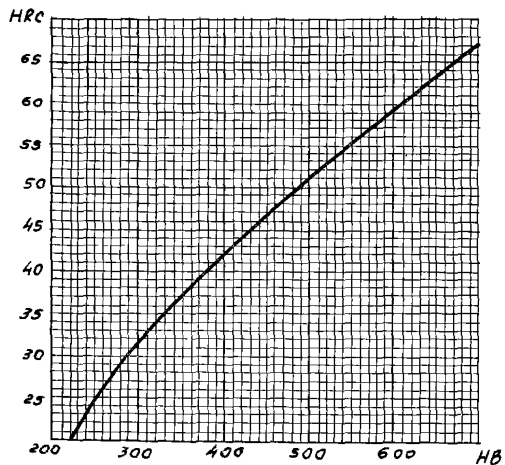
СПРАВОЧНЫЕ МАТЕРИАЛЫ

Циклограмма нагружения



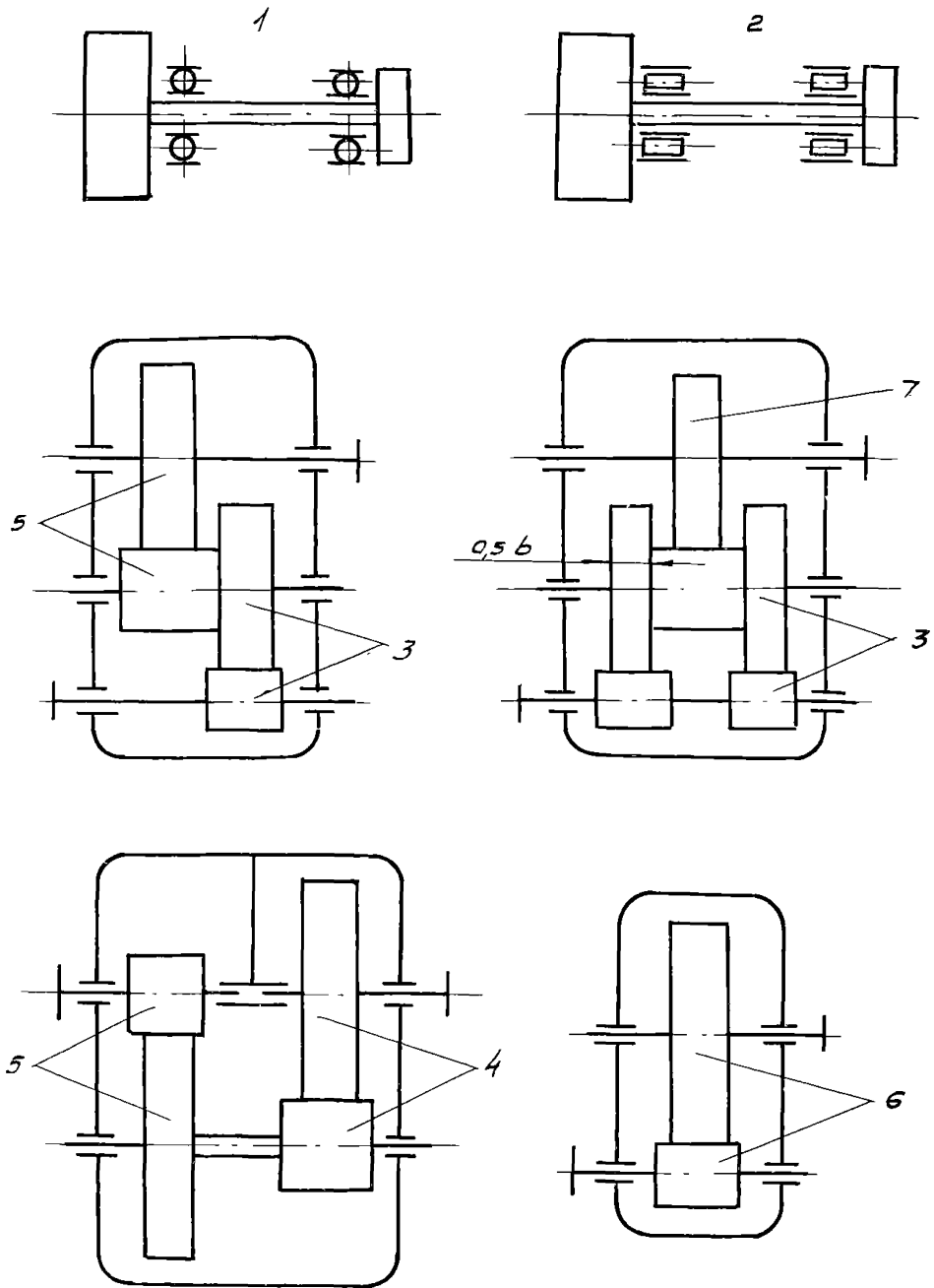
Черт. I

График соотношения твердостей, выраженных в единицах HB и HRC



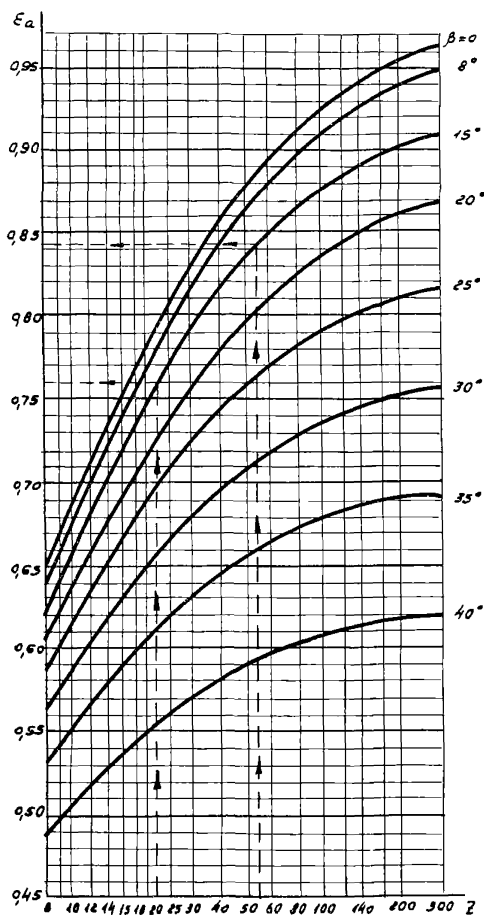
Черт. 2

Схемы расположения колес относительно опор



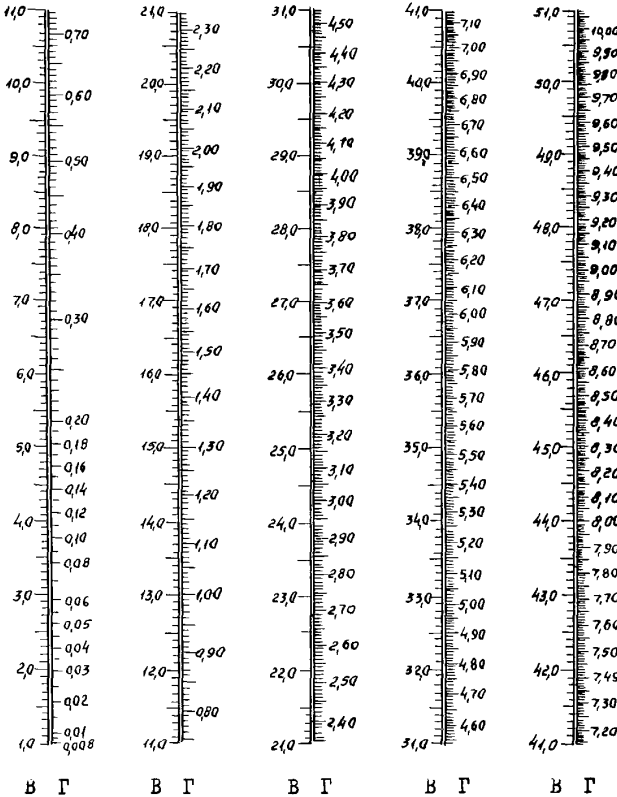
Черт. 3

График для определения составляющих
коэффициента торцевого перекрытия ε_{a_1} и ε_{a_2}



Черт. 4

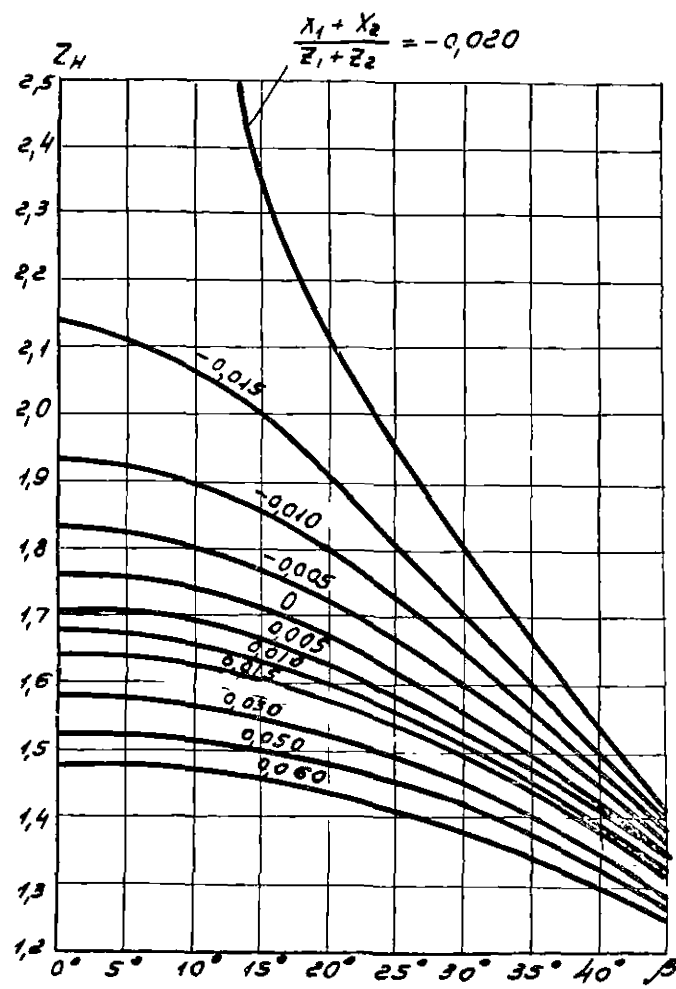
Номограмма для определения вспомогательной величины Γ



Пример: $V = 16,0$ тогда $\Gamma = 1,45$

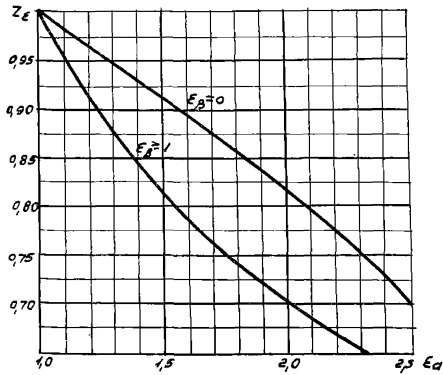
Черт. 5

График для определения коэффициента Z_H



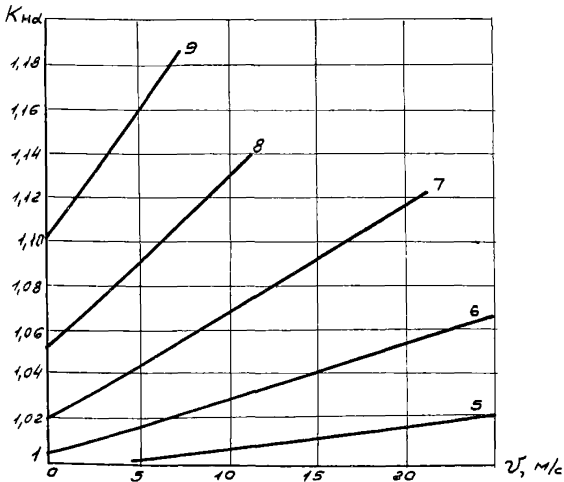
Черт. 6

График для определения коэффициента Z_{ϵ}



Черт. 7

График для определения коэффициента $K_{н\alpha}$



Примечание. Цифры у кривых означают степень точности по нормам плавности по ГОСТ 1643-78.

Черт. 8

Таблица 1

Коэффициент δ_H

Твердость поверхностей зубьев HB	Вид зубьев	Значение коэффициента δ_H
При $H_1 \leq HB 350$ или $H_2 \leq HB 350$	Прямые	0,006
	Косые	0,002
При $H_1 > HB 350$ и $H_2 > HB 350$	Прямые	0,014
	Косые	0,004

Таблица 2

Коэффициент g_0

Модуль, мм	Значение коэффициента g_0			
	Степень точности по нормам плавности			
	6	7	8	9
До 3,5	38	47	56	73
3,5...10	42	53	61	82
Св. 10	48	64	73	100

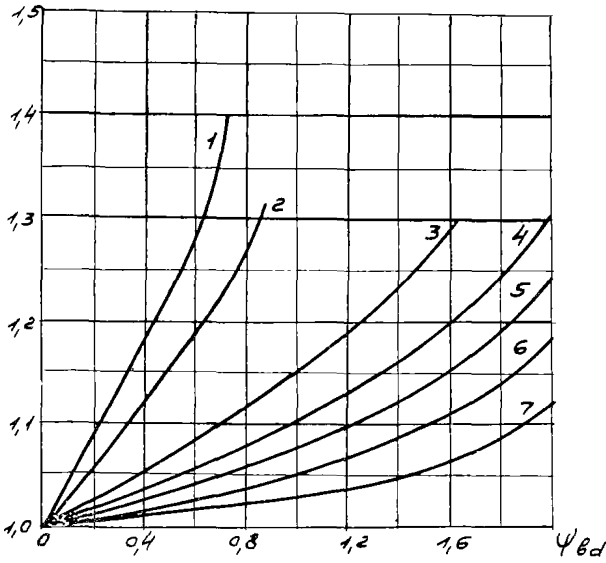
Таблица 3

Значение $\sigma_{H \text{ lim } \beta}$

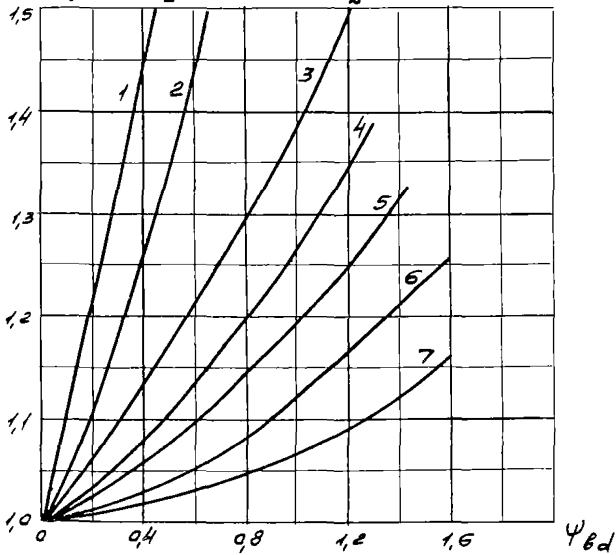
Способ упрочнения	Средняя твердость поверхности зубьев	$\sigma_{H \text{ lim } \beta}$, МПа
Нормализация, улучшение	$H \leq HB 350$	$\sigma_{H \text{ lim } \beta} = 2 HB + 70$
Объемная закалка	$H = HRC 38...50$	$\sigma_{H \text{ lim } \beta} = 18 HRC + 150$
Поверхностная закалка	$H = HRC 40...56$	$\sigma_{H \text{ lim } \beta} = 17 HRC + 200$
Цементация, нитроцементация	$H > HRC 54$	$\sigma_{H \text{ lim } \beta} = 23 HRC$
Азотирование	$H = HRC 55...75$	$\sigma_{H \text{ lim } \beta} = 1050$

Графики для определения коэффициента $K_{нв}$

$K_{нв}$ при $H_I \leq H_B 350$ или $H_2 = H_B 350$



$K_{нв}$ при $H_I > H_B 350$ и $H_2 > H_B 350$



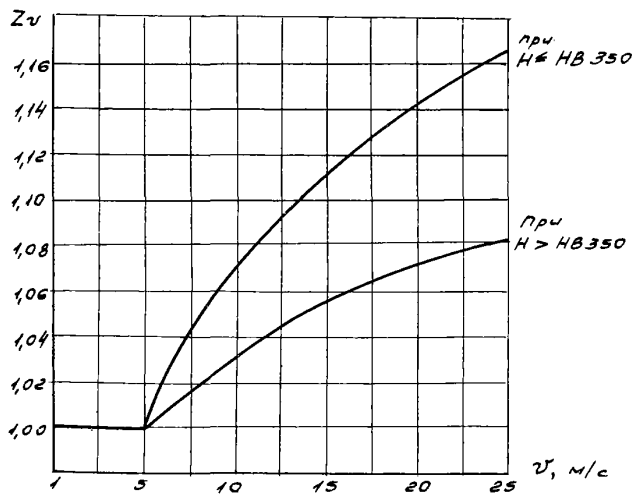
Примечание. Цифры у кривых соответствуют номеру схемы расположения колес относительно опор (см. исходные данные)

Черт. 9

Таблица 4

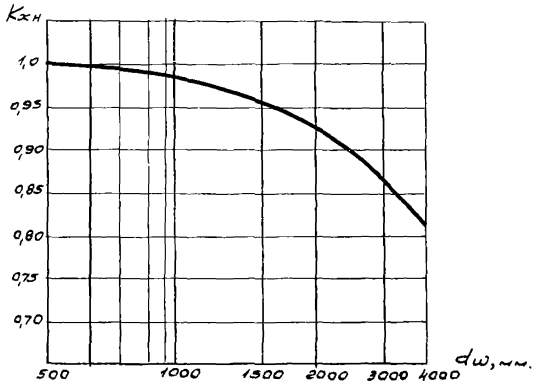
Коэффициент Z_R

Класс шероховатости	Высота микронеровностей, мкм	Значение коэффициента
7 и 8	$R_a = 1,25 \dots 0,32$	1,0
6	$R_a = 2,5 \dots 1,25$	0,95
4 и 5	$R_a = 40 \dots 10$	0,9

График для определения коэффициента Z_v 

Черт. 10

График для определения коэффициента $K_{\Sigma H}$

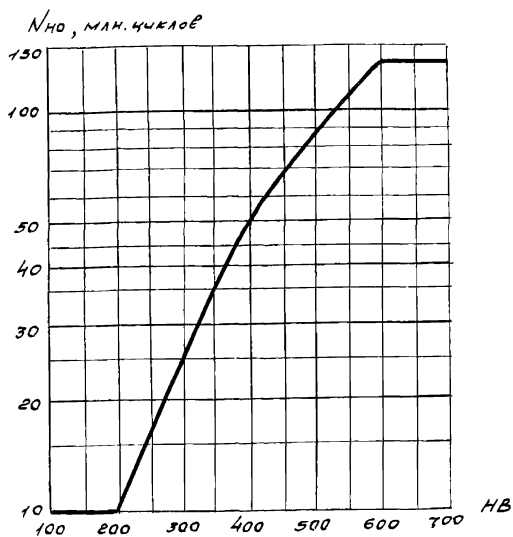


Черт. II

Таблица 5

Степень точности по нормам плавности - S	Значение $U_{\Sigma H, \text{lim } b}$			
	Значение $U_{\Sigma H, \text{lim } b}$ в зависимости от вида производства			
	Мелкосерийное	Серийное	Крупносерийное	Массовое
6	0,07	0,06	0,05	0,04
7	0,08	0,07	0,06	0,05
8	0,09	0,08	0,07	0,06
9	0,10	0,09	0,08	0,07

График для определения базового числа циклов
перемены напряжений - N_{H0}



Черт. 12

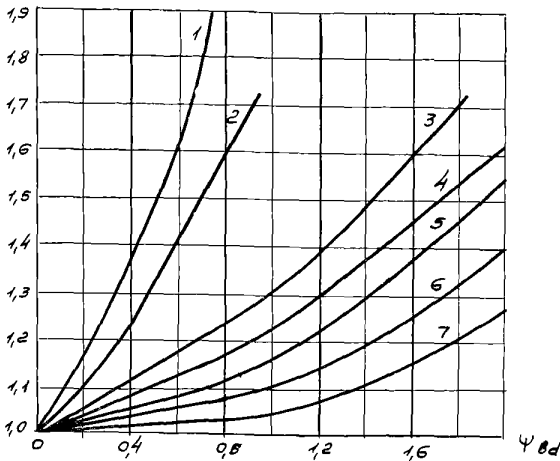
Таблица 6

Коэффициент вариации нагрузки - U_{TH1}

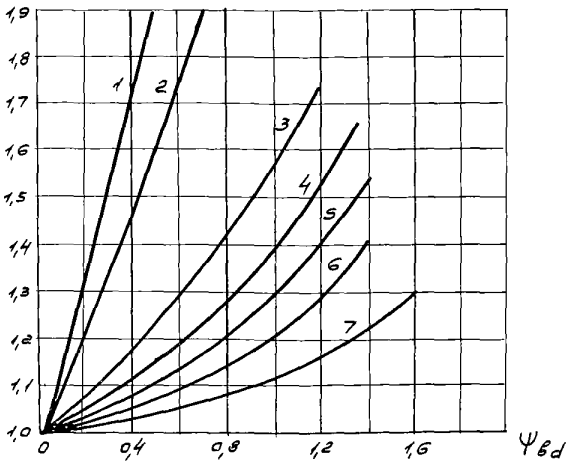
Условия работы передачи	Степень нагруженности передачи	Степень точности по нормам плавности - S	Коэффициент вариации
			U_{TH1} и $U_{6экв.}$
Стабильные	Максимальная	8 и 9	0,15
	Средняя	6 и 7	0,20
Изменяющиеся	Максимальная	8 и 9	0,25
	Средняя	6 и 7	0,35
			0,45

Графики для определения коэффициента $K_{F\beta}$

$K_{F\beta}$ при $H_1 \leq H_B 350$ или $H_2 \leq H_B 350$

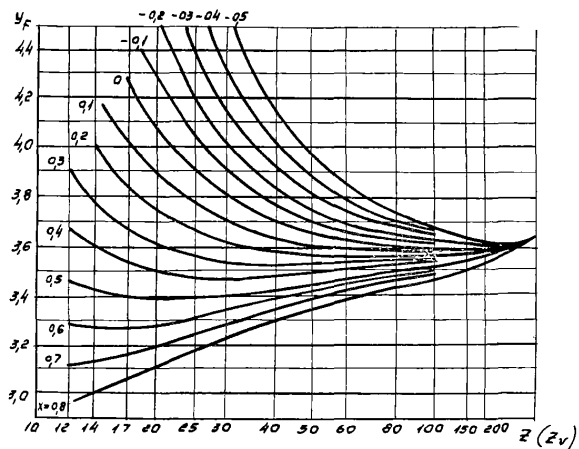


$K_{F\beta}$ при $H_1 > H_B 350$ и $H_2 > H_B 350$



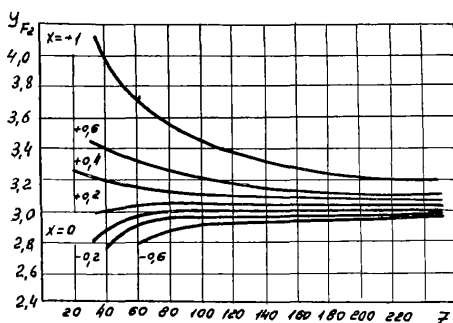
Примечание. Цифры у кривых соответствуют номеру схемы расположения колес относительно опор (см.исходные данные).

График для определения коэффициента
формы зуба Y_F



Черт. 14

График для определения коэффициента Y_F
для колес с внутренним зубом



Черт. 15

Таблица 7

Значение G_{Flmb}

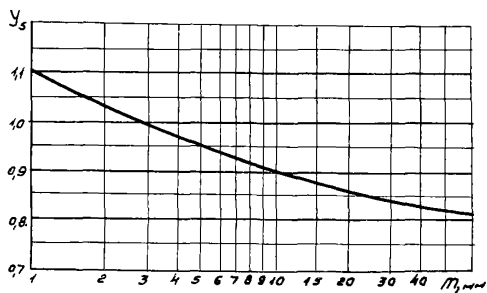
Марка стали	Способ термообработки	Твердость зуба		G_{Flmb} , МПа	
		на поверхности	в сердце- вине		
40, 45, 40Х, 40ХН, 40ХФА, 40ХН2МА, 18Х2Н4ВА	Нормализация, улучшение	HV 180...220		360	
		HV 220...270		440	
		HV 270...350		560	
40Х, 40ХН, 40ХФА, 40ХН2М	Объемная закалка с при- менением средств против обезуглероживания	HRC 45...55		600	
40ХН, 50ХН, 40ХН2МА	Объемная закалка при возможном обезуглеро- живании	HRC 45...55		550	
40Х, 40ХФА				500	
40ХН, 40ХН2МА	Закалка ТВЧ	Закаленный слой повторяет очертания впадины	HRC 48...58	HRC 25...35	700
40Х, 35ХН					600
40ХН, 40ХН2МА	Закалка ТВЧ	Закаленный слой распространяется на все сечение зуба	HRC 48...55		600
40Х, 35ХН					500
20ХН, 20ХН2М, 12ХН2, 12ХН3А, 20ХН3А, 15ХГНТА	Цельная закалка	Достигается при контроле и автоматическом регулировании углеродного потенциала	HRC 57...63	—	950
18ХГТ, 30ХГТ, 20Х, 20ХГТ					820
Легированные стали всех марок			Достигается в средах с неконтролируемым углеродным потенциалом	HRC 56...63	—
	Азотирование	—	HRC 24...40	18HRC + + 50	

Таблица 8

Коэффициент R_{FC}	
Способ термообработки	Значение R_{FC}
Отжиг, нормализация, улучшение	0,35
При $H > HRC 45$	0,25

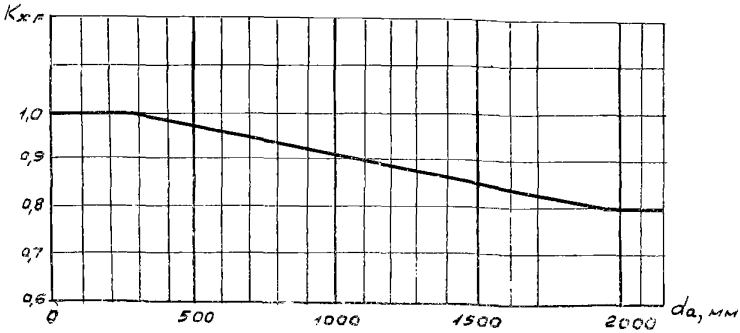
Таблица 9

Показатель m_F	
Способ термообработки зубьев	Значение m_F
Нормализация, улучшение, закалка ТВЧ	6
Объемная закалка ($H > HB 350$) и цементация	9

График для определения коэффициента Y_s 

Черт. 16

График для определения коэффициента K_{XF}



Черт. 17

Таблица 10

Значение $U_{F,lim}$

Степень точности по нормам плавности	Значение $U_{F,lim}$ в зависимости от вида производства			
	Мелкосерийное	Серийное	Крупносерийное	Массовое
6	0,09	0,08	0,07	0,06
7	0,10	0,09	0,08	0,07
8	0,11	0,10	0,09	0,08
9	0,12	0,11	0,10	0,09

Таблица II

Таблица квантилей нормального распределения

u	$\gamma, \%$	u	$\gamma, \%$	u	$\gamma, \%$
0	50	0,90	82	1,80	96,4
0,05	52	0,95	83	1,85	96,8
0,10	54	1,00	84	1,90	97,1
0,15	56	1,05	85	1,95	97,5
0,20	58	1,10	86	2,00	97,7
0,25	60	1,15	87	2,10	98,2
0,30	62	1,20	88	2,20	98,6
0,35	64	1,25	89	2,30	98,9
0,40	66	1,30	90	2,40	99,2
0,45	67	1,35	91	2,50	99,4
0,50	69	1,40	92	2,60	99,5
0,55	71	1,45	92,6	2,70	99,6
0,60	73	1,50	93,3	2,80	99,7
0,65	74	1,55	93,9	2,90	99,8
0,70	76	1,60	94,5	3,00	99,8
0,75	77	1,65	95,0	3,25	99,9
0,80	79	1,70	95,5		
0,85	80	1,75	96,0		

Таблица 12

Расчетные зависимости для определения Z_{σ} и Z_{ϵ}

Вид зубчатых колес	Значение Z_{σ}		Значение Z_{ϵ}
	шестерня	колесо	
Прямозубые	$Z_{\sigma_1} = \frac{Z_1}{\cos \delta_1}$	$Z_{\sigma_2} = \frac{Z_2}{\cos \delta_2}$	$Z_{\epsilon} = \sqrt{\frac{4 - \epsilon_{\alpha}}{j}}$
Косозубые и с круговым зубом	$Z_{\sigma_1} = \frac{Z_1}{\cos \delta_1 \cdot \cos^3 \beta}$	$Z_{\sigma_2} = \frac{Z_2}{\cos \delta_2 \cdot \cos^3 \beta}$	$Z_{\epsilon} = \sqrt{\frac{1}{\epsilon_{\alpha}}}$

Таблица 13

Коэффициенты $K_{H\beta}$ и $K_{F\beta}$

Относительная ширина эквивалентного конического колеса	Шариковые опоры				Роликовые опоры			
	Твердость рабочих поверхностей зубьев							
	шестерни и колеса HВ > 350		шестерни или колеса HВ ≤ 350		шестерни и колеса HВ > 350		шестерни или колеса HВ ≤ 350	
	з у б ь я							
$\frac{K_{H\epsilon} \cdot u}{2 - K_{H\epsilon}}$	пря- мые и косые	кру- говые	пря- мые и косые	кру- говые	пря- мые и косые	кру- говые	пря- мые и косые	кру- говые
0,2	1,16	1,08	1,07	1,0	1,08	1,04	1,04	1,0
0,4	1,37	1,18	1,14	1,0	1,20	1,10	1,08	1,0
0,6	1,58	1,29	1,23	1,0	1,32	1,15	1,13	1,0
0,8	1,80	1,40	1,34	1,0	1,44	1,22	1,18	1,0
1,0	—	—	—	1,0	1,55	1,28	1,23	1,0

Механические характеристики материалов валов


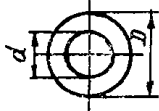
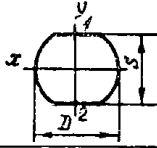
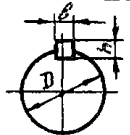
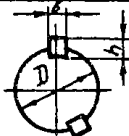
Размерность в МПа

Марка стали	Диаметр заготовки не более D _з , мм	*) Твердость не ниже, НВ	Предел				
			прочности	текучести		выносливости	
				σ _b	σ _T	σ _T	σ ₋₁
Ст.5	Любой	190	520	280	150	220	130
45	Любой	200	560	280	150	250	150
	120	240	800	550	300	350	210
	80	270	900	650	390	380	230
40X	Любой	200	730	500	280	320	200
	200	240	800	650	390	360	210
	120	270	900	750	450	410	240
40XH	Любой	240	820	650	390	360	210
	200	270	920	750	450	420	250
20	60	145	400	240	120	170	100
20X	120	190	650	400	240	300	160
12XНЗА	120	260	950	700	480	420	210
12X2H4A	120	300	1100	850	590	500	250
18XГТ	60	330	1150	950	650	520	280
30XГТ	Любой	270	950	750	520	450	260
	120	320	1150	950	660	520	310
	60	415	1500	1200	840	650	330
25X2ГНТ	200	360	1500	1200	840	650	330

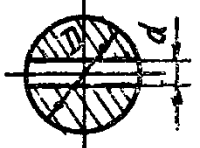


*) Твердость нормализованных и улучшенных сталей.

Таблица 15

Геометрические параметры валов

Вал	Эскиз	F	W_u		W_k
Сплошной		$\frac{\pi D^2}{4}$	$\frac{\pi D^3}{32}$		$\frac{\pi D^3}{16}$
Полый		$\frac{\pi}{4} (D^2 - d^2)$	$\frac{\pi}{32} (D^3 - \frac{d^4}{D})$		$\frac{\pi}{16} (D^3 - \frac{d^4}{D})$
С лысками		$0,855 \cdot D \cdot S$	W_x	W_y	$0,186 D^2 \cdot S$ (для точек I и 2)
			$0,106 D^2 \cdot S$	$0,094 D^2 \cdot S$	
С одной шпонкой		$\frac{\pi D^2}{4} - \frac{bh}{2}$	$\frac{\pi D^3}{32} - \frac{bh(2D-h)^2}{16D}$		$\frac{\pi D^3}{16} - \frac{bh(2D-h)^2}{16D}$
С двумя шпонками		$\frac{\pi D^2}{4} - bh$	$\frac{\pi D^3}{32} - \frac{bh(2D-h)^2}{8D}$		$\frac{\pi D^3}{16} - \frac{bh(2D-h)^2}{8D}$

Продолжение табл. 15

Вал	Эскиз	F		W_u		W_K			
		$\frac{\pi}{4} \cdot D^2 \cdot \xi_F$		$\frac{\pi}{32} \cdot D^3 \cdot \xi_u$		$\frac{\pi}{16} D^3 \cdot \xi_K$			
		d/D	ξ_F	ξ_u	ξ_K	d/D	ξ_F	ξ_u	ξ_K
С поперечным отверстием		0,05	0,936	0,925	0,934	0,35	0,555	0,475	0,686
		0,10	0,873	0,850	0,926	0,40	0,490	0,400	0,630
		0,15	0,809	0,775	0,884	0,45	0,426	0,330	0,573
		0,20	0,746	0,700	0,840	0,50	0,364	0,270	0,515
		0,25	0,682	0,625	0,791	0,55	0,300	0,215	0,458
		0,30	0,618	0,550	0,740	0,60	0,235	0,170	0,400
С призмочными шлицами		$\frac{\pi d^2}{4} + bz \frac{D-d}{2}$		$\frac{\pi d^4 + bz(D-d)(D+d)^2}{32 \cdot D}$		$W_K = 2W_u$			
				z - число шлицев					
С эвольвентными шлицами и вал-шестерня		$\frac{\pi d^2}{4}$		$\frac{\pi d^3}{32}$		$\frac{\pi d^3}{16}$			
				d - номинальный диаметр					

Стр. 48 РД 22-127-85

Таблица 16

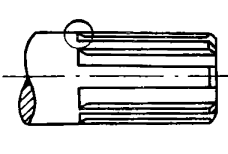
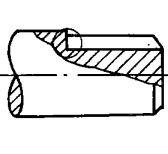
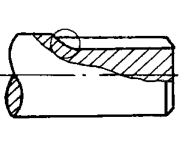
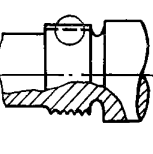
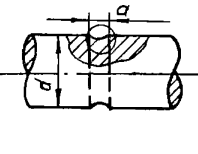
Эффективные коэффициенты концентрации для валов с галтельным переходом



σ_B , МПа	h/r													
	1					2					3			5
	r/d													
	0,01	0,02	0,03	0,05	0,10	0,01	0,02	0,03	0,05	0,01	0,02	0,03	0,01	0,02
Эффективный коэффициент концентрации при изгибе - K_σ														
400	1,34	1,41	1,59	1,54	1,38	1,51	1,76	1,76	1,70	1,86	1,90	1,89	2,07	2,09
600	1,38	1,47	1,67	1,64	1,50	1,57	1,86	1,88	1,82	1,94	2,02	2,03	2,17	2,23
800	1,41	1,52	1,76	1,73	1,61	1,62	1,96	1,99	1,95	2,03	2,13	2,16	2,28	2,38
1000	1,45	1,57	1,84	1,83	1,72	1,67	2,06	2,11	2,07	2,12	2,25	2,30	2,39	2,52
1200	1,49	1,62	1,92	1,93	1,83	1,72	2,16	2,23	2,19	2,21	2,37	2,44	2,50	2,66
Эффективный коэффициент концентрации при кручении - K_τ														
400	1,26	1,33	1,39	1,42	1,37	1,37	1,53	1,52	1,50	1,54	1,59	1,61	2,12	2,03
600	1,29	1,36	1,42	1,44	1,39	1,40	1,58	1,57	1,57	1,59	1,66	1,68	2,24	2,12
800	1,30	1,37	1,45	1,47	1,43	1,43	1,61	1,61	1,62	1,64	1,72	1,74	2,37	2,22
1000	1,31	1,39	1,48	1,51	1,46	1,46	1,65	1,66	1,68	1,68	1,79	1,81	2,48	2,31
1200	1,32	1,42	1,52	1,54	1,50	1,47	1,68	1,71	1,74	1,73	1,86	1,88	2,60	2,40

Таблица 17

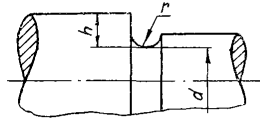
Эффективные коэффициенты концентрации напряжений для валов со шлицами, шпоночной канавкой, метрической резьбой, поперечным отверстием

σ_s , МПа												
	Для валов со шлицами			Для валов со шпоночной канавкой, выполненной торцевой фрезой		дисковой фрезой		Для валов с метрической резьбой		Для валов с поперечным отверстием		
	K_σ	K_τ		K_σ	K_τ	K_σ	K_τ	K_σ	K_τ	$\frac{d}{D} = 0,05 \dots 0,15$		$0,25$
Прямо- боковые шлицы		Эвольвент- ные шлицы и зубья валов- шестерен	K_σ (изгиб)							K_τ (кру- чение)		
400	1,35	2,10	1,40	1,51	1,20	1,30	1,45	1,20	1,90	1,70	1,70	1,70
600	1,55	2,36	1,46	1,76	1,54	1,46	1,96	1,54	2,00	1,80	1,80	1,80
800	1,65	2,55	1,52	2,01	1,88	1,62	2,32	1,88	2,10	1,90	1,85	1,85
1000	1,72	2,70	1,58	2,26	2,22	1,77	2,61	2,22	2,20	2,00	1,90	1,90
1200	1,75	2,80	1,60	2,50	2,39	1,92	2,90	2,39	2,30	2,10	2,00	2,00

Знаком  отмечены зоны концентрации напряжений изгиба и кручения.

Таблица 18

Эффективные коэффициенты концентрации напряжений для валов с выточкой



σ_B , МПа	h/r																		
	0,5					1				2				3		—			
	r/d																		
	0,01	0,02	0,03	0,05	0,10	0,01	0,02	0,03	0,05	0,01	0,02	0,03	0,01	0,02	0,01	0,02	0,03	0,05	0,10
	K_σ (изгиб)														K_τ (кручение)				
400	1,88	1,79	1,72	1,61	1,44	2,09	1,99	1,91	1,79	2,29	2,18	2,10	2,38	2,28	1,60	1,51	1,44	1,34	1,17
600	1,98	1,89	1,82	1,71	1,52	2,21	2,11	2,03	1,91	2,43	2,32	2,22	2,56	2,42	1,80	1,69	1,60	1,46	1,23
800	2,09	2,00	1,92	1,82	1,59	2,37	2,20	2,14	2,03	2,56	2,45	2,35	2,73	2,56	2,00	1,86	1,75	1,57	1,28
1000	2,20	2,11	2,02	1,93	1,66	2,45	2,35	2,25	2,15	2,70	2,58	2,47	2,90	2,70	2,20	2,03	1,90	1,69	1,34
1200	2,31	2,22	2,12	2,04	1,73	2,57	2,49	2,36	2,27	2,84	2,71	2,59	3,07	2,84	2,40	2,20	2,05	1,81	1,40

Таблица 19

Коэффициент влияния абсолютных размеров

Наименьший из примыкающих к зоне концентрации диаметр вала, мм	Углеродистые стали		Легированные стали	
	$K_{d\sigma}$	$K_{d\epsilon}$	$K_{d\sigma}$	$K_{d\epsilon}$
20...30	0,91	0,89	0,83	0,89
30...40	0,88	0,81	0,77	0,81
40...50	0,84	0,78	0,73	0,78
50...60	0,81	0,76	0,70	0,76
60...70	0,78	0,74	0,68	0,74
70...80	0,75	0,73	0,66	0,73
80...100	0,73	0,72	0,64	0,72
100...120	0,70	0,70	0,62	0,70
120...150	0,68	0,68	0,60	0,68
150...500	0,60	0,60	0,54	0,60

Таблица 20

Коэффициент влияния шероховатости поверхности при изгибе

Вид механической обработки и шероховатость поверхности	Значения $K_{\sigma\epsilon}$ при σ_{ϵ} , МПа		
	400	800	1200
Шлифование $\sqrt{0,32}$... $\sqrt{0,16}$	I	I	I
Обточка $\sqrt{2,5}$... $\sqrt{0,63}$	I,05	I,10	I,25
Обдирка $\sqrt{R_z 80}$... $\sqrt{R_z 20}$	I,20	I,25	I,50
Необработанная поверхность ∇	I,30	I,50	2,20

Таблица 21

Коэффициенты концентрации напряжений
для валов с посаженными деталями
(концентратор - край посаженной детали)

Диаметр вала, мм	Посадка	Предел прочности σ_B , МПа							
		400	500	600	700	800	900	1000	1200
30...50		(K_σ) _D - изгиб							
	r 6	2,25	2,50	2,75	3,0	3,25	3,50	3,75	4,25
	k 6	1,69	1,88	2,06	2,25	2,44	2,63	2,82	3,19
	h 6	1,46	1,63	1,79	1,95	2,11	2,28	2,44	2,76
50...100	s 6	2,75	3,05	3,36	3,66	3,96	4,28	4,60	5,20
	k 6	2,06	2,28	2,52	2,75	2,97	3,20	3,45	3,90
	h 6	1,80	1,98	2,18	2,38	2,57	2,78	3,0	3,40
> 100	s 6	2,95	3,28	3,60	3,94	4,25	4,60	4,90	5,60
	k 6	2,22	2,46	2,70	2,96	3,20	3,46	3,98	4,20
	h 6	1,92	2,13	2,34	2,56	2,76	3,0	3,18	3,64
30...50		(K_τ) _D - кручение							
	r 6	1,75	1,90	2,05	2,20	2,35	2,50	2,65	2,95
	k 6	1,41	1,53	1,64	1,75	1,86	1,98	2,09	2,31
	h 6	1,28	1,38	1,47	1,57	1,67	1,77	1,86	2,06
50...100	s 6	2,05	2,23	2,52	2,60	2,78	3,07	3,26	3,62
	k 6	1,64	1,87	2,03	2,15	2,28	2,42	2,57	2,74
	h 6	1,48	1,60	1,71	1,83	1,95	2,07	2,20	2,42
> 100	s 6	2,17	2,37	2,56	2,76	2,95	3,16	3,34	3,76
	k 6	1,73	1,88	2,04	2,18	2,32	2,48	2,80	2,92
	h 6	1,55	1,68	1,83	1,94	2,06	2,20	2,31	2,58

Примечание. Значения (K_σ)_D и (K_τ)_D для посадки колец подшипников качения принимать по графе, соответствующей прессовой посадке.

Значение коэффициента K_v

Вид поверхностной обработки	Предел прочности σ_s , МПа	Гладкие валы	Валы с коэффициентом концентрации	
			$K_\sigma \leq 1,5$	$K_\sigma > 1,5$
Закалка ТВЧ	600...800	1,5	1,6	2,4
	800...1000	1,3	-	-
Азотирование	900...1200	1,1	1,6	1,8
	400...600	1,8	3,0	-
Цементация	700...800	1,4	-	-
	1000...1200	1,2	2,0	-
Обдувка дробью	700...1250	1,1	1,5	1,7
Обкатка роликом	-	1,2	1,4	1,8

Таблица 23

Значение коэффициента безопасности K_β

Характер нагрузки	K_β	Область применения
Спокойная нагрузка без толчков	1,0	Ременная и фрикционная передачи, ленточные конвейеры, грузовые блоки.
Легкие толчки, кратковременная перегрузка до 125 %	1,0...1,2	Металлорежущие станки, вентиляторы.
Умеренные толчки, кратковременная перегрузка до 150 %	1,3...1,5	Редукторы, компрессоры, электродвигатели, тракторы, автомобили, крановые механизмы, смесительные машины.
Вибрационная нагрузка	1,5...1,8	Двигатели внутреннего сгорания, грохоты, валковые и молотковые дробилки.
Нагрузка со значительными толчками и вибрацией	1,8...2,0	Мелкие щековые дробилки, шаровые и стержневые мельницы, вибраторы для уплотнения бетона.
Нагрузка с перегрузкой до 200 %	2,0...2,5	Копры, железнодорожные буссы, крупные щековые дробилки.
Сильные удары, перегрузка до 300 %, повышенная температура, плохие условия работы	2,5...3,0	Лесопильные рамы

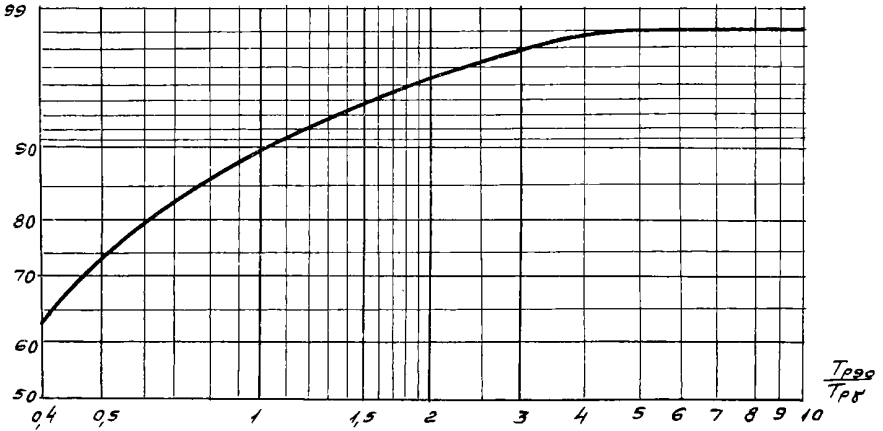
Таблица 24

Значение температурного коэффициента K_T
в зависимости от рабочей температуры подшипника

Рабочая температура подшипника	125	150	175	200	225
Температурный коэффициент K_T	1,05	1,10	1,15	1,25	1,35

График для определения вероятности
обеспечения ресурса подшипника

$\gamma, \%$



Черт. 18

Таблица 25

Формулы для определения расчетной осевой нагрузки F_{ap} на радиально-упорные шарикоподшипники и конические роликоподшипники

Условия нагружения	Расчетная осевая нагрузка	
	Опора I	Опора II
$S_I \geq S_{II}$ и $F_a \geq 0$	$F_{apI} = S_I$	$F_{apII} = S_I + F_a$
$S_I < S_{II}$ и $F_a \geq S_{II} - S_I$		
$S_I < S_{II}$ и $F_a \leq S_{II} - S_I$	$F_{apI} = S_{II} - F_a$	$F_{apII} = S_{II}$

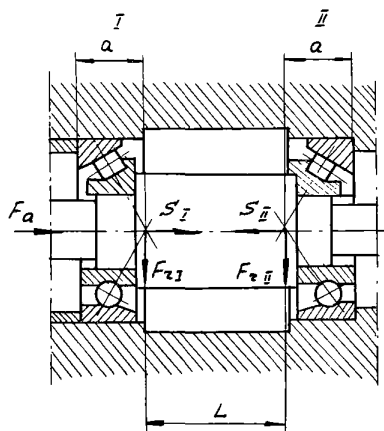
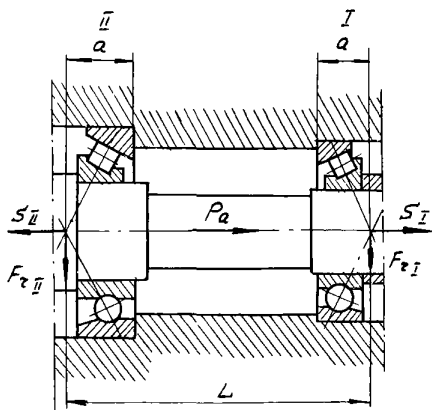
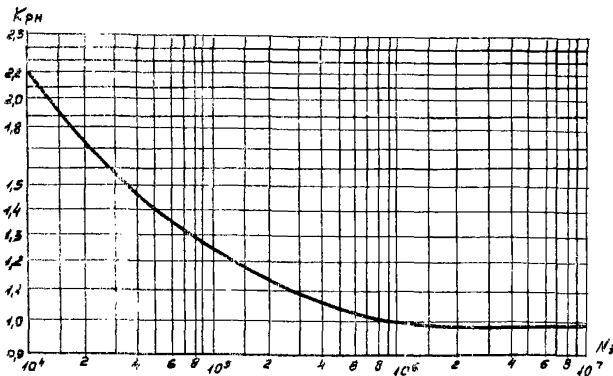


Таблица 26

Значение коэффициентов, определяющих
коэффициент эксплуатации $K_э$

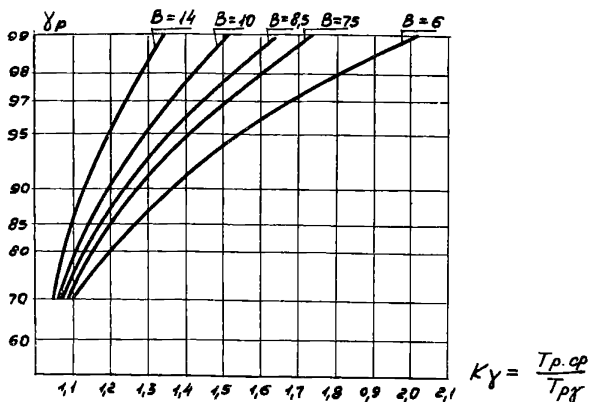
Наименование коэффициента	Обозначение	Значение
Коэффициент динамической нагрузки	K_d	1,0...1,5
Коэффициент межосевого расстояния	K_a	1,0...1,25
Коэффициент наклона передачи к горизонту	K_n	1,0...1,25
Коэффициент способа регулировки натяжения цепи	K_p	1,0...1,25
Коэффициент смазки и загрязнения передачи	K_c	1,0...6,0
Коэффициент продолжительности работы в течение суток	K_n	1,0...1,5

График для определения эквивалентного числа циклов нагружения



Черт. 19

График для определения вероятности обеспечения ресурса цепной передачи



Черт. 20

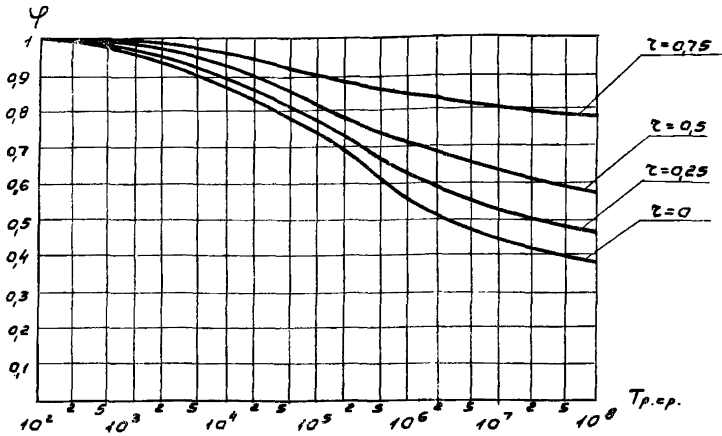
Значение условного допускаемого напряжения $\tau_{\text{до}}$

Размерность в МПа

Таблица 27

Материал проволоки (прутка)		Диаметр проволоки (прутка), мм										
		0,5	1,0	1,6	2,0	2,5	3,0	4,0	5,0	6,0	8,0	8...30
Проволока по ГОСТ 9389-60	класс I	13,0	12,5	11,0	10,0	9,0	8,5	8,0	7,5	7,0	-	-
	класс II	11,0	10,0	9,0	9,0	8,0	8,0	7,5	7,0	6,5	6,0	-
	класс III	8,5	8,0	7,0	7,0	6,5	6,5	5,5	5,5	5,0	5,0	-
Сталь 60С2 и 60С2А		—					7,5					7,0

График для определения среднего ресурса
 пружины — $T_{p.ф.}$



Черт. 21

Коэффициент вариации ψ

Таблица 28

Условия производства	Характер нагрузки	Значение ψ
Неспециализированное	Наличие случайных ударов, вибраций, отдельных пиковых амплитудных нагрузок.	1,2
	Отсутствие вибраций и ударов. Постоянная амплитудная нагрузка.	1,0
Специализированное	Наличие случайных ударов, вибраций, отдельных пиковых амплитудных нагрузок.	0,8
	Отсутствие вибраций и ударов. Постоянная амплитудная нагрузка.	0,6

Коэффициент K_K

Таблица 29

Диаметр каната, мм	10	14	16	18	20
Коэффициент K_K'	1,1	1,0	0,95	0,89	0,85

Коэффициент K_K''

Таблица 30

Предел прочности проволоки каната σ_B , МПа	16	18	20
Коэффициент K_K''	1,0	0,95	0,8

Коэффициент K_K'''

Таблица 31

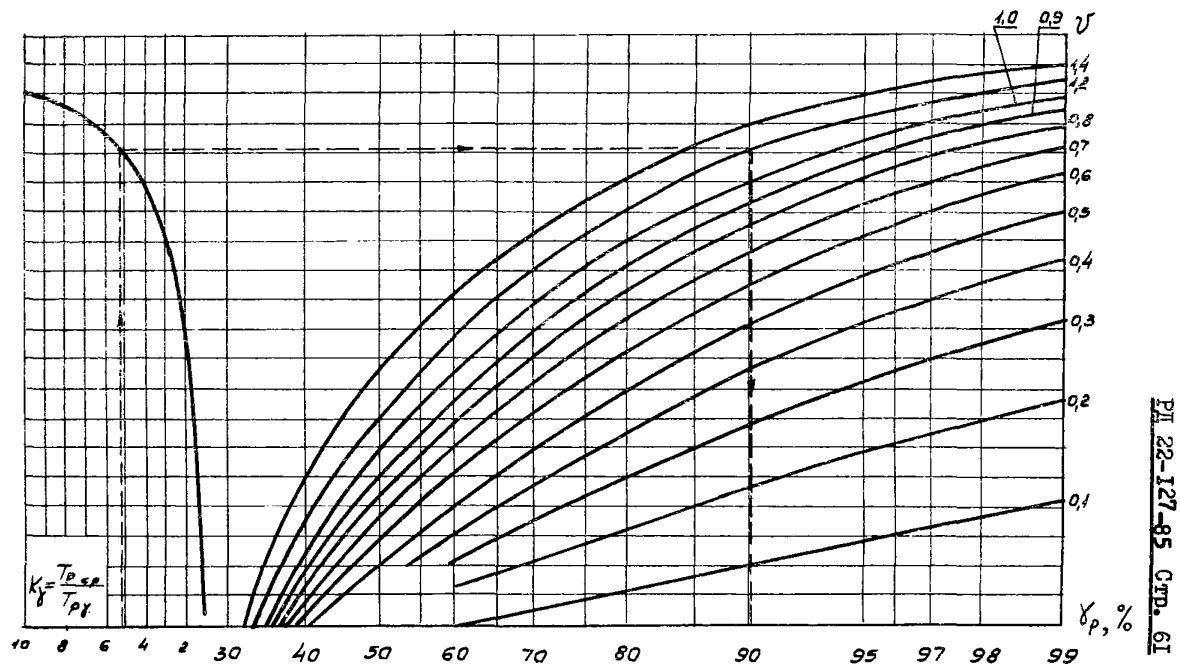
Тип и конструкция каната	Коэффициент K_K'''	
	канат крестовой свивки	канат односторонней свивки
ЛК-0; 6x3I+I о.с.	1,4	2,1
ЛК-Р0; 6x36+I о.с.	1,35	2,02
ЛК-Р; 6xI9+I о.с.	1,0	1,5
ТК; 6xI9+I о.с.	0,5	0,75

Коэффициент режима нагружения для клиновых ремней K_f

Таблица 32

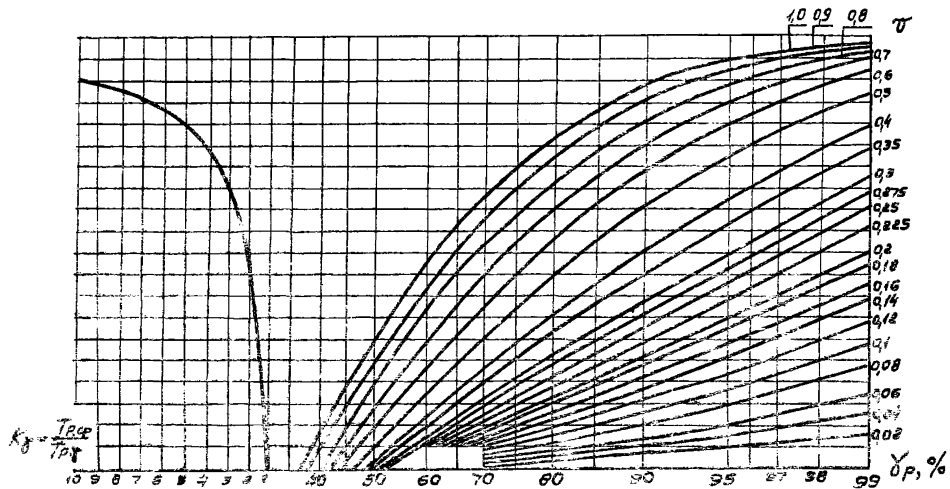
Характер нагрузки	Значение K_f
Спокойная	2,5
Умеренные колебания	1,0
Значительные колебания	0,5
Ударная или резко переменная	0,25

Номограмма для определения вероятности обеспечения ресурса пружины
(логарифмически-нормальный закон распределения)



Черт. 22

Номограмма для определения вероятности обеспечения ресурса
канатов (закон распределения Вейбулла)



черт. 23

РАСЧЕТНЫЕ ТАБЛИЦЫ

I. Расчет цилиндрических зубчатых передач

на долговечность

I.I. Исходные данные

Таблица I

Наименование параметров		Обозначение	Значение
Число зубьев	шестерни	Z_1	
	колеса	Z_2	
Модуль, мм		m	
Угол наклона, градус		β	
Коэффициент смещения	шестерни	x_1	
	колеса	x_2	
Рабочая ширина венца, мм		b_w	
Первая ступень нагружения шестерни (черт. I)	Крутящий момент, Н·м	T_{11}	
	Частота вращения, мин ⁻¹	n_{11}	
	Время действия момента, ч	t_1	
Вторая ступень	То же	T_{12}	
		n_{12}	
		t_2	
Третья ступень	То же	T_{13}	
		n_{13}	
		t_3	
Четвертая ступень	То же	T_{14}	
		n_{14}	
		t_4	
Гамма-процентный ресурс, ч		$T_{p\gamma}$	
Заданная вероятность обеспечения, %		γ	
Коэффициент (отношение среднего к гамма-процентному ресурсу при заданном законе распределения ресурса)		K_r	

Наименование параметров	Обозначение	Значение
Наибольший длительно действующий крутящий момент на реверсируемом валу шестерни, Н·м	T_1'	
Время работы передачи при реверсе, ч	t'	
Количество зубчатых колес, одновременно находящихся в зацеплении с рассчитываемым колесом	α	
Схема расположения колес относительно опор (приложение I, черт.3)	—	
Наличие колеса, насаженного на вал рядом с шестерней (да, нет)	—	
Степень точности по нормам плавности по ГОСТ 1643-78	S	
Класс шероховатости по ГОСТ 2789-73	—	
*) Условия работы передачи (стабильные, изменяющиеся)	—	
Степень нагруженности передачи (средняя, максимальная)	—	
Марка стали	шестерни	—
	колеса	—
Способ термообработки	шестерни	—
	колеса	—
**) Твердость поверхности зубьев (средняя), НВ или HRC	шестерни	H_1
	колеса	H_2
Твердость сердцевины зубьев (средняя), НВ или HRC	шестерни	H_1'
	колеса	H_2'

*) Условия работы принимаются стабильными в случае постоянства крутящего момента, а также при кратковременных его изменениях.

**) Соотношение между значениями твердости, выраженными в единицах НВ и HRC, приведено на черт. 2 приложения I.

1.2. Определение основных геометрических параметров

1.2.1. Определение основных геометрических параметров некорректированных зубчатых передач ($x_1 = x_2 = 0$) и передач с высотной коррекцией ($x_1 = -x_2$)

Таблица 2

Наименование параметров	Обозначение	Расчетная зависимость	Значение
Передаточное число	u	$u = \frac{Z_2}{Z_1}$	
Начальный диаметр, мм	d_{w1}	$d_w = \frac{z \cdot m}{\cos \beta}$	
	d_{w2}		
Межосевое расстояние, мм	a_w	$a_w = \frac{(Z_1 + Z_2) \cdot m}{2 \cos \beta}$	
Составляющие коэффициента торцевого перекрытия	$\varepsilon_{\alpha 1}$	Приложение I, черт. 4	
	$\varepsilon_{\alpha 2}$		
Коэффициент торцевого перекрытия	ε_{α}	$\varepsilon_{\alpha} = \varepsilon_{\alpha 1} + \varepsilon_{\alpha 2}$	
Осевой шаг, мм	P_x	$P_x = \frac{\pi \cdot m}{\sin \beta}$	
Коэффициент осевого перекрытия	ε_{β}	$\varepsilon_{\beta} = \frac{b_w}{P_x}$	

1.2.2. Определение основных геометрических параметров
 прямозубой передачи с угловой коррекцией ($x_1 \neq x_2$)

Таблица 3

Наименование параметров	Обозначение	Расчетная зависимость	Значение
Передаточное число	u	$u = \frac{z_2}{z_1}$	
Коэффициент суммы смещений	x_Σ	$x_\Sigma = x_1 + x_2$	
	B	$B = \frac{1000 \cdot x_\Sigma}{z_1 + z_2}$	
Вспомогательные величины	Γ	Приложение I, черт.5	
	Δy	$\Delta y = \frac{\Gamma(z_1 + z_2)}{1000}$	
Коэффициент воспринимаемого смещения	y	$y = x_\Sigma - \Delta y$	
Межосевое расстояние, мм	a_w	$a_w = \left(\frac{z_1 + z_2}{2} + y\right) \cdot m$	
Начальный диаметр, мм	d_{w1}	$d_{w1} = \frac{2 \cdot a_w}{u + 1}$	
	d_{w2}	$d_{w2} = \frac{2 \cdot a_w \cdot u}{u + 1}$	
Делительный диаметр, мм	d_1	$d = z \cdot m$	
	d_2		
Основной диаметр, мм	d_{f1}	$d_f = d \cdot \cos \lambda$ (обычно $\lambda = 20^\circ$)	
	d_{f2}		
Диаметр вершин зубьев, мм	d_{a1}	$d_{a1} = d_1 + 2(1 + x_1 - \Delta y)m$	
	d_{a2}	$d_{a2} = d_2 + 2(1 + x_2 - \Delta y)m$	
Угол профиля зуба в точке на окружности вершин, градус	λ_{a1}	$\lambda_a = \arccos \frac{d_f}{d_a}$	
	λ_{a2}		
Угол зацепления, градус	λ_{t_w}	$\lambda_{t_w} = \arccos \frac{(z_1 + z_2) \cdot m \cos \lambda}{2 \cdot a_w}$	
Коэффициент торцевого перекрытия	ϵ_λ	$\epsilon_\lambda = \frac{z_1 \operatorname{tg} \lambda_{a1} + z_2 \operatorname{tg} \lambda_{a2} - (z_1 + z_2) \operatorname{tg} \lambda_{t_w}}{2\pi}$	

1.3. Определение вероятности обеспечения заданного ресурса по критерию усталостного выкрашивания

Таблица 4

Наименование параметров	Обозначение	Расчетная зависимость	Значение
Вспомогательный параметр	—	$\frac{x_1 + x_2}{z_1 + z_2}$	
Коэффициент формы поверхности	Z_H	Приложение I, черт.6	
Коэффициент свойств материалов, МПа ^{1/2}	Z_M	Для стальных зубчатых колес $Z_M = 275$	
Коэффициент длины контактных линий	Z_E	Для прямозубых передач: $Z_E = \sqrt{\frac{4 - \epsilon_d}{3}}$; для косозубых передач по черт.7 приложения I.	
Число циклов перемены напряжений N_{fi} за время действия t_i крутящего момента T_i при частоте вращения n_{fi}	N_{11}	$N_{fi} = 60 \cdot \alpha \cdot n_{fi} \cdot t_i$	
	N_{12}		
	N_{13}		
	N_{14}		
Эквивалентное число циклов перемены напряжений для шестерни	N_{HE1}	$N_{HE1} = \sum \left[\left(\frac{T_i}{T_{H1}} \right)^3 \cdot N_{fi} \right] \cdot \frac{1}{K_F}$	
Эквивалентное число циклов перемены напряжений для колеса	N_{HE2}	$N_{HE2} = \frac{N_{HE1}}{a \cdot u}$	
Расчетный крутящий момент на валу шестерни при расчете на контактную выносливость, Н·м	T_{H1}	Наибольший из числа подводимых к передаче, число циклов которого превышает $0,03 \cdot N_{HE1}$	
Окружная скорость, м/с	v	$v = \frac{\pi \cdot d_{\omega 1} \cdot n_{11}}{60000}$	
Коэффициент распределения нагрузки между зубьями	$K_{H\alpha}$	Для прямозубых передач $K_{H\alpha} = 1$, для косозубых передач по черт. 8 приложения I.	
Относительная ширина шестерни	ψ_{bd}	$\psi_{bd} = \frac{b_{\omega}}{d_{\omega 1}}$	

Наименование параметров	Обозначение	Расчетная зависимость	Значение
Коэффициент распределения нагрузки по ширине венца	$K_{H\beta}$	Приложение I, черт.9	
Коэффициент вида зубчатой передачи	δ_H	Приложение I, табл. I	
Коэффициент разности шагов шестерни и колеса	g_0	Приложение I, табл.2	
Коэффициент, учитывающий наличие колеса, насаженного на вал, рядом с шестерней	K_0	При отсутствии $-K_0 = I$; если насажено цилиндрическое колесо, то $K_0 = \frac{u}{2} \sqrt{\frac{u}{2}}$, если коническое, то $K_0 = u$	
Удельная окружная динамическая сила, Н/мм	W_{Hv}	$W_{Hv} = \delta_H \cdot g_0 \cdot v \cdot \sqrt{\frac{a_{\omega}}{u}} \cdot K_0$	
Динамическая добавка	ϑ_H	$\vartheta_H = \frac{W_{Hv} \cdot v_{\omega} \cdot d_{\omega 1}}{2000 \cdot T_{H1} \cdot K_{H\alpha} \cdot K_{H\beta}}$	
Коэффициент динамичности	K_{Hv}	$K_{Hv} = 1 + \vartheta_H$	
Удельная расчетная окружная сила, Н/мм	W_{Ht}	$W_{Ht} = \frac{2000 \cdot T_{H1}}{v_{\omega} \cdot d_{\omega 1}} \cdot K_{H\alpha} \cdot K_{H\beta} \cdot K_{Hv}$	
Расчетное контактное напряжение, МПа	σ_H	$\sigma_H = Z_H \cdot Z_M \cdot Z_E \cdot \sqrt{\frac{W_{Ht}}{d_{\omega 1}} \cdot \frac{(u \pm 1)}{u}}$	
Средняя величина базового предела контактной выносливости, МПа	$\sigma_{H\beta m \beta 1}$	Приложение I, табл.3	
	$\sigma_{H\beta m \beta 2}$		
Коэффициент шероховатости	Z_R	Приложение I, табл.4	
Скоростной коэффициент	Z_v	При $v \leq 5$ м/с $Z_v = I$; при $v > 5$ м/с по черт.10 приложения I.	
Коэффициент размеров	K_{HN}	Приложение I, черт.11	

Наименование параметров	Обозначение	Расчетная зависимость	Значение
Базовое число циклов перемены напряжений	N_{H01}	Приложение I, черт. I2	
	N_{H02}		
Отношение базового числа циклов к эквивалентному	—	$\frac{N_{H0}}{N_{HE}}$	
Коэффициент среднего ресурса	$K_{HЛ1}$	$K_{HЛ} = \sqrt[6]{\frac{N_{H0}}{N_{HE}}}$ При $\frac{N_{H0}}{N_{HE}} < I$ принимать $K_{HЛ} = I$.	
	$K_{HЛ2}$	Предельные значения: $K_{HЛ} \leq 2,6$ — при объемном упрочнении $K_{HЛ} \leq 1,8$ — при поверхностном упрочнении	
Средняя величина предела контактной выносливости, МПа	$\bar{\sigma}_{HP1}$	$\bar{\sigma}_{HP} = \bar{\sigma}_{HЛтв} \cdot Z_R \cdot Z_V \cdot K_{TN} \cdot K_{HЛ}$	
	$\bar{\sigma}_{HP2}$		
Коэффициент вариации базового предела контактной выносливости	$\mathcal{U}_{\bar{\sigma}_{HЛтв}}$	Приложение I, табл. 5	
Коэффициент вариации коэффициента среднего ресурса	$\mathcal{U}_{K_{HЛ1}}$	При $K_{HЛ} \leq I$ $\mathcal{U}_{K_{HЛ}} = 0$; при $K_{HЛ} > I$ $\mathcal{U}_{K_{HЛ}} = 0,05$	
	$\mathcal{U}_{K_{HЛ2}}$		
Квадрат коэффициента вариации предела контактной выносливости	$\mathcal{U}_{\bar{\sigma}_{HP1}}^2$	$\mathcal{U}_{\bar{\sigma}_{HP}}^2 = \mathcal{U}_{\bar{\sigma}_{HЛтв}}^2 + \mathcal{U}_{K_{HЛ}}^2$	
	$\mathcal{U}_{\bar{\sigma}_{HP2}}^2$		
Дисперсия предела контактной выносливости, МПа ²	$D_{\bar{\sigma}_{HP1}}$	$D_{\bar{\sigma}_{HP}} = \bar{\sigma}_{HP}^2 \cdot \mathcal{U}_{\bar{\sigma}_{HP}}^2$	
	$D_{\bar{\sigma}_{HP2}}$		
Коэффициент вариации нагрузки	\mathcal{U}_{TN1}	Приложение I, табл. 6	
Коэффициент вариации коэффициента распределения нагрузки между зубьями	$\mathcal{U}_{K_{HЛ}}$	$\mathcal{U}_{K_{HЛ}} = \frac{K_{HЛ} - 1}{3 K_{HЛ}}$	

Наименование параметров	Обозначение	Расчетная зависимость	Значение
Коэффициент вариации коэффициента распределения нагрузки по ширине венца	$\sigma_{КНВ}$	$\sigma_{КНВ} = \frac{S+1}{10} \cdot \frac{К_{НВ} - 1,05}{\bar{J}_{КНВ}}$ где S - степень точности	
Коэффициент вариации динамического коэффициента	$\sigma_{КНУ}$	$\sigma_{КНУ} = \frac{К_{НУ} - 1}{\bar{J}_{КНУ}}$	
Квадрат коэффициента вариации контактного напряжения	$\sigma_{БН}^2$	$\sigma_{БН}^2 = \frac{1}{4} (\sigma_{ГН1}^2 + \sigma_{КНк}^2 + \sigma_{КНВ}^2 + \sigma_{КНУ}^2 + \sigma_{КНк} \cdot \sigma_{КНВ} + \sigma_{КНк} \cdot \sigma_{КНУ} + \sigma_{КНВ} \cdot \sigma_{КНУ})$	
Дисперсия контактного напряжения, МПа ²	$D_{БН}$	$D_{БН} = \sigma_{БН}^2 \cdot \sigma_{БН}^2$	
Квантиль распределения разности напряжений	$u_{Н1}$	$u_{Н} = \frac{\bar{\sigma}_{НР} - \bar{\sigma}_{Н}}{\sqrt{D_{БНР} + D_{БН}}} > 0$	
	$u_{Н2}$		
Вероятность обеспечения ресурса, %	$\gamma_{Н1}$	Приложение I, табл. II	
	$\gamma_{Н2}$		

Вывод: $\gamma_{Н1} =$ $\gamma =$

$\gamma_{Н2} =$ $\gamma =$

1.4. Определение вероятности обеспечения заданного ресурса по критерию усталостной поломки зуба от изгиба

Таблица 5

Наименование параметров	Обозначение	Расчетная зависимость	Значение
Расчетный крутящий момент на валу шестерни при расчете на выносливость при изгибе, Н·м	T_{F1}	Наибольший из числа подводимых к передаче, число циклов действия которого превышает $5 \cdot 10^4$ (приложение I, черт. I).	
Коэффициент распределения нагрузки между зубьями	$K_{F\alpha}$	Для прямозубых передач $K_{F\alpha} = I$; для косозубых: при $\varepsilon_{\beta} \leq 1$ $K_{F\alpha} = I$, при $\varepsilon_{\beta} > 1$ $K_{F\alpha} = \frac{4 + (\varepsilon_{\alpha} - 1)(S - 5)}{4 \cdot \varepsilon_{\alpha}}$ где S - степень точности	
Коэффициент распределения нагрузки по ширине венца	$K_{F\beta}$	Приложение I, черт. I3	
Коэффициент вида зубчатой передачи	δ_F	Для прямых зубьев $\delta_F = 0,016$; для косых - $\delta_F = 0,006$	
Удельная окружная динамическая сила, Н/мм	W_{Fv}	$W_{Fv} = \frac{\delta_F}{\delta_H} \cdot W_{Hv}$	
Динамическая добавка	\mathcal{V}_F	$\mathcal{V}_F = \frac{W_{Fv} \cdot \delta_{\omega} \cdot a_{\omega 1}}{2000 \cdot T_{F1} \cdot K_{F\alpha} \cdot K_{F\beta}}$	
Коэффициент динамичности	K_{Fv}	$K_{Fv} = 1 + \mathcal{V}_F$	
Эквивалентное число зубьев	Z_{v1}	$Z_v = \frac{Z}{\cos^3 \beta}$	
	Z_{v2}		
Коэффициент формы зуба	Y_{F1}	Приложение I, для колес с внешними зубьями по черт. I4, для колес с внутренними зубьями по черт. I5	
	Y_{F2}		
Коэффициент наклона зуба	Y_{β}	Для косозубых передач $Y_{\beta} = 1 - \frac{\beta}{140}$ где β - в градусах; для прямозубых - $Y_{\beta} = I$.	

Наименование параметров	Обозначение	Расчетная зависимость	Значение
Напряжение изгиба на шестерне, МПа	σ_{F1}	$\sigma_{F1} = \frac{2000 T_{F1} K_{FL} K_{FB} K_{FV}}{b_w \cdot d_w \cdot m} Y_{F1} Y_B$	
Напряжение изгиба на колесе, МПа	σ_{F2}	$\sigma_{F2} = \frac{\sigma_{F1} \cdot Y_{F2}}{Y_{F1}}$	
Средняя величина базового предела выносливости, МПа	σ_{FLmB1}	Приложение I, табл. 7	
	σ_{FLmB2}		
Коэффициент влияния амплитуд напряжений противоположного знака	R_{FC1}	Приложение I, табл. 8	
	R_{FC2}		
Коэффициент реверсивности	K_{FC1}	$K_{FC} = 1 - R_{FC} \frac{T_1' \cdot t'}{T_{F1} \cdot t}$	
	K_{FC2}		
Показатель кривой усталости	m_{F1}	Приложение I, табл. 9	
	m_{F2}		
Базовое число циклов перемены напряжений	N_{F0}	$N_{F0} = 4 \cdot 10^6$	
Эквивалентное число циклов	N_{FE1}	$N_{FE} = \sum \left[\left(\frac{T_{Fi}}{T_{11}} \right)^{m_F} \cdot N_i \right] \cdot \frac{1}{K_F}$	
	N_{FE2}		
Отношение базового числа к эквивалентному числу циклов	—	$\frac{N_{F0}}{N_{FE}} = \frac{4 \cdot 10^6}{N_{FE}}$	
	—		
Коэффициент среднего ресурса	K_{FL1}	$K_{FL} = \sqrt{\frac{N_{F0}}{N_{FE}}}$ При $\frac{N_{F0}}{N_{FE}} < 1$ принимать $K_{FL} = 1$. Предельные значения: $K_{FL} \leq 1,63$ - при $m_F = 9$ $K_{FL} \leq 2,0$ - при $m_F = 6$	
	K_{FL2}		
Коэффициент чувствительности материала	Y_S	Приложение I, черт. 16	

Продолжение табл. 5

Наименование параметров	Обозначение	Расчетная зависимость	Значение
Коэффициент размеров	K_{xF_1}	Приложение I, черт. I7	
	K_{xF_2}		
Средняя величина предела выносливости, МПа	σ_{FP_1}	$\sigma_{FP} = \sigma_{F_{limb}} \cdot K_{FL} \cdot K_{FL} \cdot U_S \cdot K_{xF}$	
	σ_{FP_2}		
Коэффициент вариации базового предела выносливости	$U_{\sigma_{F_{limb}}}$	Приложение I, табл. I0	
Коэффициент вариации коэффициента среднего ресурса	$U_{K_{FL_1}}$	При $K_{FL} \leq 1$ $U_{K_{FL}} = 0$; при $K_{FL} > 1$ $U_{K_{FL}} = 0,05$	
	$U_{K_{FL_2}}$		
Квадрат коэффициента вариации предела выносливости	$U_{\sigma_{FP_1}}^2$	$U_{\sigma_{FP}}^2 = U_{\sigma_{F_{limb}}}^2 + U_{K_{FL}}^2$	
	$U_{\sigma_{FP_2}}^2$		
Дисперсия предела выносливости, МПа ²	$D_{\sigma_{FP_1}}$	$D_{\sigma_{FP}} = \sigma_{FP}^2 \cdot U_{\sigma_{FP}}^2$	
	$D_{\sigma_{FP_2}}$		
Коэффициент вариации нагрузки	U_{TF_1}	Приложение I, табл. 6	
Коэффициент вариации коэффициента распределения нагрузки между зубьями	$U_{K_{FL}}$	$U_{K_{FL}} = \frac{K_{FL} - 1}{3 K_{FL}}$	
Коэффициент вариации коэффициента распределения нагрузки по ширине венца	$U_{K_{F\beta}}$	$U_{K_{F\beta}} = \frac{S+1}{10} \cdot \frac{K_{F\beta} - 1,05}{3 \cdot K_{F\beta}}$ где S - степень точности	
Коэффициент вариации динамического коэффициента	$U_{K_{FV}}$	$U_{K_{FV}} = \frac{K_{FV} - 1}{3 K_{FV}}$	

Продолжение табл.5

Наименование параметров	Обоз- наче- ние	Расчетная зависимость	Значение
Квадрат коэффициента вариации напряжения изгиба	$\mathcal{V}_{\sigma F}^2$	$\mathcal{V}_{\sigma F}^2 = \frac{1}{4} (\mathcal{V}_{TF1}^2 + \mathcal{V}_{KF\alpha}^2 + \mathcal{V}_{KF\beta}^2 + \mathcal{V}_{KF\gamma}^2 + \mathcal{V}_{KF\delta}^2 + \mathcal{V}_{KF\epsilon}^2 + \mathcal{V}_{KF\zeta}^2 + \mathcal{V}_{KF\eta}^2 + \mathcal{V}_{KF\theta}^2 + \mathcal{V}_{KF\iota}^2 + \mathcal{V}_{KF\kappa}^2 + \mathcal{V}_{KF\lambda}^2 + \mathcal{V}_{KF\mu}^2 + \mathcal{V}_{KF\nu}^2 + \mathcal{V}_{KF\omega}^2 + \mathcal{V}_{KF\phi}^2 + \mathcal{V}_{KF\chi}^2 + \mathcal{V}_{KF\psi}^2 + \mathcal{V}_{KF\omicron}^2 + \mathcal{V}_{KF\pi}^2 + \mathcal{V}_{KF\rho}^2 + \mathcal{V}_{KF\sigma}^2 + \mathcal{V}_{KF\tau}^2 + \mathcal{V}_{KF\upsilon}^2 + \mathcal{V}_{KF\phi}^2 + \mathcal{V}_{KF\chi}^2 + \mathcal{V}_{KF\psi}^2 + \mathcal{V}_{KF\omicron}^2 + \mathcal{V}_{KF\pi}^2 + \mathcal{V}_{KF\rho}^2 + \mathcal{V}_{KF\sigma}^2 + \mathcal{V}_{KF\tau}^2 + \mathcal{V}_{KF\upsilon}^2)$	
Дисперсия напряжения изгиба шестерни, МПа ²	$D_{\sigma F1}$	$D_{\sigma F1} = \sigma_{F1}^2 \cdot \mathcal{V}_{\sigma F}^2$	
Дисперсия напряжения изгиба колеса, МПа ²	$D_{\sigma F2}$	$D_{\sigma F2} = \sigma_{F2}^2 \cdot \mathcal{V}_{\sigma F}^2$	
Квантиль распределения разности напряжений	u_{F1}	$u_F = \frac{\sigma_{FP} - \sigma_F}{\sqrt{D_{\sigma FP} + D_{\sigma F}}}$	
	u_{F2}		
Вероятность обеспечения ресурса, %	γ_{F1}	Приложение I, табл. II	
	γ_{F2}		

Вывод: $\gamma_{F1} = \gamma =$

$\gamma_{F2} = \gamma =$

2. Расчет конических зубчатых передач
на долговечность

2.1. Исходные данные

Таблица 6

Наименование параметров		Обозначение	Значение
Число зубьев	шестерни	Z_1	
	колеса	Z_2	
Внешний окружной модуль, мм		m_{te}	
Средний угол наклона делительной линии зуба, градус		β	
Коэффициент смещения	шестерни	x_1	
	колеса	x_2	
Ширина зубчатого венца, мм		b	
Первая ступень нагружения шестерни	Крутящий момент, Н·м	T_{11}	
	Частота вращения, мин ⁻¹	n_{11}	
	Время действия момента, ч	t_1	
Вторая ступень	То же	T_{12}	
		n_{12}	
		t_2	
Третья ступень	То же	T_{13}	
		n_{13}	
		t_3	
Четвертая ступень	То же	T_{14}	
		n_{14}	
		t_4	
Гамма-процентный ресурс, ч		T_{pr}	
Заданная вероятность обеспечения, %		γ	
Коэффициент (отношение среднего к гамма-процентному ресурсу при заданном законе распределения ресурса)		K_γ	

Продолжение табл. 6

Наименование параметров	Обозначение	Значение
Наибольший длительно действующий крутящий момент на реверсируемом валу шестерни, Н·м	T_1'	
Время работы передачи при реверсе, ч	t'	
Степень точности по нормам плавности по ГОСТ 1643-78	S'	
Класс шероховатости по ГОСТ 2789-73	—	
*) Условия работы передачи (стабильные, изменяющиеся)	—	
Степень нагруженности передачи (средняя, максимальная)	—	
Марка стали	шестерни	—
	колеса	—
Способ термобработки	шестерни	—
	колеса	—
**) Твердость поверхности зубьев (средняя), HB или HRC	шестерни	H_1
	колеса	H_2
Твердость сердцевины зубьев (средняя), HB или HRC	шестерни	H_1'
	колеса	H_2'

*) Условия работы принимаются стабильными в случае постоянства крутящего момента, а также при кратковременных его изменениях.

**) Соотношение между значениями твердости, выраженными в единицах HB и HRC, приведено на черт. 2 приложения I.

2.2. Определение вероятности обеспечения заданного ресурса по критерию усталостного выкрашивания

Таблица 7

Наименование параметров	Обозначение	Расчетная зависимость	Значение
Передаточное число	u	$u = \frac{z_2}{z_1}$	
Вспомогательный параметр	—	$\frac{x_1 + x_2}{z_1 + z_2}$	
Коэффициент формы поверхности	Z_H	Приложение I, черт.6	
Коэффициент свойств материалов, МПа ^{1/2}	Z_M	Для стальных зубчатых колес $Z_M = 275$	
Угол делительного конуса шестерни, градус	δ_1	$\delta_1 = \arctg \frac{z_1}{z_2}$	
Угол делительного конуса колеса, градус	δ_2	$\delta_2 = 90^\circ - \delta_1$	
Биеквивалентное число зубьев	$\frac{z_{v1}}{z_{v2}}$	Приложение I, табл. I2	
Коэффициент торцевого перекрытия	ϵ_α	$\epsilon_\alpha = [1,88 - 3,2 (\frac{1}{z_{v1}} + \frac{1}{z_{v2}})] \cos \beta$	
Коэффициент длины контактных линий	Z_ϵ	Приложение I, табл. I2	
Внешнее конусное расстояние, мм	R_e	$R_e = \frac{m_{te} \cdot z_1}{2 \sin \delta_1}$	
Средний окружной модуль, мм	m_{tm}	$m_{tm} = m_{te} (1 - \frac{b}{2R_e})$	
Средний делительный диаметр шестерни, мм	d_{m1}	$d_{m1} = z_1 \cdot m_{tm}$	
Окружная скорость на среднем делительном диаметре, м/с	v_m	$v_m = \frac{\pi \cdot d_{m1} \cdot n_1}{60 \cdot 1000}$	

Продолжение табл.7

Наименование параметров	Обозначение	Расчетная зависимость	Значение
Коэффициент распределения нагрузки между зубьями	$K_{H\alpha}$	Для прямозубых передач $K_{H\alpha} = 1$; для передач с косыми и круговыми зубьями по черт.8 приложения I.	
Коэффициент ширины зубчатого венца	$K_{\beta e}$	$K_{\beta e} = \frac{\beta}{R_e}$	
Относительная ширина эквивалентного конического колеса	—	$\frac{K_{\beta e} \cdot u}{2 - K_{\beta e}}$	
Коэффициент распределения нагрузки по ширине венца	$K_{H\beta}$	Приложение I, табл.13	
Коэффициент вида зубчатой передачи	δ_H	Приложение I, табл.1	
Коэффициент разности шагов шестерни и колеса	g_0	Приложение I, табл.2	
Удельная окружная динамическая сила, Н/мм	$w_{H\alpha}$	$w_{H\alpha} = \delta_H g_0 v_m \sqrt{\frac{R_e - 0,5\beta}{u}}$	
Динамическая добавка	γ_H	$\gamma_H = \frac{w_{H\alpha} \cdot d_{m1} \cdot \beta}{2000 T_H K_{H\alpha} \cdot K_{H\beta}}$	
Коэффициент динамичности	$K_{H\alpha}$	$K_{H\alpha} = 1 + \gamma_H$ Для передач с круговым зубом по табл.13 приложения I.	
Число циклов переменны напряжений N_{fi} за время действия t_i крутящего момента T_i при частоте вращения n_{fi}	N_{f1}	$N_{fi} = 60 \cdot n_{fi} \cdot t_i$	
	N_{f2}		
	N_{f3}		
	N_{f4}		
Эквивалентное число циклов переменны напряжений для шестерни	N_{HE1}	$N_{HE1} = \sum_0^k \left[\left(\frac{T_{fi}}{T_H} \right)^3 \cdot N_{fi} \right] \cdot \frac{1}{K_{\gamma}}$	

Наименование параметров	Обозначение	Расчетная зависимость	Значение
Расчетный крутящий момент на валу шестерни при расчете на контактную выносливость, Н·м	T_{H1}	Наибольший из числа подводимых к передаче, число циклов которого превышает $0,03 \cdot N_{HE1}$	
Удельная расчетная окружная сила, Н/мм	ω_{Ht}	$\omega_{Ht} = \frac{2000 \cdot T_{H1}}{\delta \cdot d_{m1}} \cdot K_{Hd} \cdot K_{H\beta} \cdot K_{H\alpha}$	
Расчетное контактное напряжение, МПа	σ_H	$\sigma_H = Z_H Z_M Z_\varepsilon \sqrt{\frac{\omega_{Ht} \sqrt{u^2 + 1}}{0,85 d_{m1} \cdot u}}$	
Средняя величина базового предела контактной выносливости, МПа	σ_{Hlimb1}	Приложение I, табл.3	
	σ_{Hlimb2}		
Коэффициент шероховатости	Z_R	Приложение I, табл.4	
Скоростной коэффициент	Z_V	При $v \leq 5$ м/с $Z_V = I$; при $v > 5$ м/с по черт.10 приложения I.	
Коэффициент размеров	K_{HN}	Приложение I, черт.11	
Базовое число циклов перемены напряжений	N_{H01}	Приложение I, черт.12	
	N_{H02}		
Отношение базового числа циклов к эквивалентному	—	$\frac{N_{H0}}{N_{HE}}$	
Коэффициент среднего ресурса	K_{HL1}	При $\frac{N_{H0}}{N_{HE}} < I$ принимать $K_{HL} = I$. Предельные значения K_{HL} : $K_{HL} \leq 2,6$ - при объемном упрочнении, $K_{HL} \leq 1,8$ - при поверхностном упрочнении	
	K_{HL2}		
Средняя величина предела контактной выносливости, МПа	σ_{HFP1}	$\sigma_{HP} = \sigma_{Hlimb} \cdot Z_R \cdot Z_V \cdot K_{HN} \cdot K_{HL}$	
	σ_{HFP2}		

Продолжение табл.7

Наименование параметров	Обозначение	Расчетная зависимость	Значение
Коэффициент вариации базового предела контактной выносливости	$\sigma_{бн\delta mb}$	Приложение I, табл.5	
Коэффициент вариации коэффициента среднего ресурса	$\sigma_{кнл1}$	При $K_{нл} \leq I$ $\sigma_{кнл} = 0$; при $K_{нл} > I$ $\sigma_{кнл} = 0,05$	
	$\sigma_{кнл2}$		
Квадрат коэффициента вариации предела контактной выносливости	$\sigma_{бнр1}^2$	$\sigma_{бнр}^2 = \sigma_{бн\delta mb}^2 + \sigma_{кнл}^2$	
	$\sigma_{бнр2}^2$		
Дисперсия предела контактной выносливости, МПа ²	$D_{бнр1}$	$D_{бнр} = \sigma_{бнр}^2 \cdot \sigma_{бнр}^2$	
	$D_{бнр2}$		
Коэффициент вариации нагрузки	$\sigma_{гнн}$	Приложение I, табл.6	
Коэффициент вариации коэффициента распределения нагрузки между зубьями	$\sigma_{кнд}$	$\sigma_{кнд} = \frac{K_{нд} - 1}{3K_{нд}}$	
Коэффициент вариации коэффициента распределения нагрузки по ширине венца	$\sigma_{кнв}$	$\sigma_{кнв} = \frac{S+1}{10} \cdot \frac{K_{нв} - 1,05}{3K_{нв}}$ где S - степень точности	
Коэффициент вариации динамического коэффициента	$\sigma_{кндг}$	$\sigma_{кндг} = \frac{K_{ндг} - 1}{3K_{ндг}}$	
Квадрат коэффициента вариации контактного напряжения	$\sigma_{бн}^2$	$\sigma_{бн}^2 = \frac{1}{4} (\sigma_{гнн}^2 + \sigma_{кнд}^2 + \sigma_{кнв}^2 + \sigma_{кндг}^2 + \sigma_{кнд} \cdot \sigma_{кнв} + \sigma_{кнд} \cdot \sigma_{кндг} + \sigma_{кнв} \cdot \sigma_{кндг})$	

Продолжение табл.7

Наименование параметров	Обозначение	Расчетная зависимость	Значение
Дисперсия контактного напряжения, МПа ²	D_{σ_H}	$D_{\sigma_H} = \sigma_H^2 \cdot \gamma_{\sigma_H}^2$	
Квантиль распределения разности напряжений	u_{H1}	$u_H = \frac{\sigma_{HP} - \sigma_H}{\sqrt{D_{\sigma_{HP}} + D_{\sigma_H}}} > 0$	
	u_{H2}		
Вероятность обеспечения ресурса, %	γ_{H1}	Приложение I, табл. II	
	γ_{H2}		

Вывод: $\gamma_{H1} = \gamma =$

$\gamma_{H2} = \gamma =$

2.3. Определение вероятности обеспечения заданного ресурса по критерию усталостной поломки зуба от изгиба

Таблица 8

Наименование параметров	Обозначение	Расчетная зависимость	Значение
Расчетный крутящий момент на валу шестерни при расчете на выносливость при изгибе, Н·м	T_{F1}	Наибольший из числа подводимых к передаче, число циклов действия которого превышает $5 \cdot 10^4$ (приложение I, черт. I)	
Коэффициент распределения нагрузки между зубьями	$K_{F\alpha}$	Для прямозубых передач $K_{F\alpha} = 1$, для передач с косыми и круговыми зубьями $K_{F\alpha} = \frac{4 + (\varepsilon_{\alpha} - 1)(S - 5)}{4 \cdot \varepsilon_{\alpha}}$	
Коэффициент распределения нагрузки по ширине венца	$K_{F\beta}$	$K_{F\beta} = K_{H\beta}$	
Коэффициент вида зубчатой передачи	δ_F	$\delta_F = 0,016$ - для прямозубой передачи, $\delta_F = 0,006$ - для косозубой и с круговым зубом	
Удельная окружная динамическая сила, Н·м	$\omega_{F\sigma}$	$\omega_{F\sigma} = \frac{\delta_F}{\delta_H} \omega_{H\sigma}$	
Динамическая добавка	ν_F	$\nu_F = \frac{\omega_{F\sigma} \cdot b \cdot d_{m1}}{2000 \cdot T_{F1} \cdot K_{F\alpha} \cdot K_{F\beta}}$	
Коэффициент динамичности	$K_{F\sigma}$	$K_{F\sigma} = 1 + \nu_F$	
Коэффициент наклона зуба	y_{β}	$y_{\beta} = 1$ - для прямозубой передачи, $y_{\beta} = 1 - \frac{\beta}{140}$ - для косозубой и с круговым зубом, где β - в градусах	
Коэффициент формы зуба	y_{F1}	Приложение I, черт. I4 (выбирается в зависимости от Z_v и x)	
	y_{F2}		

Продолжение табл.8

Наименование параметров	Обозначение	Расчетная зависимость	Значение
Средний нормальный модуль	m_{nm}	$m_{nm} = m_{te} (1 - 0,5 K_{\beta e}) \cos \beta$	
Напряжение изгиба на шестерне, МПа	σ_{F1}	$\sigma_{F1} = \frac{2000 T_{F1} K_{F\alpha} K_{F\beta} Y_{\beta} Y_{F1}}{0,85 \cdot d_{m1} \cdot b \cdot m_{nm}}$	
Напряжение изгиба на колесе, МПа	σ_{F2}	$\sigma_{F2} = \frac{\sigma_{F1} \cdot Y_{F2}}{Y_{F1}}$	
Средняя величина базового предела выносливости, МПа	σ_{FLmb1}	Приложение I, табл.7	
	σ_{FLmb2}		
Коэффициент влияния амплитуд напряжений противоположного знака	R_{FC1}	Приложение I, табл.8	
	R_{FC2}		
Коэффициент реверсивности	K_{FC1}	$K_{FC} = 1 - R_{FC} \frac{T_1' \cdot t'}{T_{F1} \cdot t}$	
	K_{FC2}		
Показатель кривой усталости	m_{F1}	Приложение I, табл.9	
	m_{F2}		
Базовое число циклов перемены напряжений	N_{F0}	$N_{F0} = 4 \cdot 10^6$	
Эквивалентное число циклов	N_{FE1}	$N_{FE} = \sum \left[\left(\frac{T_{i1}}{T_{H1}} \right)^{m_F} \cdot N_i \right] \cdot \frac{1}{K_{\gamma}}$	
	N_{FE2}		
Отношение базового числа к эквивалентному числу циклов	—	$\frac{N_{F0}}{N_{FE}} = \frac{4 \cdot 10^6}{N_{FE}}$	
	—		
Коэффициент среднего ресурса	K_{FL1}	$K_{FL} = \sqrt{\frac{m_F N_{F0}}{N_{FE}}}$	
	K_{FL2}	При $\frac{N_{F0}}{N_{FE}} < 1$ принимать $K_{FL} = 1$. Предельные значения: $K_{FL} \leq 1,63$ — при $m_F = 9$ $K_{FL} \leq 2,0$ — при $m_F = 6$	

Продолжение табл. 8

Наименование параметров	Обозначение	Расчетная зависимость	Значение
Коэффициент чувствительности материала	Y_s	Приложение I, черт. I6	
Коэффициент размеров	K_{XF1}	Приложение I, черт. I7	
	K_{XF2}		
Средняя величина предела выносливости, МПа	σ_{FP1}	$\sigma_{FP} = \sigma_{F_{limb}} \cdot K_{FC} \cdot K_{FL} \cdot Y_s \cdot K_{XF}$	
	σ_{FP2}		
Коэффициент вариации базового предела выносливости	$\sigma_{GF_{limb}}$	Приложение I, табл. I0	
Коэффициент вариации коэффициента среднего ресурса	$\sigma_{K_{FL1}}$	При $K_{FL} \leq 1$ $\sigma_{K_{FL}} = 0$; при $K_{FL} > 1$ $\sigma_{K_{FL}} = 0,05$	
	$\sigma_{K_{FL2}}$		
Квадрат коэффициента вариации предела выносливости	σ_{GFP1}^2	$\sigma_{GFP}^2 = \sigma_{GF_{limb}}^2 + \sigma_{K_{FL}}^2$	
	σ_{GFP2}^2		
Дисперсия предела выносливости, МПа ²	D_{GFP1}	$D_{GFP} = \sigma_{FP}^2 \cdot \sigma_{GFP}^2$	
	D_{GFP2}		
Коэффициент вариации нагрузки	σ_{TF1}	Приложение I, табл. 6	
Коэффициент вариации коэффициента распределения нагрузки между зубьями	$\sigma_{K_{Fd}}$	$\sigma_{K_{Fd}} = \frac{K_{Fd} - 1}{\sqrt{K_{Fd}}}$	
Коэффициент вариации коэффициента распределения нагрузки по ширине венца	$\sigma_{K_{F\beta}}$	$\sigma_{K_{F\beta}} = \frac{S+1}{10} \cdot \frac{K_{F\beta} - 1,05}{\sqrt{K_{F\beta}}}$	

где S - степень точности

Наименование параметров	Обозначение	Расчетная зависимость	Значение
Коэффициент вариации динамического коэффициента	\mathcal{U}_{KFV}	$\mathcal{U}_{KFV} = \frac{K_{FV} - 1}{3K_{FV}}$	
Квадрат коэффициента вариации напряжения изгиба	\mathcal{U}_{GF}^2	$\mathcal{U}_{GF}^2 = \frac{1}{4} (\mathcal{U}_{TF1}^2 + \mathcal{U}_{KFA}^2 + \mathcal{U}_{KFB}^2 + \mathcal{U}_{KFD}^2 + \mathcal{U}_{KFA} \cdot \mathcal{U}_{KFB} + \mathcal{U}_{KFA} \cdot \mathcal{U}_{KFD} + \mathcal{U}_{KFB} \cdot \mathcal{U}_{KFD})$	
Дисперсия напряжения изгиба шестерни, МПа ²	D_{GF1}	$D_{GF1} = \sigma_{F1}^2 \cdot \mathcal{U}_{GF}^2$	
Дисперсия напряжения изгиба колеса, МПа ²	D_{GF2}	$D_{GF2} = \sigma_{F2}^2 \cdot \mathcal{U}_{GF}^2$	
Квантиль распределения разности напряжений	u_{F1}	$u_F = \frac{\sigma_{FP} - \sigma_F}{\sqrt{D_{GF1} + D_{GF2}}}$	
	u_{F2}		
Вероятность обеспечения ресурса, %	γ_{F1}	Приложение I, табл. II	
	γ_{F2}		


Вывод: $\gamma_{F1} = \gamma =$

$\gamma_{F2} = \gamma =$

3. Расчет вала на долговечность

3.1. Схема нагружения вала и эпюры моментов

Таблица 9

Наименование	Схема
Эскиз вала	
Расчетная схема вала	
Эпора суммарных изгибающих моментов от усилий, действующих в горизонтальной и вертикальной плоскостях	
Эпора крутящих моментов	

3.2. Исходные данные

Таблица 10

Наименование исходных данных		Обозначение	Значение
Диаметр заготовки вала, мм		D_3	
Марка стали (приложение I, табл. I4)		—	
твердость, HB		H	
предел прочности, МПа		σ_B	
предел текучести при изгибе, МПа		σ_T	
предел текучести при кручении, МПа		τ_T	
предел выносливости при изгибе, МПа		σ_{-1}	
предел выносливости при кручении, МПа		τ_{-1}	
Первая ступень нагружения	Крутящий момент, Н·м	T_1	
	Частота вращения, мин ⁻¹	n_1	
	Время действия момента, ч	t_1	
Вторая ступень	Крутящий момент, Н·м	T_2	
	Частота вращения, мин ⁻¹	n_2	
	Время действия момента, ч	t_2	
Третья ступень	Крутящий момент, Н·м	T_3	
	Частота вращения, мин ⁻¹	n_3	
	Время действия момента, ч	t_3	
Четвертая ступень	Крутящий момент, Н·м	T_4	
	Частота вращения, мин ⁻¹	n_4	
	Время действия момента, ч	t_4	
Гамма-процентный ресурс, ч		$T_{p\gamma}$	
Заданная вероятность обеспечения, %		γ	
Коэффициент (отношение среднего к гамма-процентному ресурсу при заданном законе распределения ресурса)		K_γ	

3.3. Определение вероятности обеспечения заданного ресурса по критерию усталости

Таблица II

Наименование параметров	Обозначение	Расчетная зависимость	Опасные сечения вала			
Расчетный диаметр опасного сечения, мм	D	По чертежу вала				
Момент сопротивления, см ³ : изгибу	W_u	Приложение I, табл.15				
	W_K					
Число циклов перемены напряжений (N_i) за время действия (t_i) крутящего момента (T_i) при частоте вращения n_i	N_1	$N_i = 60 \cdot n_i \cdot t_i$				
	N_2					
	N_3					
	N_4					
Расчетный крутящий момент, Н·м	T_{FE}	Наибольший из числа подводимых к валу, число действия которого превышает $5 \cdot 10^4$				
Изгибающий момент в опасных сечениях, определенный по расчетному крутящему моменту, Н·м	M_{FE}	Принимается по эпюре изгибающих моментов				
Нормальные напряжения в опасных сечениях, МПа	σ	$\sigma = \frac{M_{FE}}{W_u}$				
Касательные напряжения в опасных сечениях, МПа	τ	$\tau = \frac{T_{FE}}{W_K}$				

Продолжение табл. II

Наименование параметров	Обозначение	Расчетная зависимость	Опасные сечения вала			
Вид концентратора (напрессовка, галтель, выточка, шпонка, шлицы и др.)	—	По чертежу вала				
Эффективные коэффициенты концентрации напряжений, кроме сечений с посаженными деталями при изгибе	K_{σ}	Приложение I, табл. 16, 17 и 18				
	при кручении K_{τ}					
Коэффициент влияния абсолютных размеров поперечного сечения: при изгибе	$K_{d\sigma}$	Приложение I, табл. 19				
	при кручении $K_{d\tau}$					
Коэффициент влияния шероховатости при изгибе	$K_{n\sigma}$	Приложение I, табл. 20				
Коэффициент влияния шероховатости при кручении	$K_{n\tau}$	$K_{n\tau} = 0,575 K_{n\sigma} + 0,425$				
Коэффициент концентрации при изгибе	$(K_{\sigma})_g$	$(K_{\sigma})_g = \frac{K_{\sigma}}{K_{d\sigma}} + \frac{1}{K_{n\sigma}} - 1$				
Коэффициент концентрации при кручении	$(K_{\tau})_g$	$(K_{\tau})_g = \frac{K_{\tau}}{K_{d\tau}} + \frac{1}{K_{n\tau}} - 1$				

Продолжение табл. II

Наименование параметров	Обозначение	Расчетная зависимость	Опасные сечения вала			
Коэффициент концентрации для сечений с посаженными деталями:		Приложение I, табл. 21				
	при изгибе		$(K_\sigma)_g$			
	при кручении	$(K_\tau)_g$				
Коэффициент влияния поверхностного упрочнения	K_σ	Приложение I, табл. 22				
Эквивалентное число циклов	N_{FE}	$N_{FE} = \sum_i \left[\left(\frac{T_i}{T_i} \right)^9 \cdot N_i \right] \cdot \frac{1}{K_Y}$				
Базовое число циклов переменн напряжений	N_{F0}	$N_{F0} = 10^7$				
Отношение базового числа циклов к эквивалентному	$\frac{N_{F0}}{N_{FE}}$	—				

Наименование параметров	Обозначение	Расчетная зависимость	Опасные сечения вала			
Коэффициент среднего ресурса	K_{FL}	$K_{FL} = \sqrt[3]{\frac{N_{FE}}{N_{FE}}}$ При $\frac{N_{FE}}{N_{FE}} < 1$ принимать $K_{FL} = 1$. Предельное значение $K_{FL} = 1,6$				
Предел выносливости вала при изгибе, МПа	$(\sigma_{-1})_g$	$(\sigma_{-1})_g = \frac{\sigma_{-1}}{(K_\sigma)_g} \cdot K_U \cdot K_{FL}$				
Предел выносливости вала при кручении, МПа	$(\tau_{-1})_g$	$(\tau_{-1})_g = \frac{\tau_{-1}}{(K_\tau)_g} \cdot K_U \cdot K_{FL}$				
Запас прочности при изгибе	n_σ	$n_\sigma = \frac{(\sigma_{-1})_g}{\sigma}$				
Коэффициент чувствительности к асимметрии напряжений	ψ_σ	$\psi_\sigma = 0,01 + 10^{-4} \sigma_B$				
Запас прочности при кручении	n_τ	$n_\tau = \frac{2 (\tau_{-1})_g}{\tau \left[1 + \frac{\psi_\tau}{(K_\tau)_g} \right]}$				
Эквивалентное напряжение, МПа	$\sigma_{экв}$	$\sigma_{экв} = \sigma \sqrt{1 + \left(\frac{n_\sigma}{n_\tau} \right)^2}$				
Коэффициент вариации предела выносливости материала	$U_{\sigma-1}$	$U_{\sigma-1} = 0,09 \dots 0,11$				
Коэффициент вариации коэффициента концентрации	$U_{(K_\sigma)_g}$	От напрессовки: $U_{(K_\sigma)_g} = 0,04$ от других видов концентраторов: $U_{(K_\sigma)_g} = 0,02$				

Продолжение табл. II

Наименование параметров	Обозначение	Расчетная зависимость	Опасные сечения вала			
Коэффициент вариации коэффициента упрочнения	U_{kv}	$U_{kv} = 0,12$; при отсутствии упрочнения - $U_{kv} = 0$.				
Квадрат коэффициента вариации коэффициента выносливости вала	$U_{(\sigma-1)g}^2$	$U_{(\sigma-1)g}^2 = U_{\sigma-1}^2 + U_{(k\sigma)D}^2 + U_{kv}^2 + U_{\sigma-1} \cdot U_{(k\sigma)g} + U_{(k\sigma)g} \cdot U_{kv}$				
Дисперсия предела выносливости, МПа ²	$D_{(\sigma-1)g}$	$D_{(\sigma-1)g} = (\sigma-1)g \cdot U_{(\sigma-1)g}^2$				
Коэффициент вариации эквивалентного напряжения	$U_{\sigma_{экв}}$	Приложение I, табл. 6				
Дисперсия эквивалентного напряжения, МПа ²	$D_{\sigma_{экв}}$	$D_{\sigma_{экв}} = \sigma_{экв}^2 \cdot U_{\sigma_{экв}}^2$				
Квантиль распределения разности напряжения	u_{γ}	$u_{\gamma} = \frac{(\sigma-1)g - \sigma_{экв}}{\sqrt{D_{(\sigma-1)g} + D_{\sigma_{экв}}}}$				
Вероятность обеспечения ресурса, %	γ_F	Приложение I, табл. II				

4. Расчет подшипников на долговечность

4.1. Определение вероятности обеспечения заданного ресурса подшипника
(Осевая нагрузка $F_a = 0$)

Таблица 12

Наименование параметров	Обозначение	Расчетная зависимость	Опора	
			I	II
Тип подшипника	—	Характеристика подшипника		
№ подшипника	—			
Динамическая грузоподъемность, Н	C			
Радиальная нагрузка, Н	F_r	Исходные данные		
Частота вращения, мин ⁻¹	n			
Гамма-процентный ресурс, ч	$T_{P\gamma}$			
Коэффициент вращения	V	$V = 1$ - вращается внутреннее кольцо; $V = 1,2$ - вращается наружное кольцо		
Коэффициент безопасности	K_δ	Приложение I, табл. 23		
Температурный коэффициент	K_T	Приложение I, табл. 24		
Эквивалентная динамическая нагрузка, Н	P	$P = F_r \cdot V \cdot K_\delta \cdot K_T$		
Степенной показатель	P	$P = 3$ - для шарикоподшипников; $P = 10/3$ - для роликоподшипников		
Десятипроцентный ресурс, ч	T_{P90}	$T_{P90} = \frac{(C/P)^P \cdot 10^6}{60 \cdot n}$		
Отношение	$T_{P90}/T_{P\gamma}$	$T_{P90}/T_{P\gamma}$		
Вероятность обеспечения ресурса, %	γ	Приложение I; черт. 18		

4.2. Определение вероятности обеспечения
заданного ресурса подшипника
(Осевая нагрузка $F_a \neq 0$)

Таблица 13

Наименование параметров	Обозначение	Расчетная зависимость	Опора	
			I	II
Тип подшипника	—	Характеристика подшипника		
№ подшипника	—			
Динамическая грузоподъемность, Н	C			
Коэффициент осевого нагружения	e			
Радиальная нагрузка, Н	F_r	Исходные данные		
Осевая нагрузка, Н	F_a			
Частота вращения, мин ⁻¹	n			
Гамма-процентный ресурс, ч	$T_{p\gamma}$			
Коэффициент вращения	V	$V = 1$ - вращается внутреннее кольцо; $V = 1,2$ - вращается наружное кольцо		
Коэффициент безопасности	K_δ	Приложение I, табл. 23		
Температурный коэффициент	K_T	Приложение I, табл. 24		
Осевая составляющая от радиальной нагрузки, Н	S'	$S' = e \cdot F_r$		
Расчетная осевая нагрузка, Н	F_{ap}	Приложение I, табл. 25 F_{apI} F_{apII}		

Продолжение табл. I3

Наименование параметров	Обозначение	Расчетная зависимость	Опора	
			I	II
Отношение	$\frac{F_{ap}}{F_r}$	$\frac{F_{ap}}{F_r}$		
Коэффициент радиальной нагрузки	X	Данные из каталога		
Коэффициент осевой нагрузки	Y			
Эквивалентная динамическая нагрузка, Н	P		$P = (V \cdot X \cdot F_r + Y \cdot F_{ap}) K \delta K_T$	
Степенной показатель	P	$P = 3$ - для шарикоподшипников; $P = 10/3$ - для роликоподшипников		
Десятисто-процентный ресурс, ч	T_{P90}	$T_{P90} = \frac{(\frac{C}{P})^p \cdot 10^6}{60 \cdot n}$		
Отношение	$\frac{T_{P90}}{T_{P97}}$	$\frac{T_{P90}}{T_{P97}}$		
Вероятность обеспечения ресурса подшипника, %	γ	Приложение I, черт.18		

5. Определение вероятности обеспечения заданного ресурса цепной передачи по критерию усталостной прочности пластин

Таблица I4

Наименование параметров	Обозначение	Расчетная зависимость	Значение
Обозначение цепи	—	Характеристика цепи по Гост И3568-75	
Шаг цепи, мм	t		
Статическая разрушающая нагрузка, Н	S		
Число зубьев ведущей звездочки	z_1	Исходные данные	
Число звеньев цепи	m		
Частота вращения ведущей звездочки, мин ⁻¹	n_1		
Окружная сила, Н	F_t		
Гамма-процентный ресурс, ч	$T_{p\gamma}$		
Заданная вероятность обеспечения ресурса, %	γ		
Скорость движения цепи, м/с	v		$v = \frac{z_1 \cdot n_1 \cdot t}{60000}$
Коэффициент эксплуатации	K_{Σ}	$K_{\Sigma} = K_{\Delta} \cdot K_{\sigma} \cdot K_{\kappa} \cdot K_{p} \cdot K_{c} \cdot K_{\eta}$, где значения коэффициентов по табл. 26 приложения I.	
Коэффициент, учитывающий эквивалентное число циклов	K_{pH}	$K_{pH} = \frac{F_t \cdot K_{\Sigma}}{S}$	
Эквивалентное число циклов нагружения	N_{Σ}	Приложение I, черт. I9	

Продолжение табл. I4

Наименование параметров	Обозначение	Расчетная зависимость	Значение
Средний ресурс цепи, ч	$T_{p.c\phi}$	$T_{p.c\phi} = \frac{m \cdot t \cdot N_a}{3,6 \cdot 10^6 \cdot \sigma}$	
Отношение	K_{γ}	$K_{\gamma} = \frac{T_{p.c\phi}}{T_{p\gamma}}$	
Параметр распределения ресурса по закону Вейбулла	β	Если нет данных о параметрах распределения ресурса цепей данной конструкции, то принять $\beta = \xi_0$.	
Расчетная вероятность обеспечения ресурса, %	γ_p	Приложение I, черт. 20	

Вывод: $\gamma_p = > \gamma =$

6. Определение вероятности обеспечения заданного ресурса цилиндрической винтовой пружины сжатия из прутка круглого сечения

Таблица I5

Наименование параметров	Обозначение	Расчетная зависимость	Значение
Средний диаметр витка, мм	D	Исходные данные	
Диаметр проволоки (прутка), мм	d		
Нагрузка в начале рабочего хода пружины, Н	P_{min}		
Нагрузка в конце рабочего хода пружины, Н	P_{max}		
Материал проволоки (прутка)	—		
Гамма-процентный ресурс, циклов	T_{pg}		
Заданная вероятность обеспечения ресурса, %	γ		
Индекс пружины	C	$C = \frac{D}{d}$	
Коэффициент кривизны	K	$K = 1 + \frac{1,5}{C}$	
Максимальное напряжение цикла, МПа	τ_{max}	$\tau_{max} = \frac{2,55 \cdot K \cdot P_{max} \cdot C}{d^2}$	
Коэффициент асимметрии цикла	r	$r = \frac{P_{min}}{P_{max}}$	
Условное допускаемое напряжение, МПа	$\tau_{усл}$	Приложение I, табл. 27	
Коэффициент уменьшений условного допускаемого напряжения	Q	$Q = \frac{\tau_{max}}{0,75 \cdot \tau_{усл}}$	

Наименование параметров	Обозначение	Расчетная зависимость	Значение
Средний ресурс пружины, циклов	$T_{p\text{cp}}$	Приложение I, черт. 21	
Отношение	K_{γ}	$K_{\gamma} = \frac{T_{p\text{cp}}}{T_{p\gamma}}$	
Коэффициент вариации	ν	Приложение I, табл. 28	
Расчетная вероятность обеспечения ресурса, %	γ_p	Приложение I, черт. 22	

Вывод:

$$\gamma_p = > \gamma =$$

7. Расчет канатов на долговечность

7.1. Исходные данные

Таблица 16

Наименование исходных данных	Обозначение	Значение
Тип каната	—	
ГОСТ на канат	—	
Диаметр каната, мм	d	
Предел прочности проволоки каната, МПа	σ_B	
Наибольшее натяжение в ветви каната, Н	S	
Диаметры блоков (барабанов), измеряемые по средней линии, мм	D_1	
	D_2	
	D_3	
	D_4	
Количество барабанов (если диаметры барабанов одинаковые, то графу можно не заполнять)	i	
Коэффициент запаса прочности, принимаемый по "Правилам устройства и безопасной эксплуатации грузоподъемных кранов"	K	
Максимальная нагрузка на крюке, Н	Q_{max}	
Среднеарифметическая нагрузка на крюке, Н	Q_{cp}	
Число перегибов каната на блоках в эксплуатации в течение года	$\sum z$	
Средний коэффициент использования астрономического времени	K_u	
Температура окружающего воздуха, °С	t	
Гамма-процентный ресурс каната, ч	T_{pr}	
Вероятность недостижения норм браковки каната, %	γ	

7.2. Определение вероятности недостижения стальным канатом норм браковки по количеству оборванных проволок в течение заданного срока

Таблица 17

Наименование параметров	Обозначение	Расчетная зависимость	Значение
Число перегибов, которое выдерживает эталонный канат до норм браковки	γ_H	$\gamma_H = 30 \left(\frac{D}{d} \right)^2 (K - 1,7)$	
Коэффициент режима работы	K_H	$K_H = 1,25 \frac{Q_{max}}{Q_{cp}}$	
Коэффициент, учитывающий влияние диаметра каната	K_K'	Приложение I, табл. 29	
Коэффициент, учитывающий предел прочности проволок	K_K''	Приложение I, табл. 30	
Коэффициент, учитывающий тип и конструкцию каната	K_K'''	Приложение I, табл. 31	
Коэффициент приведения каната	K_K	$K_K = K_K' \cdot K_K'' \cdot K_K'''$	
Коэффициент приведения блоков	K_{δ}	Если блоки имеют одинаковый диаметр, то $K_{\delta} = 1$, если разные, то $K_{\delta} = \frac{\sum D_i^2}{i \cdot D_i^2}$	
Коэффициент условий работы	C	При расчете каната на долговечность $C = 0,4$	
Суммарный коэффициент приведения каната	$K_{прив.}$	$K_{прив.} = K_H \cdot K_K \cdot K_{\delta} \cdot C$	
Число перегибов, которое выдерживает канат до норм браковки	γ	$\gamma = \gamma_H \cdot K_{прив.}$	
Температурный коэффициент	K_t	При температуре окружающего воздуха до -40°C $K_T = 1$, если $t < -40^{\circ}\text{C}$, то $K_T = 1,5 \dots 2,5$	

Продолжение табл. I7

Наименование параметров	Обозначение	Расчетная зависимость	Значение
Средний срок службы каната, лет	$T_{ср}$	$T_{ср} = \frac{Y}{\sum z \cdot K_t}$	
Средняя продолжительность работы техники за год в часах фактической работы, ч	T_r	$T_r = 8760 \cdot K_u$	
Средний ресурс каната, ч	$T_{р ср}$	$T_{р ср} = 0,25 \cdot T_r \cdot T_{ср}$	
Отношение $\frac{T_{рз}}{T_{р ср}}$	$K_{г}$	$K_{г} = \frac{T_{рз}}{T_{р ср}}$	
Коэффициент вариации ресурса	\mathcal{V}	$\mathcal{V} = 0,6$	
Расчетная вероятность недостижения норм браковки каната, %	γ_p	Приложение I, черт. 23	

Вывод: $\gamma_p = > \gamma =$

ПРИМЕРЫ РАСЧЕТОВ

I. Расчет цилиндрических зубчатых передач
на долговечность

I.I. Исходные данные

Таблица I

Наименование параметров		Обозначение	Значение
Число зубьев	шестерни	Z_1	32
	колеса	Z_2	64
Модуль, мм		m	5
Угол наклона, градус		β	$16^\circ 15'$
Коэффициент смещения	шестерни	x_1	0
	колеса	x_2	0
Рабочая ширина венца, мм		b_w	60
Первая ступень нагружения шестерни (приложение I, черт. I)	Крутящий момент, Н·м	T_{11}	1000
	Частота вращения, мин ⁻¹	n_{11}	600
	Время действия момента, ч	t_1	1000
Вторая ступень	То же	T_{12}	600
		n_{12}	500
		t_2	3000
Третья ступень	То же	T_{13}	400
		n_{13}	500
		t_3	2000
Четвертая ступень	То же	T_{14}	200
		n_{14}	400
		t_4	2000
Гамма-процентный ресурс, ч		$T_{p\gamma}$	8000
Заданная вероятность обеспечения, %		γ	97
Коэффициент (отношение среднего к гамма-процентному ресурсу по закону Вейбула при коэффициенте вариации 0,35)		K_γ	3

Наименование параметров	Обозначение	Значение	
Наибольший длительно действующий крутящий момент на реверсируемом валу шестерни, Н·м	T_1'	1000	
Время работы передачи при реверсе, ч	t'	2000	
Количество зубчатых колес, одновременно находящихся в зацеплении с рассчитываемым колесом	a	1	
Схема расположения колес относительно опор (приложение I, черт. 3)	—	3	
Наличие колеса, насаженного на вал рядом с шестерней (да, нет)	—	нет	
Степень точности по нормам плавности по Гост 1643-78	S'	7	
Класс шероховатости по Гост 2789-73	—	7	
*) Условия работы передачи (стабильные, изменяющиеся)	—	стабильные	
Степень нагруженности передачи (средняя, максимальная)	—	средняя	
Марка стали	шестерни	—	40X
	колеса	—	45
Способ термообработки	шестерни	—	закалка ТВЧ
	колеса	—	улучшение
##) Твердость поверхности зубьев (средняя), HB или HRC	шестерни	H_1	HRC 45
	колеса	H_2	HB 280
Твердость сердцевины зубьев (средняя), HB или HRC	шестерни	H_1'	HB 280
	колеса	H_2'	HB 280

*) Условия работы принимаются стабильными в случае постоянства крутящего момента, а также при кратковременных его изменениях.

##) Соотношение между значениями твердости, выраженными в единицах HB и HRC, приведено на черт. 2 приложения I.

I.2. Определение основных геометрических параметров

I.2.I. Определение основных геометрических параметров
некорректированных зубчатых передач ($x_1 = x_2 = 0$)
и передач с высотной коррекцией ($x_1 = -x_2$)

Таблица 2

Наименование параметров	Обозначение	Расчетная зависимость	Значение
Передаточное число	u	$u = \frac{z_2}{z_1}$	2
Начальный диаметр, мм	d_{w1}	$d_w = \frac{z \cdot m}{\cos \beta}$	166,7
	d_{w2}		333,3
Межосевое расстояние, мм	a_w	$a_w = \frac{(z_1 + z_2) \cdot m}{2 \cos \beta}$	250
Составляющие коэффициента торцевого перекрытия	$\varepsilon_{\alpha 1}$	Приложение I, черт. 4	0,79
	$\varepsilon_{\alpha 2}$		0,84
Коэффициент торцевого перекрытия	ε_{α}	$\varepsilon_{\alpha} = \varepsilon_{\alpha 1} + \varepsilon_{\alpha 2}$	1,63
Осевой шаг, мм	p_x	$p_x = \frac{\pi \cdot m}{\sin \beta}$	56,3
Коэффициент осевого перекрытия	ε_{β}	$\varepsilon_{\beta} = \frac{b_w}{p_x}$	1,07

1.3. Определение вероятности обеспечения заданного ресурса по критерию усталостного выкрашивания

Таблица 3

Наименование параметров	Обозначение	Расчетная зависимость	Значение
Вспомогательный параметр	--	$\frac{x_1 + x_2}{Z_1 + Z_2}$	0
Коэффициент формы поверхности	Z_H	Приложение I, черт. 6	1,71
Коэффициент свойств материалов, МПа ^{1/2}	Z_M	Для стальных зубчатых колес $Z_M = 275$	275
Коэффициент длины контактных линий	Z_E	Для прямозубых передач: $Z_E = \sqrt{\frac{4 - \epsilon_\alpha}{3}}$ для косозубых передач по черт. 7 приложения I.	0,78
Число циклов переменны напряжений N_{fi} за время действия t_i крутящего момента T_{fi} при частоте вращения n_{fi}	N_{f1}	$N_{fi} = 60 \cdot a \cdot n_{fi} \cdot t_i$	$3,6 \cdot 10^7$
	N_{f2}		$10,8 \cdot 10^7$
	N_{f3}		$7,2 \cdot 10^7$
	N_{f4}		$7,2 \cdot 10^7$
Эквивалентное число циклов перемены напряжений для шестерни	N_{HE1}	$N_{HE1} = \sum_0^i \left[\left(\frac{T_{fi}}{T_H} \right)^3 \cdot N_{fi} \right] \cdot \frac{1}{K_F}$	$6,4 \cdot 10^7$
Эквивалентное число циклов перемены напряжений для колеса	N_{HE2}	$N_{HE2} = \frac{N_{HE1}}{a \cdot u}$	$3,2 \cdot 10^7$
Расчетный крутящий момент на валу шестерни при расчете на контактную выносливость, Н·м	T_H	Наибольший из числа подводящих к передаче, число циклов которого превышает $0,03 \cdot N_{HE1}$	1000
Окружная скорость, м/с	v	$v = \frac{\pi \cdot d_{w1} \cdot n_H}{60000}$	5,2
Коэффициент распределения нагрузки между зубьями	$K_{H\alpha}$	Для прямозубых передач $K_{H\alpha} = 1$; для косозубых передач по черт. 8 приложения I.	1,05
Относительная ширина шестерни	ψ_{bd}	$\psi_{bd} = \frac{b_w}{d_{w1}}$	0,36

Продолжение табл. 3

Наименование параметров	Обозначение	Расчетная зависимость	Значение
Коэффициент распределения нагрузки по ширине венца	$K_{H\beta}$	Приложение I, черт. 9	1,05
Коэффициент вида зубчатой передачи	δ_H	Приложение I, табл. I	0,002
Коэффициент разности шагов шестерни и колеса	g_0	Приложение I, табл. 2	53
Коэффициент, учитывающий наличие колеса, насаженного на вал, рядом с шестерней	K_0	При отсутствии - $K_0 = 1$; если насажено цилиндрическое колесо, то $K_0 = \frac{u}{2} \sqrt{\frac{u}{2}}$ если коническое, то $K_0 = u$	1
Удельная окружная динамическая сила, Н/мм	$W_{H\beta}$	$W_{H\beta} = \delta_H \cdot g_0 \cdot v \cdot \sqrt{\frac{a_w}{u}} \cdot K_0$	6,16
Динамическая добавка	β_H	$\beta_H = \frac{W_{H\beta} \cdot b_w \cdot d_{w1}}{2000 \cdot T_{H1} \cdot K_{H\alpha} \cdot K_{H\beta}}$	0,027
Коэффициент динамичности	$K_{H\alpha}$	$K_{H\alpha} = 1 + \beta_H$	1,027
Удельная расчетная окружная сила, Н/мм	$W_{H\alpha}$	$W_{H\alpha} = \frac{2000 \cdot T_{H1}}{b_w \cdot d_{w1}} \cdot K_{H\alpha} \cdot K_{H\beta} \cdot K_{H\epsilon}$	225,9
Расчетное контактное напряжение, МПа	σ_H	$\sigma_H = Z_H \cdot Z_M \cdot Z_\epsilon \cdot \sqrt{\frac{W_{H\alpha}}{d_{w1}} \cdot \frac{(u \pm 1)}{u}}$	513,5
Средняя величина базового предела контактной выносливости, МПа	$\sigma_{H\epsilon m \beta 1}$	Приложение I, табл. 3	960
	$\sigma_{H\epsilon m \beta 2}$		570
Коэффициент шероховатости	Z_R	Приложение I, табл. 4	1
Скоростной коэффициент	Z_v	При $v \leq 5$ м/с $Z_v = 1$, при $v > 5$ м/с по черт. 10 приложения I	1
Коэффициент размеров	K_{xH}	Приложение I, черт. II	1

Продолжение табл. 3

Наименование параметров	Обозначение	Расчетная зависимость	Значение
Базовое число циклов перемены напряжений	N_{HO1}	Приложение I, черт. I2	$55 \cdot 10^6$
	N_{HO2}		$16 \cdot 10^6$
Отношение базового числа циклов к эквивалентному	—	$\frac{N_{HO}}{N_{HE}}$	0,85
			0,5
Коэффициент среднего ресурса	$K_{НЛ1}$	При $\frac{N_{HO}}{N_{HE}} < 1$ принимать $K_{НЛ} = 1$. Предельные значения:	1
	$K_{НЛ2}$	$K_{НЛ} \leq 2,6$ - при объемном упрочнении, $K_{НЛ} \leq 1,8$ - при поверхностном упрочнении.	1
Средняя величина предела контактной выносливости, МПа	σ_{HP1}	$\sigma_{HP} = \sigma_{НЛ\epsilon\tau\sigma} \cdot Z_R \cdot Z_V \cdot K_{ХН} \cdot K_{НЛ}$	966
	σ_{HP2}		630
Коэффициент вариации базового предела контактной выносливости	$\sigma_{\sigma_{НЛ\epsilon\tau\sigma}}$	Приложение I, табл. 5	0,07
Коэффициент вариации коэффициента среднего ресурса	$\sigma_{K_{НЛ1}}$	При $K_{НЛ} \leq 1$ $\sigma_{K_{НЛ}} = 0$; при $K_{НЛ} > 1$ $\sigma_{K_{НЛ}} = 0,05$	0
	$\sigma_{K_{НЛ2}}$		0
Квадрат коэффициента вариации предела контактной выносливости	$\sigma_{\sigma_{HP1}}^2$	$\sigma_{\sigma_{HP}}^2 = \sigma_{\sigma_{НЛ\epsilon\tau\sigma}}^2 + \sigma_{K_{НЛ}}^2$	0,0049
	$\sigma_{\sigma_{HP2}}^2$		0,0049
Дисперсия предела контактной выносливости, МПа ²	$D_{\sigma_{HP1}}$	$D_{\sigma_{HP}} = \sigma_{HP}^2 \cdot \sigma_{\sigma_{HP}}^2$	4572
	$D_{\sigma_{HP2}}$		1945
Коэффициент вариации нагрузки	σ_{TN1}	Приложение I, табл. 6	0,2
Коэффициент вариации коэффициента распределения нагрузки между зубьями	$\sigma_{K_{НЛ}}$	$\sigma_{K_{НЛ}} = \frac{K_{НЛ} - 1}{3 K_{НЛ}}$	0,016

Продолжение табл. 3

Наименование параметров	Обозначение	Расчетная зависимость	Значение
Коэффициент вариации коэффициента распределения нагрузки по ширине венца	$\mathcal{U}_{кн\beta}$	$\mathcal{U}_{кн\beta} = \frac{S+1}{10} \cdot \frac{K_{н\beta} - 1,05}{3K_{н\beta}}$ <p>где S - степень точности</p>	0
Коэффициент вариации динамического коэффициента	$\mathcal{U}_{кн\gamma}$	$\mathcal{U}_{кн\gamma} = \frac{K_{н\gamma} - 1}{3K_{н\gamma}}$	0,009
Квадрат коэффициента вариации контактного напряжения	$\mathcal{U}_{\sigma_n}^2$	$\mathcal{U}_{\sigma_n}^2 = \frac{1}{4} (\mathcal{U}_{тн1}^2 + \mathcal{U}_{кн\alpha}^2 + \mathcal{U}_{кн\beta}^2 + \mathcal{U}_{кн\gamma}^2 + \mathcal{U}_{кн\delta} \cdot \mathcal{U}_{кн\beta} + \mathcal{U}_{кн\alpha} \cdot \mathcal{U}_{кн\gamma} + \mathcal{U}_{кн\beta} \cdot \mathcal{U}_{кн\gamma})$	0,01
Дисперсия контактного напряжения, МПа ²	D_{σ_n}	$D_{\sigma_n} = \sigma_n^2 \cdot \mathcal{U}_{\sigma_n}^2$	2637
Квантиль распределения разности напряжений	$u_{н1}$	$u_n = \frac{\sigma_{нр} - \sigma_n}{\sqrt{D_{\sigma_{нр}} + D_{\sigma_n}}} > 0$	5,3
	$u_{н2}$		1,17
Вероятность обеспечения ресурса, %	$\gamma_{н1}$	Приложение I, табл. II	99,9
	$\gamma_{н2}$		81

Вывод: $\gamma_{н1} = 99,9 > \gamma = 97$

$\gamma_{н2} = 81 < \gamma = 97$

1.4. Определение вероятности обеспечения заданного ресурса по критерию усталостной поломки зуба от изгиба

Таблица 4

Наименование параметров	Обозначение	Расчетная зависимость	Значение
Расчетный крутящий момент на валу шестерни при расчете на выносливость при изгибе, Н·м	T_{F1}	Наибольший из числа подводимых к передаче, число циклов действия которого превышает $5 \cdot 10^4$ (приложение I, черт. I)	1000
Коэффициент распределения нагрузки между зубьями	$K_{F\alpha}$	Для прямоугольных передач $K_{F\alpha} = 1$; для косозубых: при $\epsilon_{\beta} \leq 1$ $K_{F\alpha} = 1$, при $\epsilon_{\beta} > 1$ $K_{F\alpha} = \frac{4 + (\epsilon_{\alpha} - 1)(S - 5)}{4 \cdot \epsilon_{\alpha}}$ где S - степень точности	0,81
Коэффициент распределения нагрузки по ширине венца	$K_{F\beta}$	Приложение I, черт. I3	1,09
Коэффициент вида зубчатой передачи	δ_F	Для прямых зубьев $\delta_F = 0,016$; для косых - $\delta_F = 0,006$.	0,006
Удельная окружная динамическая сила, Н/мм	W_{Fv}	$W_{Fv} = \frac{\delta_F}{\delta_H} \cdot W_{Hv}$	18,5
Динамическая добавка	ν_F	$\nu_F = \frac{W_{Fv} \cdot b_w \cdot d_{w1}}{2000 \cdot T_{F1} \cdot K_{F\alpha} \cdot K_{F\beta}}$	0,1
Коэффициент динамичности	K_{Fv}	$K_{Fv} = 1 + \nu_F$	1,1
Эквивалентное число зубьев	Z_{v1}	$Z_v = \frac{Z}{\cos^3 \beta}$	36,2
	Z_{v2}		72,4
Коэффициент формы зуба	Y_{F1}	Приложение I: для колес с внешними зубьями по черт. I4, для колес с внутренними зубьями по черт. I5.	3,73
	Y_{F2}		3,62
Коэффициент наклона зуба	Y_{β}	Для косозубых передач. $Y_{\beta} = 1 - \frac{100}{Z_v}$, для прямо- зубых $Y_{\beta} = 1$.	0,87

Наименование параметров	Обозначение	Расчетная зависимость	Значение
Напряжение изгиба на шестерне, МПа	σ_{F1}	$\sigma_{F1} = \frac{2000 \cdot T_{F1} \cdot K_{FL} \cdot K_{F\beta} \cdot K_{F\alpha} \cdot Y_{Fa}}{b_w \cdot d_{w1} \cdot m} \cdot Y_{Fi} \cdot Y_{\beta}$	115
Напряжение изгиба на колесе, МПа	σ_{F2}	$\sigma_{F2} = \frac{\sigma_{F1} \cdot Y_{F2}}{Y_{F1}}$	112
Средняя величина базового предела выносливости, МПа	$\sigma_{FLm\beta 1}$	Приложение I, табл. 7	600
	$\sigma_{FLm\beta 2}$		450
Коэффициент влияния амплитуд напряжений противоположного знака	R_{FC1}	Приложение I, табл. 8	0,25
	R_{FC2}		0,35
Коэффициент реверсивности	K_{FC1}	$K_{FC} = 1 - R_{FC} \frac{T_1' \cdot t'}{T_{F1} \cdot t}$	0,73
	K_{FC2}		0,635
Показатель кривой усталости	m_{F1}	Приложение I, табл. 9	6
	m_{F2}		6
Базовое число циклов перемены напряжений	N_{F0}	$N_{F0} = 4 \cdot 10^6$	$4 \cdot 10^6$
Эквивалентное число циклов	N_{FE1}	$N_{FE} = \sum \left[\left(\frac{T_{iL}}{T_{H1}} \right)^{m_F} N_i \right] \cdot \frac{1}{K_{\beta}}$	$4,1 \cdot 10^7$
	N_{FE2}		$2,05 \cdot 10^7$
Отношение базового числа к эквивалентному числу циклов	—	$\frac{N_{F0}}{N_{FE}} = \frac{4 \cdot 10^6}{N_{FE}}$	0,1
	—		0,2
Коэффициент среднего ресурса	K_{FL1}	$K_{FL} = \sqrt{\frac{m_F \cdot N_{F0}}{N_{FE}}}$ При $\frac{N_{F0}}{N_{FE}} < 1$ принимать $K_{FL} = 1$. Предельные значения: $K_{FL} \leq 1,63$ - при $m_F = 9$ $K_{FL} \leq 2,0$ - при $m_F = 6$	1
	K_{FL2}		1
Коэффициент чувствительности материала	Y_S	Приложение I, черт. 16	0,96

Наименование параметров	Обозначение	Расчетная зависимость	Значение
Коэффициент размеров	K_{XF1}	Приложение I, черт. I7	1,0
	K_{XF2}		1,0
Средняя величина предела выносливости, МПа	σ_{FP1}	$\sigma_{FP} = \sigma_{F\ell mb} \cdot K_{FC} \cdot K_{FL} \cdot Y_S \cdot K_{XF}$	420
	σ_{FP2}		295
Коэффициент вариации базового предела выносливости	$U_{\sigma_{F\ell mb}}$	Приложение I, табл. IO	0,09
Коэффициент вариации коэффициента среднего ресурса	$U_{K_{FL1}}$	При $K_{FL} \leq I$ $U_{K_{FL}} = 0$; при $K_{FL} > I$ $U_{K_{FL}} = 0,05$	0
	$U_{K_{FL2}}$		0
Квадрат коэффициента вариации предела выносливости	$U_{\sigma_{FP1}}^2$	$U_{\sigma_{FP}}^2 = U_{\sigma_{F\ell mb}}^2 + U_{K_{FL}}^2$	0,0081
	$U_{\sigma_{FP2}}^2$		0,0081
Дисперсия предела выносливости, МПа ²	$D_{\sigma_{FP1}}$	$D_{\sigma_{FP}} = \sigma_{FP}^2 \cdot U_{\sigma_{FP}}^2$	1432
	$D_{\sigma_{FP2}}$		703
Коэффициент вариации нагрузки	U_{TF1}	Приложение I, табл. 6	0,2
Коэффициент вариации коэффициента распределения нагрузки между зубьями	$U_{K_{Fd}}$	$U_{K_{Fd}} = \frac{K_{Fd} - 1}{3K_{Fd}}$	0,08
Коэффициент вариации коэффициента распределения нагрузки по ширине венца	$U_{K_{FB}}$	$U_{K_{FB}} = \frac{S+1}{10} \cdot \frac{K_{FB} - 1,05}{3 \cdot K_{FB}}$ где S - степень точности	0,01
Коэффициент вариации динамического коэффициента	$U_{K_{FD}}$	$U_{K_{FD}} = \frac{K_{FD} - 1}{3K_{FD}}$	0,03

Продолжение табл. 4

Наименование параметров	Обозначение	Расчетная зависимость	Значение
Квадрат коэффициента вариации напряжения изгиба	V_{GF}^2	$V_{GF}^2 = \frac{1}{4} (V_{TF1}^2 + V_{KFA}^2 + V_{KFB}^2 + V_{KFB}^2 + V_{KFA} \cdot V_{KFB} + V_{KFA} \cdot V_{KFB} + V_{KFB} \cdot V_{KFB})$	0,003
Дисперсия напряжения изгиба шестерни, МПа ²	D_{GF1}	$D_{GF1} = \sigma_{F1}^2 \cdot V_{GF}^2$	35,8
Дисперсия напряжения изгиба колеса, МПа ²	D_{GF2}	$D_{GF2} = \sigma_{F2}^2 \cdot V_{GF}^2$	33,9
Квантиль распределения разности напряжений	u_{F1}	$u_F = \frac{\sigma_{FFP} - \sigma_F}{\sqrt{D_{GF1} + D_{GF2}}}$	7,96
	u_{F2}		6,7
Вероятность обеспечения ресурса, %	γ_{F1}	Приложение I, табл. II	> 99,9
	γ_{F2}		> 99,9

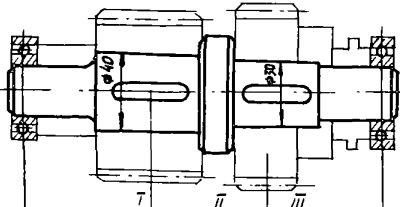
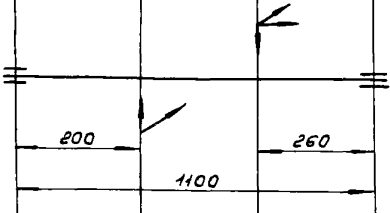
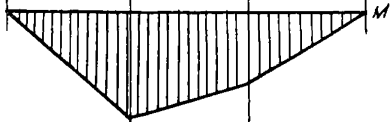

Вывод: $\gamma_{F1} = 99,9 > \gamma = 97$

$\gamma_{F2} = 99,9 > \gamma = 97$

2. Расчет вала

2.1. Схема нагружения вала и эпюры моментов

Таблица 5

Наименование	Схема
Эскиз вала	
Расчетная схема вала	
Эпюра суммарных изгибающих моментов от усилий, действующих в горизонтальной и вертикальной плоскостях	
Эпюра крутящих моментов	

2.2. Исходные данные

Таблица 6

Наименование исходных данных		Обозначение	Значение
Диаметр заготовки вала, мм		D_3	40
Марка стали (приложение I, табл. I4)		—	45
твердость, НВ		H	240
предел прочности, МПа		σ_B	800
предел текучести при изгибе, МПа		σ_T	550
предел текучести при кручении, МПа		τ_T	300
предел выносливости при изгибе, МПа		σ_{-1}	350
предел выносливости при кручении, МПа		τ_{-1}	210
Первая ступень нагруже- ния	Крутящий момент, Н·м	T_1	500
	Частота вращения, мин ⁻¹	n_1	600
	Время действия момента, ч	t_1	500
Вторая ступень	Крутящий момент, Н·м	T_2	400
	Частота вращения, мин ⁻¹	n_2	600
	Время действия момента, ч	t_2	1500
Третья ступень	Крутящий момент, Н·м	T_3	300
	Частота вращения, мин ⁻¹	n_3	400
	Время действия момента, ч	t_3	2000
Четвертая ступень	Крутящий момент, Н·м	T_4	200
	Частота вращения мин ⁻¹	n_4	400
	Время действия момента, ч	t_4	1000
Гамма-процентный ресурс, ч		$T_{p\gamma}$	5000
Заданная вероятность обеспечения, %		γ	97
Коэффициент (отношение среднего к гамма-процентному ресурсу по закону Вейбула при коэффициенте вариации 0,35)		K_p	3

2.3. Определение вероятности обеспечения заданного ресурса по критерию усталости

Таблица 7

Наименование параметров	Обозначение	Расчетная зависимость	Опасные сечения вала			
			I	II	III	
Расчетный диаметр опасного сечения, мм	D	По чертежу вала	40	30	30	
Момент сопротивления, см ³ : изгибу	W_u	Приложение I, табл. I5	5,5	2,65	2,32	
	кручению		W_K	11,8	5,3	4,97
Число циклов перемены напряжений (N_i) за время действия (t_i) крутящего момента (T_i) при частоте вращения n_i	N_1	$N_i = 60 \cdot n_i \cdot t_i$	$1,8 \cdot 10^7$			
	N_2		$5,4 \cdot 10^7$			
	N_3		$4,8 \cdot 10^7$			
	N_4		$2,4 \cdot 10^7$			
Расчетный крутящий момент, Н·м	T_{FE}	Наибольший из числа подводимых к валу, число действия которого превышает $5 \cdot 10^4$	500			
Изгибающий момент в опасных сечениях, определенный по расчетному крутящему моменту, Н·м	M_{FE}	Принимается по эпюре изгибающих моментов	530	280	100	
Нормальные напряжения в опасных сечениях, МПа	σ	$\sigma = \frac{M_{FE}}{W_u}$	96,4	105,6	431	
Касательные напряжения в опасных сечениях, МПа	τ	$\tau = \frac{T_{FE}}{W_K}$	42,4	94,3	100,8	

Продолжение табл. 7

Наименование параметров	Обозначение	Расчетная зависимость	Опасные сечения вала			
			шпонка	галтель	шпонка	
Вид концентратора (напресовка, галтель, выточка, шпонка, шлицы и др.)	—	По чертежу вала	I	II	III	
Эффективные коэффициенты концентрации напряжений, кроме сечений с посаженными деталями: при изгибе	K_{σ}	Приложение I, табл. 16, 17 и 18	2,01	1,76	2,01	
	при кручении		K_{τ}	1,88	1,45	1,88
Коэффициент влияния абсолютных размеров сечения: при изгибе	$K_{d\sigma}$	Приложение I, табл. 19	0,91	0,88	0,88	
	при кручении		$K_{d\tau}$	0,89	0,81	0,81
Коэффициент влияния шероховатости при изгибе	$K_{n\sigma}$	Приложение I, табл. 20.	1,1	1,1	1,1	
Коэффициент влияния шероховатости при кручении	$K_{n\tau}$	$K_{n\tau} = 0,575 K_{n\sigma} + 0,425$	1,06	1,06	1,06	
Коэффициент концентрации при изгибе	$(K_{\sigma})_g$	$(K_{\sigma})_g = \frac{K_{\sigma}}{K_{d\sigma}} + \frac{1}{K_{n\sigma}} - 1$	2,1	1,9	2,18	
Коэффициент концентрации при кручении	$(K_{\tau})_g$	$(K_{\tau})_g = \frac{K_{\tau}}{K_{d\tau}} + \frac{1}{K_{n\tau}} - 1$	2,05	1,73	2,26	

Продолжение табл. 7

Стр. 118 РД 22-127-85

Наименование параметров	Обозначение	Расчетная зависимость	Опасные сечения вала			
			I	II	III	
Коэффициент концентрации для сечений с посаженными деталями: при изгибе	$(K_{\sigma})_g$	Приложение I, табл. 21	—	—	—	
	при кручении		$(K_{\tau})_g$	—	—	—
Коэффициент влияния поверхностного упрочнения	K_{σ}	Приложение I, табл. 22	1	1	1	
Эквивалентное число циклов	N_{FE}	$N_{FE} = \sum_i \left[\left(\frac{T_i}{T_i} \right)^g \cdot N_i \right] \cdot \frac{1}{K_{\sigma}}$	$2,5 \cdot 10^7$			
Базовое число циклов перемены напряжений	N_{FD}	$N_{FD} = 10^7$	10^7			
Отношение базового числа циклов к эквивалентному	$\frac{N_{FD}}{N_{FE}}$	—	$0,4$			

Продолжение табл. 7

Наименование параметров	Обозначение	Расчетная зависимость	Опасные сечения вала			
			I	II	III	
Коэффициент среднего ресурса	K_{FL}	$K_{FL} = \sqrt[3]{\frac{N_{FO}}{N_{FE}}}$ При $\frac{N_{FO}}{N_{FE}} < 1$ принимать $K_{FL} = 1$. Предельное значение $K_{FL} = 1,6$	1			
Предел выносливости вала при изгибе, МПа	$(\sigma_{-1})_g$	$(\sigma_{-1})_g = \frac{\sigma_{-1}}{(K\sigma)_g} \cdot K_{\sigma} \cdot K_{FL}$	166,7	184,2	160,5	
Предел выносливости вала при кручении, МПа	$(\tau_{-1})_g$	$(\tau_{-1})_g = \frac{\tau_{-1}}{(K\tau)_g} \cdot K_{\tau} \cdot K_{FL}$	102,4	121,4	92,9	
Запас прочности при изгибе	n_{σ}	$n_{\sigma} = \frac{(\sigma_{-1})_g}{\sigma}$	1,73	1,74	3,7	
Коэффициент чувствительности к асимметрии напряжений	ψ_{σ}	$\psi_{\sigma} = 0,01 + 10^{-4} \sigma$	0,81			
Запас прочности при кручении	n_{τ}	$n_{\tau} = \frac{2(\tau_{-1})_g}{\tau \left[1 + \frac{\psi_{\tau}}{(K\tau)_g} \right]}$	3,46	1,75	1,36	
Эквивалентное напряжение, МПа	$\sigma_{\text{экв}}$	$\sigma_{\text{экв}} = \sigma \sqrt{1 + \left(\frac{n_{\sigma}}{n_{\tau}} \right)^2}$	106	130,9	124	
Коэффициент вариации предела выносливости материала	$\nu_{\sigma_{-1}}$	$\nu_{\sigma_{-1}} = 0,09 \dots 0,11$	0,1			
Коэффициент вариации коэффициента концентрации	$\nu_{(K\sigma)_g}$	От надрессовки: $\nu_{(K\sigma)_g} = 0,04$ от других видов концентраторов $\nu_{(K\sigma)_g} = 0,02$	0,02	0,02	0,02	

Продолжение табл. 7

Наименование параметров	Обозначение	Расчетная зависимость	Опасные сечения вала		
			I	II	III
Коэффициент вариации коэффициента упрочнения	ν_{kv}	$\nu_{kv} = 0,12$; при отсутствии упрочнения - $-\nu_{kv} = 0$.		0	
Квадрат коэффициента вариации коэффициента выносливости вала	$\nu_{(\sigma-1)g}^2$	$\nu_{(\sigma-1)g}^2 = \nu_{\sigma-1}^2 + \nu_{(K\sigma)g}^2 + \nu_{kv}^2 +$ $+ \nu_{\sigma-1} \cdot \nu_{(K\sigma)g} + \nu_{(K\sigma)g} \cdot \nu_{kv}$		0,01	
Дисперсия предела выносливости, МПа ²	$D_{(\sigma-1)g}$	$D_{(\sigma-1)g} = (\sigma-1)_g^2 \cdot \nu_{(\sigma-1)g}^2$	277,9	339,3	257,6
Коэффициент вариации эквивалентного напряжения	$\nu_{\text{экв.}}$	Приложение I, табл. 6		0,2	
Дисперсия эквивалентного напряжения, МПа ²	$D_{\text{экв.}}$	$D_{\text{экв.}} = \sigma_{\text{экв.}}^2 \cdot \nu_{\text{экв.}}^2$	449,4	685,4	615
Квантиль распределения разности напряжения	u_F	$u_F = \frac{(\sigma-1)_g - \sigma_{\text{экв.}}}{\sqrt{D_{(\sigma-1)g} + D_{\text{экв.}}}}$	2,2	1,66	1,23
Вероятность обеспечения ресурса, %	γ_F	Приложение I, табл. II	98,6	95	89

3. Расчет подшипников на долговечность

3.1. Определение вероятности обеспечения заданного ресурса подшипника
(Осевая нагрузка $F_a = 0$)

Таблица 8

Наименование параметров	Обозначение	Расчетная зависимость	Опора	
			I	II
Тип подшипника	—	Характеристика подшипника	радиальный однорядный	радиальный однорядный
№ подшипника	—		308	408
Динамическая грузоподъемность, Н	C		31900	50300
Радиальная нагрузка, Н	F_r	Исходные данные	2800	4200
Частота вращения, мин ⁻¹	n		1000	
Гамма-процентный ресурс, ч	$T_{p\gamma}$		10000	
Коэффициент вращения	V		$V = 1$ - вращается внутреннее кольцо; $V = 1,2$ - вращается наружное кольцо	1,0
Коэффициент безопасности	K_δ	Приложение I, табл. 23	1,2	
Температурный коэффициент	K_T	Приложение I, табл. 24	1,0	
Эквивалентная динамическая нагрузка, Н	ρ	$\rho = F_r \cdot V \cdot K_\delta \cdot K_T$	3380	5040
Степенной показатель	m	$m = 3$ - для шарикоподшипников; $m = 10/3$ - для роликоподшипников	3	3
Десятипроцентный ресурс	T_{p90}	$T_{p90} = \frac{(C/\rho)^m \cdot 10^6}{60 \cdot n}$	14250	28660
Отношение	$T_{p90}/T_{p\gamma}$	$T_{p90}/T_{p\gamma}$	1,4	2,8
Вероятность обеспечения ресурса, % п	γ	Приложение I, черт. 18	93	97

3.2 Определение вероятности обеспечения
заданного ресурса подшипника
(Осевая нагрузка $F_a \neq 0$)

Таблица 9

Наименование параметров	Обозначение	Расчетная зависимость	Опора	
			I	II
Тип подшипника	—	Характеристика подшипника	радиально-упорный	радиально-упорный
№ подшипника	—		36204	36206
Динамическая грузоподъемность, Н	C		12300	18200
Коэффициент осевого нагружения	e		0,36	0,34
Радиальная нагрузка, Н	F_r	Исходные данные	1500	2500
Осевая нагрузка, Н	F_a		450	450
Частота вращения, мин ⁻¹	n		600	
Гамма-процентный ресурс, ч	$T_{p\gamma}$		300	
Коэффициент вращения	V	$V = 1$ - вращается внутреннее кольцо; $V = 1,2$ - вращается наружное кольцо	1,0	
Коэффициент безопасности	K_δ	Приложение I, табл. 23	1,2	
Температурный коэффициент	K_T	Приложение I, табл. 24	1,0	
Осевая составляющая от радиальной нагрузки, Н	S'	$S' = e \cdot F_r$	540	850
Расчетная осевая нагрузка, Н	F_{ap}	Приложение I, табл. 25 $F_{apI} = S'_I$ $F_{apII} = S'_I + F_a$	540	990

Продолжение табл. 9

Наименование параметров	Обозначение	Расчетная зависимость	Опора	
			I	II
Отношение	$\frac{F_{ap}}{F_r}$	$\frac{F_{ap}}{F_r}$	0,36	0,4
Коэффициент радиальной нагрузки	X	Данные из каталога	1	0,46
Коэффициент осевой нагрузки	У		0	1,62
Эквивалентная динамическая нагрузка, Н	P		$P = (V \cdot X \cdot F_r + Y \cdot F_{ap}) K_{\delta} \cdot K_T$	1800
Степенной показатель	p	$p = 3$ - для шарикоподшипников; $p = 10/3$ - для роликоподшипников	3	3
Десятипроцентный ресурс, ч	T_{p90}	$T_{p90} = \frac{(\frac{C}{P})^p \cdot 10^6}{60 \cdot n}$	8730	4620
Отношение	$\frac{T_{p90}}{T_{p3}}$	$\frac{T_{p90}}{T_{p3}}$	1,09	0,577
Вероятность обеспечения ресурса подшипника, %	γ	Приложение I, черт. 18	91	80

Подшипник на опоре II № 36206 не обеспечивает заданного ресурса

4. Определение вероятности обеспечения заданного ресурса цепной передачи по критерию усталостной прочности пластин

Таблица 10

Наименование параметров	Обозначение	Расчетная зависимость	Значение
Обозначение цепи	—	Характеристика цепи по ГОСТ 13568-75	ПР-31,75-88500
Шаг цепи, мм	t		31,75
Статическая разрушающая нагрузка, Н	S'		88500
Число зубьев ведущей звездочки	z_1	Исходные данные	12
Число зубьев в цепи	m		200
Частота вращения ведущей звездочки, мин ⁻¹	n_1		300
Окружная сила, Н	F_t		20000
Гамма-процентный ресурс, ч	$T_{p\gamma}$		12000
Заданная вероятность обеспечения ресурса, %	γ		90
Скорость движения цепи, м/с	v		$v = \frac{z_1 \cdot n_1 \cdot t}{60000}$
Коэффициент эксплуатации	K_{Σ}	$K_{\Sigma} = K_{\Delta} \cdot K_{\alpha} \cdot K_{\eta} \cdot K_{\rho} \cdot K_{\sigma} \cdot K_{\eta}$ где значения коэффициентов по табл. 26 приложения I.	5
Коэффициент, учитывающий эквивалентное число циклов	K_{pH}	$K_{pH} = \frac{F_t \cdot K_{\Sigma}}{S'}$	1,15
Эквивалентное число циклов нагружения	N_{Σ}	Приложение I, черт. 19	$2 \cdot 10^6$

Продолжение табл. 10

Наименование параметров	Обозначение	Расчетная зависимость	Значение
Средний ресурс цепи, ч	$T_{p.c.p}$	$T_{p.c.p} = \frac{m \cdot t \cdot N_3}{3,6 \cdot 10^6 \cdot \sigma}$	1860
Отношение	K_{γ}	$K_{\gamma} = \frac{T_{p.c.p}}{T_{p.g}}$	1,55
Параметр распределения ресурса по закону Вейбула	β	Если нет данных о параметрах распределения ресурса цепей данной конструкции, то принять $\beta = 6$.	6
Расчетная вероятность обеспечения ресурса, %	γ_p	Приложение I, черт. 20	95

Вывод: $\gamma_p = 95 > \gamma = 90$

5. Определение вероятности обеспечения заданного ресурса цилиндрической винтовой пружины сжатия из прутка круглого сечения

Таблица II

Наименование параметров	Обозначение	Расчетная зависимость	Значение
Средний диаметр, витка, мм	D	Исходные данные	162
Диаметр проволоки (прутка), мм	d		28
Нагрузка в начале рабочего хода пружины, Н	P_{min}		0
Нагрузка в конце рабочего хода пружины, Н	P_{max}		11000
Материал проволоки (прутка)	—		сталь 60С2
Гамма-процентный ресурс, циклов	$T_{p\gamma}$		$3,8 \cdot 10^5$
Заданная вероятность обеспечения ресурса, %	γ		85
Индекс пружины	c	$c = \frac{D}{d}$	5,79
Коэффициент кривизны	K	$K = 1 + \frac{1,5}{c}$	1,259
Максимальное напряжение цикла, МПа	τ_{max}	$\tau_{max} = \frac{2,55 \cdot K \cdot P_{max} \cdot c}{d^2}$	2,56
Коэффициент асимметрии цикла	r	$r = \frac{P_{min}}{P_{max}}$	0
Условное допускаемое напряжение, МПа	$\tau_{усп}$	Приложение I, табл. 27	7
Коэффициент уменьшения условного допускаемого напряжения	φ	$\varphi = \frac{\tau_{max}}{0,75 \cdot \tau_{усп}}$	0,49

Наименование параметров	Обозначение	Расчетная зависимость	Значение
Средний ресурс пружины, циклов	$T_p \cdot \varphi$	Приложение I черт. 21	$2 \cdot 10^6$
Отношение	K_γ	$K_\gamma = \frac{T_p \cdot \varphi}{T_{p\gamma}}$	5,25
Коэффициент вариации	ν	Приложение I, табл. 28	1,2
Расчетная вероятность обеспечения ресурса, %	γ_p	Приложение I, черт. 22	90

Вывод: $\gamma_p = 90 > \gamma = 85$

6. Расчет канатов на долговечность

6.1. Исходные данные

Таблица 12

Наименование исходных данных	Обозначение	Значение
Тип каната	—	ПК-Р 6 x 19 x 1 крестовой свивки
ГОСТ на канат	—	ГОСТ 2688
Диаметр каната, мм	d	16,5
Предел прочности проволоки каната, МПа	σ_B	18
Наибольшее натяжение в ветви каната, Н	S'	26 000
Диаметры блоков (барабанов), измеряемые по средней линии, мм	D_1	280
	D_2	280
	D_3	280
	D_4	—
Количество барабанов (если диаметры барабанов одинаковые, то графу можно не заполнять)	i	—
Коэффициент запаса прочности, принимаемый по "Правилам устройства и безопасной эксплуатации грузоподъемных кранов"	K	5,5
Максимальная нагрузка на крюке, Н	Q_{max}	100 000
Среднеарифметическая нагрузка на крюке, Н	Q_{cp}	50 000
Число перегибов каната на блоках в эксплуатации в течение года	Σz	19 000
Средний коэффициент использования астрономического времени	K_u	0,162
Температура окружающего воздуха, °С	t	$\bar{\sigma} - 40^\circ\text{C}$
Гамма-процентный ресурс каната, ч	$T_{p\gamma}$	700
Вероятность недостижения норм браковки каната, %	γ	80

6.2. Определение вероятности недостижения стальным канатом норм браковки по количеству оборванных проволок в течение заданного срока

Таблица 13

Наименование параметров	Обозначение	Расчетная зависимость	Значение
Число перегибов, которое выдерживает эталонный канат до норм браковки	γ_n	$\gamma_n = 30 \left(\frac{D}{d} \right)^2 (K - 1,7)$	33000
Коэффициент режима работы	K_n	$K_n = 1,25 \frac{Q_{max}}{Q_{cp}}$	2,5
Коэффициент, учитывающий влияние диаметра каната	K_k'	Приложение I, табл. 29	0,94
Коэффициент, учитывающий предел прочности проволок	K_k''	Приложение I, табл. 30	0,95
Коэффициент, учитывающий тип и конструкцию каната	K_k'''	Приложение I, табл. 31	1
Коэффициент приведения каната	K_k	$K_k = K_k' \cdot K_k'' \cdot K_k'''$	0,9
Коэффициент приведения блоков	K_δ	Если блоки имеют одинаковый диаметр, то $K_\delta = 1$, если разные, то $K_\delta = \frac{\sum D_i^2}{i D_1^2}$	1
Коэффициент условий работы	C	При расчете каната на долговечность $C = 0,4$	0,4
Суммарный коэффициент приведения каната	$K_{прив.}$	$K_{прив.} = K_n \cdot K_k \cdot K_\delta \cdot C$	0,9
Число перегибов, которое выдерживает канат до норм браковки	γ	$\gamma = \gamma_n \cdot K_{прив.}$	29800
Температурный коэффициент	K_t	При температуре окружающего воздуха до -40°C $K_t = 1$, если $t < -40^\circ\text{C}$, то $K_t = 1,5 \dots 2,5$	1

Продолжение табл. 13

Наименование параметров	Обозначение	Расчетная зависимость	Значение
Средний срок службы каната, лет	$T_{сл. ср.}$	$T_{сл. ср.} = \frac{y}{\sum Z \cdot K_t}$	1,56
Средняя продолжительность работы техники за год в часах фактической работы, ч	T_r	$T_r = 8760 \cdot K_u$	1420
Средний ресурс каната, ч	$T_{р. ср.}$	$T_{р. ср.} = 0,75 \cdot T_r \cdot T_{сл. ср.}$	1660
Отношение $\frac{T_{р. ср.}}{T_{р. г.}}$	K_{γ}	$K_{\gamma} = \frac{T_{р. ср.}}{T_{р. г.}}$	2,4
Коэффициент вариации ресурса	v	$v = 0,6$	0,6
Расчетная вероятность недостижения норм браковки каната, %	γ_p	Приложение I, черт. 23	82

Вывод: $\gamma_p = 82 > \gamma = 80$

СО Д Е Р Ж А Н И Е

1. ОБЩИЕ ПОЛОЖЕНИЯ	1
2. РАСЧЕТ ЗУБЧАТЫХ ПЕРЕДАЧ НА ДОЛГОВЕЧНОСТЬ	3
2.1. Расчет цилиндрических зубчатых передач на долговечность	3
2.2. Расчет конических зубчатых передач на долговечность	13
3. РАСЧЕТ ВАЛОВ НА ДОЛГОВЕЧНОСТЬ	14
4. РАСЧЕТ ПОДШИПНИКОВ НА ДОЛГОВЕЧНОСТЬ	19
5. РАСЧЕТ ПРИВОДНОЙ РОЛИКОВОЙ ЦЕПИ НА ДОЛГОВЕЧНОСТЬ	21
6. РАСЧЕТ ЦИЛИНДРИЧЕСКИХ ВИНТОВЫХ ПРУЖИН СЖАТИЯ НА ДОЛГОВЕЧНОСТЬ	22
7. РАСЧЕТ КАНАТОВ НА ДОЛГОВЕЧНОСТЬ	24
8. РАСЧЕТ КЛИНОВОГО РЕМНЯ НА ДОЛГОВЕЧНОСТЬ	27
ПРИЛОЖЕНИЕ 1	
Справочные материалы	28
ПРИЛОЖЕНИЕ 2	
Расчетные таблицы	63
1. Расчет цилиндрических зубчатых передач на долговечность	63
2. Расчет конических зубчатых передач на долговечность	75
3. Расчет вала на долговечность	86
4. Расчет подшипников на долговечность	93

5. Определение вероятности обеспечения заданного ресурса цепной передачи по критерию усталостной прочности пластин	96
6. Определение вероятности заданного ресурса цилиндрической винтовой пружины сжатия из прутка круглого сечения	98
7. Расчет канатов на долговечность	100

ПРИЛОЖЕНИЕ 3

Примеры расчетов	103
------------------------	-----

Ответственный за выпуск *В. Б. Бармина*

Техн. редактор *Т. В. Леонтьева*

Подписано в печать 01.10.85	Л-48702	Формат 60×90 ¹ / ₁₆
Печать плоская	Усл. печ. л. 8,25	Уч.-изд. л. 6,01
Тираж 500 экз.	Изд. № 472-85	Заказ 1483

ЦНИИТЭстроймаш, 121019, Москва, ул. Маркса—Энгельса, 7/10

Отдел опытного полиграфического производства
111141, Москва, 2-й проезд Перова поля, 5